

สำนักหอสมุดกลาง พระจอมเกล้าลาดกระบัง

อินเวอร์เตอร์

INVERTER



เลขหม.....
เลขทะเบียน..... 34028
วัน, เดือน, ปี..... 1 ต.ค. 2542

ปริญญานิพนธ์ฉบับนี้เป็นส่วนหนึ่งของการศึกษาตามหลักสูตรปริญญาวิศวกรรมศาสตรบัณฑิต

สาขาวิชา อิเล็กทรอนิกส์

สถาบันเทคโนโลยีพระจอมเกล้าเจ้าคุณทหารลาดกระบัง

ปีการศึกษา 2541

เอกสารนี้เป็นเอกสารที่สงวนไว้สำหรับการใช้งานเพื่อการศึกษาเท่านั้น ไม่อนุญาตให้นำไปใช้ประโยชน์ด้านการค้า
ไม่ว่ากรณีใดๆ ทั้งสิ้น อีกทั้งห้ามมิให้ตัดแปลงเนื้อหาและต้องอ้างอิงถึงเจ้าของเอกสารทุกครั้งที่มีการนำไปใช้

อินเวอร์เตอร์
INVERTER

โดย

นาย พรชัย โป๊ะบุญมา

นาย วรเทพ นาคยิ้ม

นาย วิรัตน์ โพธิ์ศรี

อาจารย์ที่ปรึกษา

ผศ. สมศักดิ์ เชียร์ศิริกุล

ปริญญาานิพนธ์สำหรับปริญญาวิศวกรรมศาสตรบัณฑิต

สาขาวิชา อิเล็กทรอนิกส์

คณะวิศวกรรมศาสตร์

สถาบันเทคโนโลยีพระจอมเกล้าคุณทหารลาดกระบัง

ปีการศึกษา 2541

เอกสารนี้เป็นเอกสารที่สงวนไว้สำหรับการใช้งานเพื่อการศึกษาเท่านั้น ไม่อนุญาตให้นำไปใช้ประโยชน์ด้านการค้า
ไม่ว่ากรณีใดๆ ทั้งสิ้น อีกทั้งห้ามมิให้ตัดแปลงเนื้อหาและต้องอ้างอิงถึงเจ้าของเอกสารทุกครั้งที่มีการนำไปใช้

ปริญญาานิพนธ์ ปีการศึกษา 2541

ภาควิชาอิเล็กทรอนิกส์

คณะวิศวกรรมศาสตร์ สถาบันเทคโนโลยีพระจอมเกล้าเจ้าคุณทหารลาดกระบัง

เรื่อง อินเวอร์เตอร์

INVERTER

จัดทำโดย

1. นายพรชัย โป๊ะบุญมา รหัสประจำตัว 39013199
2. นายวรเทพ นาคขี้ม รหัสประจำตัว 39013203
3. นายวิรัตน์ โพธิ์ศรี รหัสประจำตัว 39013208

ปริญญาานิพนธ์ฉบับนี้ได้ผ่านการตรวจสอบโดยอาจารย์ที่ปรึกษาแล้ว

ลงชื่อ อาจารย์ที่ปรึกษา
(ผศ. สมศักดิ์ เจริญศรีกุล)

วันที่ 19 มีนาคม พ.ศ. 2542

เอกสารนี้เป็นเอกสารที่สงวนไว้สำหรับการใช้งานเพื่อการศึกษาเท่านั้น ไม่อนุญาตให้นำไปใช้ประโยชน์ด้านการค้า
ไม่ว่ากรณีใดๆ ทั้งสิ้น อีกทั้งห้ามมิให้ตัดแปลงเนื้อหาและต้องอ้างอิงถึงเจ้าของเอกสารทุกครั้งที่มีการนำไปใช้

กิตติกรรมประกาศ

ปริญญานิพนธ์ฉบับนี้ ที่สำเร็จลุล่วงได้ด้วยดีนั้น เนื่องมาจากความช่วยเหลือในด้านต่างๆ ของหลายๆ ฝ่ายด้วยกัน โดยเฉพาะอย่างยิ่งอาจารย์ที่ปรึกษา รวมทั้งอาจารย์ประจำภาควิชาอิเล็กทรอนิกส์ทุกท่าน ที่ได้กรุณาให้คำปรึกษาและข้อเสนอแนะ

ผู้ที่อยู่เบื้องหลังความสำเร็จของโครงการนี้ก็คือ คุณพ่อ, คุณแม่ ที่ได้ให้กำเนิดและอบรมเลี้ยงดู คอยสนับสนุนรวมทั้งให้กำลังใจ ขอขอบคุณเพื่อนๆ ที่ได้คำแนะนำจนโครงการสำเร็จตามวัตถุประสงค์ที่ได้ตั้งไว้ จึงขอขอบคุณมา ณ โอกาสนี้



เอกสารนี้เป็นเอกสารที่สงวนไว้สำหรับการใช้งานเพื่อการศึกษาเท่านั้น ไม่อนุญาตให้นำไปใช้ประโยชน์ด้านการค้า
ไม่ว่ากรณีใดๆ ทั้งสิ้น อีกทั้งห้ามมิให้ตัดแปลงเนื้อหาและต้องอ้างอิงถึงเจ้าของเอกสารทุกครั้งที่มีการนำไปใช้

อินเวอร์เตอร์

นายพรชัย โป๊ะบุญมา

นายวรเทพ นาคยิ้ม

นายวิรัตน์ โพธิ์ศรี

ผศ.สมศักดิ์ เชียร์ศิริกุล (อาจารย์ที่ปรึกษา)

ปีการศึกษา 2541

บทคัดย่อ

ปริญญาณิพนธ์ฉบับนี้จะกล่าวถึงการทดสอบและทดลองสร้างสัญญาณควบคุมการสวิทซ์
 ของมอสเฟตที่จะนำไปใช้เป็นส่วนหนึ่งของวงจรอินเวอร์เตอร์ ซึ่งในการสร้างสัญญาณควบคุมเพื่อใช้
 ในการสวิทซ์นั้นเราสร้างสัญญาณควบคุมการสวิทซ์มาจากการใช้เทคนิคของพัลส์วิดท์มอดูเลชั่นซึ่ง
 สร้างมาจากวงจรการเปรียบเทียบสัญญาณขาขึ้นและสัญญาณสามเหลี่ยม และสัญญาณควบคุมที่ได้จะ
 นำไปควบคุมการสวิทซ์ของมอสเฟตเบอร์ IRF 840 ซึ่งจะต่อกันแบบฟูลบริดจ์ทางภาคเพาเวอร์สเตท
 ส่วนสัญญาณควบคุมการสวิทซ์ของมอสเฟตเบอร์ IRFP 250 ในส่วนของวงจรฮาร์ฟบริดจ์นั้น จะ
 นำสัญญาณควบคุมมาจากขา 8 และขา 11 ของ TL494 ในส่วนของสัญญาณควบคุมการสวิทซ์
 ของวงจรฟูลบริดจ์ จะเป็นวงจรที่สร้างสัญญาณพัลส์ที่มีความกว้างต่าง ๆ กัน และเมื่อเรานำสัญญาณนี้
 ไปสู่ค่านวจรกรองความถี่ก็จะได้รับคลื่นขาขึ้นออกมา

INVERTER

Pornchai Pobunma

Waratap Narkyim

Wirat Phosri

Ass.Prof .Somsak Cheersirikun (Advisor)

Academic year 1998

Abstract

This project is present to build the control signal MOSFET of output state for using in an inverter circuit. We use the control signal come from the pulse width modulation circuit to switch the full bridge power MOSFET. This control signal is generated from the comparator circuit and IC TL 494. TL 494 is also used to control MOSFET in half bridge circuit. The output from the Half bridge circuit is the pulse with variable width. This pulse can be use control to sinusoidal wave by low pass filter.

สารบัญ

	หน้า
กิตติกรรมประกาศ	
บทคัดย่อ	I
Abstract	II
สารบัญ	III
บทที่ 1 บทนำ	1
1.1 ความสำคัญ	1
1.1.1 วัตถุประสงค์การทำโครงการ	1
1.1.2 ขอบเขตโครงการ	1
บทที่ 2 อินเวอร์เตอร์	2
2.1 ควบคุมระดับแรงดันไฟฟ้ามี 3 วิธีคือ	2
2.2 ชนิดของอินเวอร์เตอร์ ที่ใช้ควบคุมแรงดันไฟฟ้าแบบปรับค่าแรงดันไฟฟ้าภายในอินเวอร์เตอร์	3
2.3 วงจรอินเวอร์เตอร์	3
2.4 ความรู้พื้นฐานเกี่ยวกับพัลส์วัดคุมอดูลชัน	5
2.5 การสร้างรูปคลื่นแบบเนเทอร์อดแซมปลิ่ง	7
2.6 การสร้างรูปคลื่นแบบเรกูลาร์แซมปลิ่ง	8
บทที่ 3 การออกแบบวงจรอินเวอร์เตอร์	10
3.1 วงจรฮาร์ฟบริดจ์ (Half Bridge Circuit)	10
3.2 คุณสมบัติของเพาเวอร์มอสเฟต	12
บทที่ 4 โครงสร้างของอินเวอร์เตอร์ที่ทดลอง	13
4.1 การออกแบบวงจรสร้างสัญญาณ PWM สำหรับวงจรฮาร์ฟบริดจ์	14
4.2 วงจรสร้างสัญญาณฟันเลื่อย (Sawtooth) และสัญญาณพัลส์ (Pulse)	15
4.3 การสร้าง Sine Wave 50Hz	16
4.4 วงจร COMPARATOR	17

4.5	วงจรขั้วมอสเฟต	20
4.6	วงจรกำลัง	21
4.7	การออกแบบหม้อแปลงความถี่สูง	22
4.8	ส่วนกรองสัญญาณ (Filter)	26
4.9	วงจรป้องกัน	31
4.10	วงจรกรองความถี่	32
4.11	การออกแบบฟิลเตอร์	36
4.12	แบตเตอรี่	39
4.13	ทฤษฎีหม้อแปลง	41
4.14	การเลือกลักษณะแกนและชนิดวัสดุ	43
4.15	ขั้นตอนการออกแบบ	43
4.16	ตารางที่ 1 แกนเฟอร์ไรต์ บริษัทต่างๆ	44
4.17	Power State	45
4.18	วงจรขับเกท	46
บทที่ 5	การทดลองและผลการทดลอง	54
บทที่ 6	สรุปและวิจารณ์	67
ภาคผนวก		
เอกสารอ้างอิง		

บทที่ 1

บทนำ

1.1 ความสำคัญ

การใช้งานของวงจรอิเล็กทรอนิกส์ จำเป็นที่จะต้องมีแหล่งจ่ายไฟ ให้กับตัวมันเอง ซึ่งแหล่งจ่ายไฟดังกล่าว สามารถที่จะแยกได้หลายชนิด เช่น แหล่งจ่ายไฟกระแสตรง ที่ถูกแปลงมาจากไฟกระแสสลับ (DC Power Supply) และ แหล่งจ่ายไฟกระแสสลับที่ถูกแปลงมาจากไฟกระแสตรง (INVERTER) ฯลฯ แต่ในที่นี้เราจะกล่าวถึงเฉพาะ แหล่งจ่ายไฟกระแสสลับ ที่ถูกแปลงมาจากไฟกระแสตรง (INVERTER) เท่านั้น ซึ่งในการสร้างวงจร INVERTER ที่ความถี่ สูงๆ เราจะใช้เพาเวอร์มอสเฟต (Power MOSFET) ซึ่งจะมีพิกัดแรงดันที่ไม่สูงมากนัก ใช้งานแทนทรานซิสเตอร์ (TRANSISTER) และเอสซีอาร์ (SCR) เนื่องจากการใช้เพาเวอร์มอสเฟต มีข้อดีกว่าเอสซีอาร์ (SCR) คือไม่ต้องใช้อุปกรณ์การคอมมิวเทชัน (Commutation) เพาเวอร์ มอสเฟต (Power MOSFET) หยุคนำกระแสเหมือนเอสซีอาร์(SCR) และ เพาเวอร์มอสเฟต (Power MOSFET) สามารถควบคุมการทำงานในการเป็นเพาเวอร์สวิตช์ปิดและเปิด (Power Switch on,off) ได้ด้วยแรงดันที่ป้อนให้กับขาเกต (Gate) ให้ควบคุมการทำงานในการเป็น เพาเวอร์สวิตช์ปิดและเปิด (Power Switch on ,off) ในภาคเพาเวอร์สเตท

1.1.1 วัตถุประสงค์ของการทำโครงการ

จากการเปรียบเทียบคุณสมบัติของเพาเวอร์มอสเฟต (Power MOSFET) กับอุปกรณ์ ที่ใช้กับการสวิตซ์ (Switching) อื่น ๆ เช่น เพาเวอร์ทรานซิสเตอร์ (Power Transistor) หรือเอสซีอาร์ (SCR) จะพบว่าเพาเวอร์มอสเฟตมีความเหมาะสมที่จะนำมาใช้เป็นเพาเวอร์สวิตซ์ ให้กับวงจรของโครงการนี้ ซึ่งเราจะต้องสร้างสัญญาณพัลส์มาควบคุมการทำงานของเพาเวอร์มอสเฟตที่ค่อแบบฟลูตบริดจ์ ทางภาคเพาเวอร์สเตทส่วนเพาเวอร์มอสเฟตที่ค่อกันแบบฮาร์ฟบริดจ์จะนำสัญญาณควบคุมมาจาก IC เบอร์ TL494

1.1.2 ขอบเขตของโครงการ

ในโครงการนี้จะเป็นการสร้างอินเวอร์เตอร์ (INVERTOR) ที่มีพิกัดในการจ่ายโหลด 1KW ที่แรงดันอินพุต 48 VOLT และแรงดันเอาท์พุตมีค่า 220 VOLT(AC) มีความถี่ 50 Hz

บทที่ 2

อินเวอร์เตอร์

2.1 ควบคุมระดับแรงดันไฟฟ้ามี 3 วิธีคือ

2.1.1 ควบคุมระดับแรงดันไฟฟ้าที่จ่ายให้กับวงจรอินเวอร์เตอร์

สามารถทำได้โดยใช้วงจรดัดไฟ (Rectifier) ที่สามารถควบคุมระดับแรงดันหรือใช้วงจรช็อปเปอร์ (Chopper)

2.1.2 ควบคุมระดับแรงดันไฟฟ้าภายในวงจรอินเวอร์เตอร์ ใช้พัลส์มอดูเลชัน

(Pulse Modulation)

หลายแบบเช่น พัลส์วิดค์มอดูเลชัน (Pulse Width Modulation) จึงเกิดพัลส์มอดูเลชัน (Single Modulation) ทำให้เอาท์พุทมีรูปร่างเปลี่ยนไป

2.1.3 ควบคุมระดับแรงดันเอาท์พุทโดยใช้ (Stepping Transformer)

วิธีการควบคุมแบบนี้ให้การตอบสนองช้าไม่ค่อยนิยม

การควบคุมระดับแรงดันไฟฟ้าภายในวงจรอินเวอร์เตอร์ กับการควบคุมระดับแรงดันไฟฟ้ากระแสตรงที่จ่ายให้อินเวอร์เตอร์ ทั้ง 2 วิธีนิยมใช้กันมากโดยมีลักษณะข้อดีและข้อเสียดังนี้

ควบคุมระดับแรงดันไฟฟ้าภายในวงจรอินเวอร์เตอร์	การควบคุมแรงดันไฟตรงที่จ่ายให้วงจรอินเวอร์เตอร์
1. การตอบสนองต่อความเร็ว	1.ตอบสนองช้ากว่าเพราะ Filtering ในแหล่งจ่าย
2. เหมาะกับโหลดสูงๆ	2. ไม่เหมาะกับโหลดสูงๆ
3. ฮาร์โมนิกส์เอาท์พุทเปลี่ยนแปลง	3. ฮาร์โมนิกส์เอาท์พุทคงที่
4. Filter อยากรกว่า	4. Filter ง่าย

ซึ่งโครงการนี้ จะใช้ควบคุมแรงดันไฟฟ้าแบบปรับค่าแรงดันไฟฟ้า ภายในอินเวอร์เตอร์ซึ่งอินเวอร์เตอร์ที่ใช้นั้นมีหลายแบบโดยแต่ละแบบ จะมีข้อดีและข้อเสียต่างกันซึ่งขึ้นอยู่กับว่าจะโหลดชนิดใดต้องการสัญญาณแบบไหน

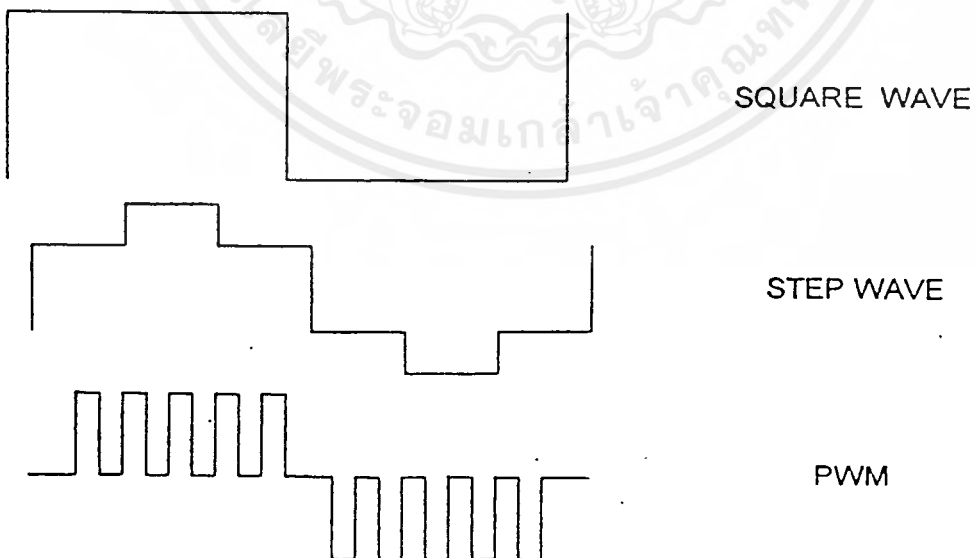
2.2 ชนิดของอินเวอร์เตอร์ ที่ใช้ควบคุมแรงดันไฟฟ้าแบบปรับค่าแรงดันไฟฟ้า ภายในอินเวอร์เตอร์

2.2.1 แบบพัลส์วิตด์มอดูเลชัน (Pulse width Modulation)

แบบนี้จะให้ไม่เหมือนแบบอื่น โดยลักษณะสัญญาณเอาท์พุท เกิดขึ้นจากการ มอดูเลทระหว่างคลื่นซายน์กับคลื่นสามเหลี่ยม ซึ่งผลที่ได้จะมีฮาร์โมนิกส์ลำดับที่ต่ำน้อยมาก อุปกรณ์กรองความถี่ที่ใช้ จึงมีขนาดเล็กแต่สัญญาณแบบนี้ มีความยุ่งยากในการสร้างรูปแบบ (Pattern) และแบบนี้มีความเหมาะสมเฉพาะอินเวอร์เตอร์ที่มีพิกัดกำลัง ไม่ใหญ่มากนัก

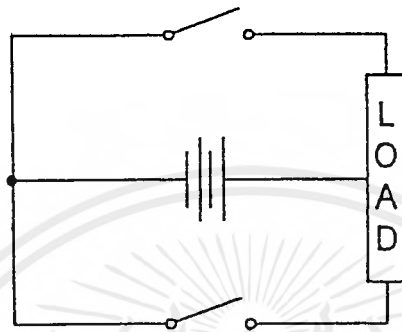
2.3 วงจรอินเวอร์เตอร์

วงจรอินเวอร์เตอร์นั้น เอาท์พุทที่ได้จากวงจร ยังไม่ได้เป็นคลื่นซายน์ ถ้าหากยังไม่ได้มีการกรองความถี่รูปคลื่นที่ได้จากวงจรอินเวอร์เตอร์จะมีลักษณะที่ประกอบไปด้วย ผลรวมระหว่างความถี่ความถี่หลักมูล กับ องค์ประกอบฮาร์โมนิกส์ ที่มีความถี่เป็นจำนวนเท่าของความถี่หลักมูลวงจรอินเวอร์เตอร์ เมื่อพิจารณาตามลักษณะ ของรูปคลื่นเอาท์พุท จะมีอยู่ด้วยกันหลายแบบดังแสดงในรูป

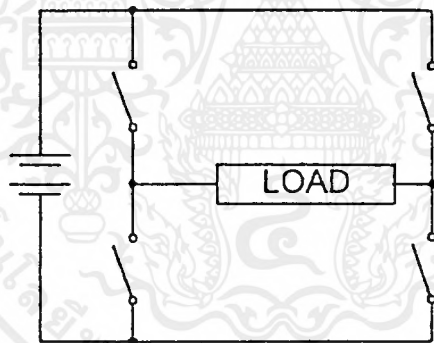


รูปที่ 2.1 แสดงรูปคลื่นเอาท์พุทแบบต่าง ๆ ของวงจรอินเวอร์เตอร์

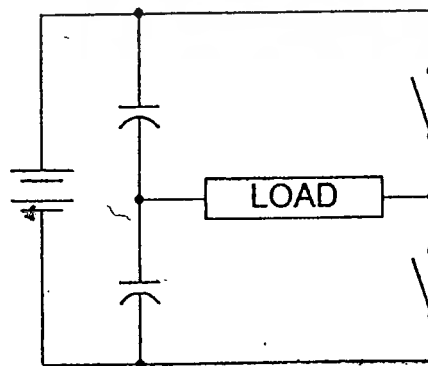
วงจรสวิทช์ อินเวอร์เตอร์ที่นิยมใช้กันมีหลายแบบ แต่ละแบบจะมีคุณสมบัติที่แตกต่างกันไป รวมทั้งคุณสมบัติของอุปกรณ์ในแต่ละวงจร และขนาดอุปกรณ์ก็จะแตกต่างกันไปโดยวงจรอินเวอร์เตอร์ที่นิยมใช้ได้แก่ วงจรพุทพุต (Push pull) วงจรฮาร์ฟบริดจ์ (Half Bridge) วงจรฟูลบริดจ์(Full Bridge)



รูปที่ 2.2 วงจรอินเวอร์เตอร์ แบบพุทพุต



รูปที่ 2.3 วงจรอินเวอร์เตอร์ แบบฮาร์ฟบริดจ์

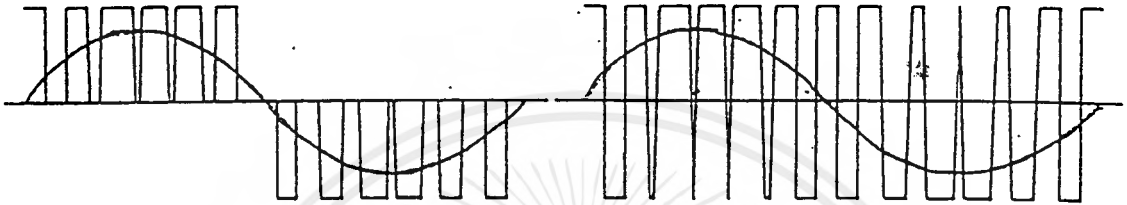


รูปที่ 2.4 วงจรอินเวอร์เตอร์ แบบฟูลบริดจ์

เอกสารนี้เป็นเอกสารที่สงวนไว้สำหรับการใช้งานเพื่อการศึกษาเท่านั้น ไม่อนุญาตให้นำไปใช้ประโยชน์ด้านการค้า ไม่ว่าจะกรณีใดๆ ทั้งสิ้น อีกทั้งห้ามมิให้คัดแปลงเนื้อหาและต้องอ้างอิงถึงเจ้าของเอกสารทุกครั้งที่มีการนำไปใช้

2.4 ความรู้พื้นฐานเกี่ยวกับพัลส์วิดโมดูเลชัน

การมอดูเลทความกว้างของพัลส์ (Pulse Width Modulation) เป็นเทคนิคการแบ่งรูปคลื่นใน 1 คาบ ออกเป็นพัลส์ย่อยหลาย ๆ พัลส์ โดยที่แต่ละพัลส์อาจมีความกว้างของพัลส์ไม่เท่ากัน ในหัวข้อนี้ จะกล่าวถึงรูปคลื่น PWM ชนิดต่าง ๆ รวมทั้ง เทคนิคในการสร้างรูปคลื่น PWM ในแนวความคิดต่าง ๆ



รูป 2.5 แสดงรูปคลื่น PWM (ก). แบบ 2 ระดับ (ข). แบบ 3 ระดับ

2.4.1 รูปคลื่น PWM แบบ 2 ระดับ และ 3 ระดับ

รูปคลื่น PWM มีอยู่ด้วยกันหลายชนิด แต่ชนิดที่นำมาใช้มากที่สุดและเป็นชนิดพื้นฐานที่สุดได้แก่ แบบ 2 ระดับ และ แบบ 3 ระดับ

- PWM 2 LEVEL เป็นรูปคลื่นที่มีการสวิตช์ ระหว่างระดับอ้างอิงสองระดับ คือ E, -E

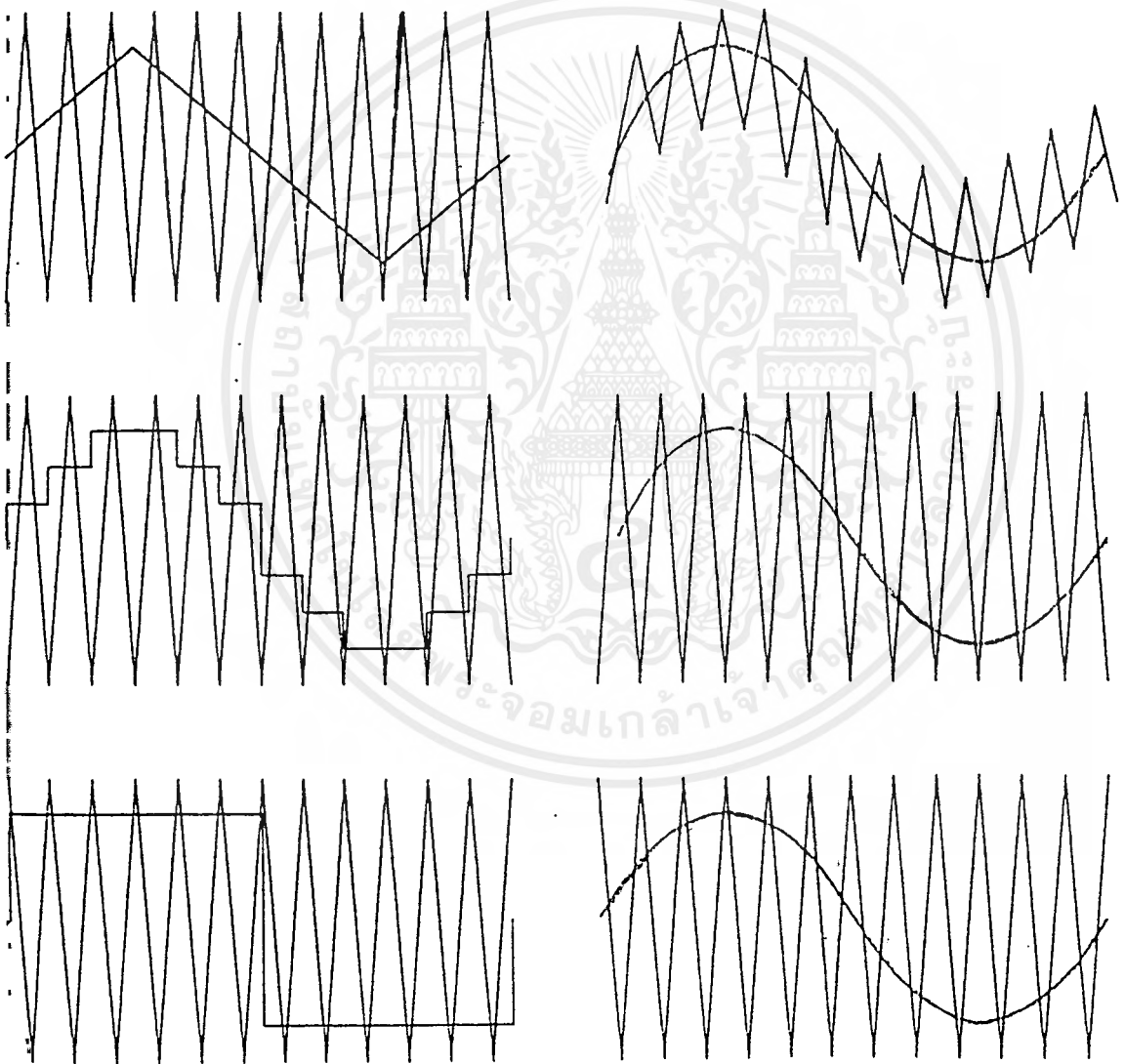
- PWM 3 LEVEL เป็นรูปคลื่นที่มีการสวิตช์ ระหว่างระดับอ้างอิงสามระดับคือ E, Q, -E ในรูป 2.5 ข้างต้น เป็นการแสดงรูปคลื่น PWM เปรียบเทียบ กับคลื่นความถี่หลักมูล (Fundamental) ของรูปคลื่น PWM นั้น

2.4.2 การสร้างรูปคลื่น PWM

รูปคลื่น PWM สามารถสร้างขึ้นมาได้โดยวิธีต่าง ๆ ได้แก่

- การใช้ไมโครโปรเซสเซอร์ ซึ่งสามารถกระทำได้โดยการ โปรแกรมให้ไมโครโปรเซสเซอร์ส่งสัญญาณ ซึ่งสอดคล้องกับมุมสวิตช์ ซึ่งผ่านทางพอร์ทเอาต์พุตซึ่งวิธีนี้จะต้องมีการคำนวณหรือกำหนดค่ามุมสวิตช์มุมต่างๆ ออกมาเสียก่อน แล้วจึงเก็บข้อมูลไว้ในหน่วยความจำไมโครโปรเซสเซอร์ จะอาศัยข้อมูลในหน่วยความจำนั้น เพื่อสร้างรูปแบบ (pattern) สัญญาณ PWM ขึ้นมาแล้วจึงส่งผ่านพอร์ทเอาต์พุต

- โดยการใช้วงจรถอเถิดทรานซิสต์ การสร้าง PWM จากวงจรถอเถิดทรานซิสต์นี้ วิธีที่สะดวกที่สุดคือใช้วงจรถอเถิดเปรียบเทียบ (comparator) เช่น ไอซีเบอร์ LM339, LM311 เป็นต้น ซึ่งสามารถทำได้โดยป้อนสัญญาณอินพุต 2 สัญญาณ เข้าสู่วงจรถอเถิดเปรียบเทียบ สัญญาณอ้างอิง(Reference Signal) กับสัญญาณแครี่เรียร์ (Carrier Signal) สัญญาณอ้างอิงจะมีความถี่เท่ากับรูปคลื่น PWM ส่วนสัญญาณแครี่เรียร์จะมีความถี่สูงกว่าในโครงการนี้ ใช้วิธีเปรียบเทียบโดย วงจรถอเถิดทรานซิสต์ในการสร้างสัญญาณ วิธีนี้มีมุมสวิทช์ของรูปคลื่น PWM ก็คือจุดตัดของสัญญาณทั้งสอง การสร้างโดยอาศัยวงจรถอเถิดเปรียบเทียบสามารถเลือกสัญญาณที่ใช้เปรียบเทียบได้หลายลักษณะ ดังรูป



รูปที่ 2.6 ตัวอย่างการสร้างรูปคลื่น PWM โดยการใช้วงจรถอเถิดเปรียบเทียบ

2.4.3 การสร้างรูปคลื่น PWM แบบเนเทอร์อลและแบบเรกูลาร์

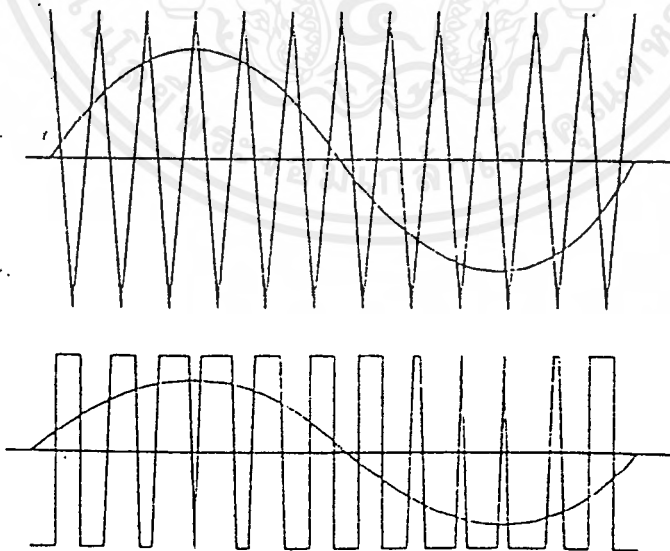
การสร้างรูปคลื่น PWM โดยการใช่วงจรเปรียบเทียบ จะมีองค์ประกอบ 2 ประการจะเป็นตัวกำหนดลักษณะรูปคลื่น PWM ได้แก่

- อัตราส่วนความถี่ของสัญญาณแคร์เรียร์ ต่อสัญญาณอ้างอิง (Frequency Ratio)
- อัตราส่วนแอมพลิจูด ของสัญญาณอ้างอิงต่อสัญญาณแคร์เรียร์ หรืออัตราส่วนการมอดูเลชัน (Modulation Ratio, K)

จากทฤษฎีและข้อมูลเก่าที่มีการคำนวณและศึกษามาได้นำค่า K , N ไปวิเคราะห์องค์ประกอบฮาร์โมนิกส์ จะได้ว่า โดยปกติแล้วค่าอัตราส่วนการมอดูเลชัน จะใช้ค่าอยู่ในช่วงไม่เกิน 1 ค่านี้จะเป็นตัวกำหนดความกว้างของพัลส์แต่ละพัลส์ โดยความกว้างของพัลส์จะมากขึ้นถ้าค่า K มีค่ามากขึ้น ส่วนค่าอัตราส่วนความถี่จะเป็นตัวกำหนดจำนวนพัลส์ ให้มีจำนวนเท่ากับค่า N และจำนวนมุมสวิทช์ซึ่งจะมีจำนวน $2N$ มุม ทั้งนี้ต้องอยู่ในกรณีค่า N ไม่เกิน 1

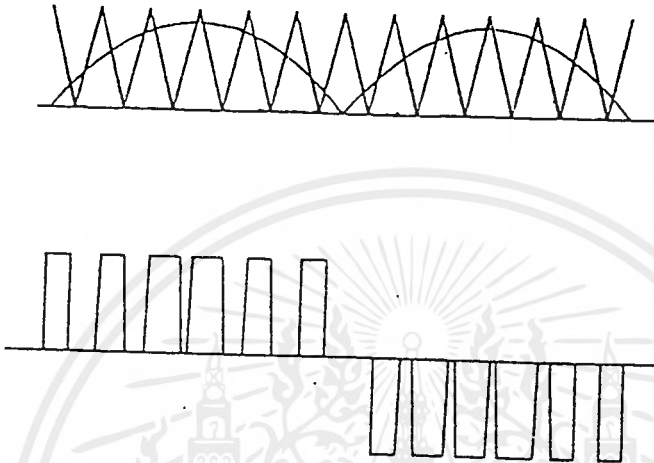
2.5 การสร้างรูปคลื่นแบบเนเทอร์อลแชนเปลิ่ง

การสร้างแบบนี้จะใช้คลื่นซายน์เป็นสัญญาณอ้างอิงและคลื่นสามเหลี่ยมเป็นสัญญาณแคร์เรียร์ โดยสามารถสร้างได้ทั้งแบบ 2 ระดับ และแบบ 3 ระดับ การสร้างแบบ 2 ระดับจะใช้คลื่นซายน์และคลื่นสามเหลี่ยมแบบเต็มรูปคลื่นช่วงที่ซายน์มากกว่าสามเหลี่ยมจะเป็นบวกและช่วงที่คลื่นซายน์มีขนาดน้อยกว่าจะเป็นลบ วิธีนี้ใช้ในส่วนวงจรบริดจ์อินเวอร์เตอร์ของโครงการที่ทดลอง



รูป 2.7 การสร้างรูปคลื่นแบบเนเทอร์อลแชนเปลิ่ง ชนิด 2 ระดับ

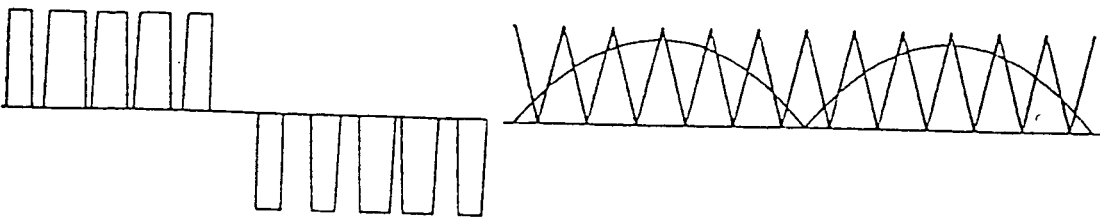
สำหรับการเปรียบเทียบ 3 ระดับนั้นจะใช้คลื่นชายน์ที่เรคติไฟยขึ้น ไปเป็นคลื่นฟูลเวฟ เปรียบเทียบกับคลื่นสามเหลี่ยม ที่ถูกยกระดับขึ้นไปอยู่เหนือเส้นกราวด์ (Ground) ช่วงที่ คลื่นฟูลเวฟมีขนาดมากกว่า ในครึ่งคาบแรก การสวิทช์จะมีค่าเป็นศูนย์ ดังแสดงในรูป 2.8



รูป 2.8 การสร้างรูปคลื่นแบบเนเทอร์อลแชนปถึง ชนิด 3 ระดับ

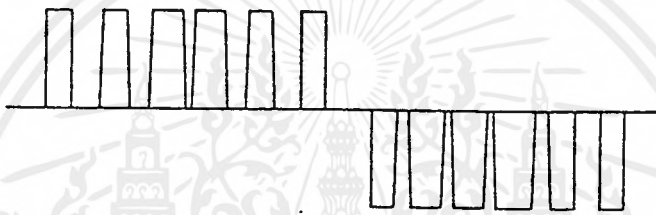
2.6 การสร้างรูปคลื่นแบบเรกูลาร์แชนปถึง

การสร้างแบบนี้ใช้หลักการแบบเดียวกันกับแบบเนเทอร์อล โดยดัดแปลงจากแบบ เนเทอร์อลเนื่องจากการเปรียบเทียบแบบเนเทอร์อลนั้นระหว่างเปรียบเทียบแต่ละครึ่งส่วนของ ชายน์จะไม่



รูป 2.9 การสร้างรูปคลื่นแบบเรกูลาร์แชนปถึง ชนิด 2 ระดับ

เป็นเชิงเส้นการเปรียบเทียบแบบเรกูลาร์ จะนำคลื่นซายน์ผ่านวงจรมแซมปลิง และโฮลด์ (Sample and Hold) ที่มีความถี่การแซมปลิงเท่ากับความถี่ของคลื่นตามเหลี่ยม ซึ่งจะเห็นได้ว่า ระหว่างการเปรียบเทียบแต่ละช่วงจะเป็นเชิงเส้น การเปรียบเทียบแบบเรกูลาร์สามารถทำได้ แบบ 2 ระดับเช่นเดียวกัน



รูป 2.10 การสร้างรูปคลื่นแบบเรกูลาร์แซมปลิง ชนิด 3 ระดับ

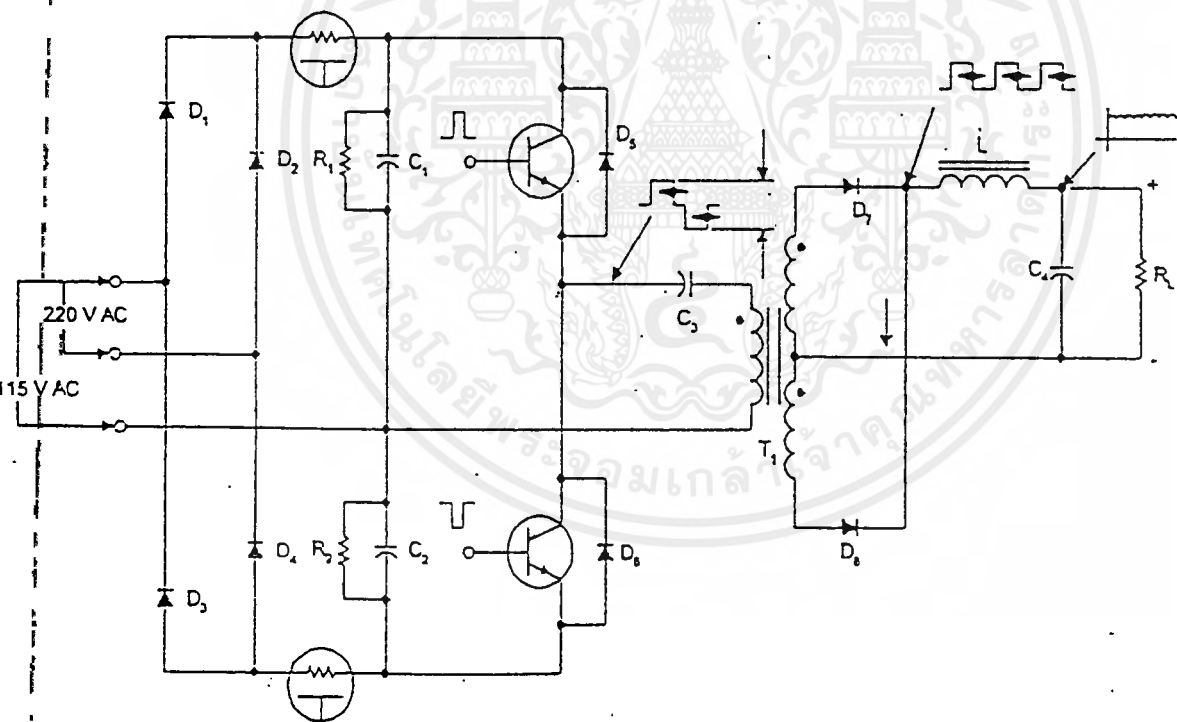
ในโครงการนี้ไม่ได้ใช้วิธีการสร้างคลื่น PWM แต่เลือกใช้วิธีเนเทอร์แซมปลิง แบบ 2 ระดับ

บทที่ 3

การออกแบบวงจรอินเวอร์เตอร์

3.1 วงจรฮาร์ฟบริดจ์ (Half Bridge Circuit)

วงจรฮาร์ฟบริดจ์ จะเป็นการสลับกันทำงานที่ละครึ่งไซเคิลของอุปกรณ์ สวิตช์โดยที่ หม้อแปลงไม่มีการเทป สักคาที่คร่อมอุปกรณ์เหล่านั้นจะมีค่าประมาณ ครึ่งหนึ่งของสักคา อินพุตการที่สวิตช์ตัวที่ 1 ทำงาน จะทำให้กระแสไหลผ่านหม้อแปลงในทิศทางหนึ่ง เมื่อ อุปกรณ์อีกตัวหนึ่งทำงานกระแสก็จะไหลผ่านหม้อแปลงในทิศตรงข้ามกับตอนแรก ทำให้เกิด ไฟสลับไปมาเป็นไซเคิลดังในรูป 3.1



รูปที่ 3.1 วงจรพื้นฐานฮาร์ฟบริดจ์

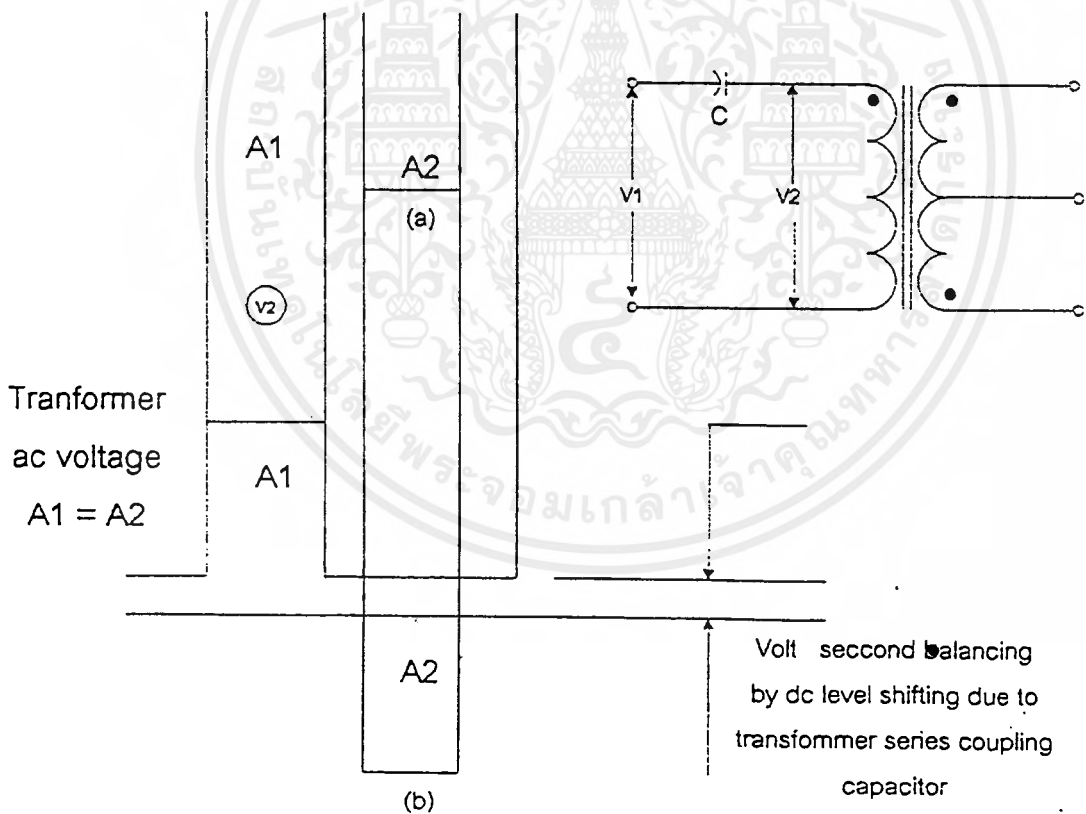
เอกสารนี้เป็นเอกสารที่สงวนไว้สำหรับการใช้งานเพื่อการศึกษาเท่านั้น ไม่อนุญาตให้นำไปใช้ประโยชน์ด้านการค้า ไม่ว่ากรณีใดๆ ทั้งสิ้น อีกทั้งห้ามมิให้ดัดแปลงเนื้อหาและต้องอ้างอิงถึงเจ้าของเอกสารทุกครั้งที่มีการนำไปใช้

3.1.1 ข้อดีของวงจรฮาร์ฟบริดจ์

นอกจากสามารถลดขนาดของหม้อแปลง เนื่องจากศักดาตกลงเหลือเพียงครึ่งหนึ่งของของสัปดาห์ อินพุตแล้ว วงจรฮาร์ฟบริดจ์ยังสามารถ ทำให้ศักดาของเอาต์พุตเกิดความ สมดุลย์กันได้อีกแต่สำหรับกระแสที่ไหลผ่านอุปกรณ์สวิตช์จะสูงขึ้นกว่าปกติ โดยถ้าสมมติว่าวงจรมีประสิทธิภาพ 80% และมีค่าควิตี้ไซเคิล (Duty Cycle) = 0.8 จะได้กระแสที่ขณะทำงาน

$$I_C = 3P_o/V_i$$

ในกรณีที่เกิดศักดาที่ไม่สมดุลกันแล้ว นำไปผ่านเข้าหม้อแปลง จะทำให้เกิด Flux walking ซึ่งจะมีผลต่อไปทำให้แกนหม้อแปลงเกิดอิ่มตัว และกระแสจำนวนมากมายจะเกิดขึ้น เช่นเดียวกับวงจรพุทพุท



รูปที่ 3.2 a) แสดงรูปคลื่นที่ไม่สมดุลย์ b) แสดงรูปคลื่นเมื่อใส่ C-Coupling เพื่อแก้ปัญหา

3.1.2 การแก้ไข

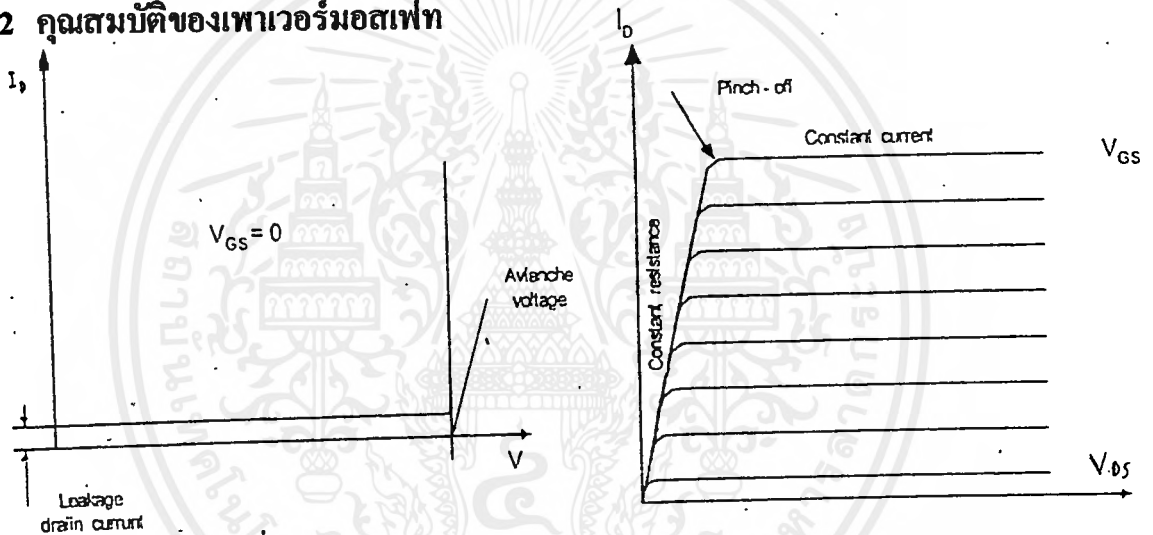
- เราสามารถแก้ไขการเกิดปัญหานี้ โดยการต่อ C-Coupling เข้าไปดังแสดงในรูป โดยต่ออนุกรมเข้าไปกับหม้อแปลงด้าน Primary ซึ่งจะยกระดับ DC ขึ้นมา

- อีกวิธีหนึ่งคือ การลดเวลา turn-on ของทรานซิสเตอร์โดยการใช้ BakerClamp Diode ในวงจรขั้วเบส

3.1.3 การออกแบบ C-Coupling

จากรูปการคำนวณจะเกี่ยวข้องกับ ค่าอินดักแตนซ์ในส่วนของวงจรรองทางด้าน Secondary

3.2 คุณสมบัติของเพาเวอร์มอสเฟต



รูปที่ 3.3 กราฟคุณสมบัติของ POWER MOSFET

เพาเวอร์มอสเฟต (POWER MOSFET) เป็นอุปกรณ์เพาเวอร์เซมิคอนดักเตอร์ ที่ขนาดกำลังต่ำ แต่ มีความสามารถในการสวิทซ์ที่ความถี่สูง ๆ ได้ดี นอกจากนี้ยังเป็นสารกึ่งตัวนำประเภท เมเจอร์ตีแคเรียร์ (Majority Carrier)

จากโครงสร้าง เกท กับ ซอร์ส จะถูกแยกออกจากกันโดยชั้นของ SI ระหว่าง เกทกับ ซอร์ส เปรียบเสมือนมีค่า C อยู่

เมื่อเราป้อนแรงดันที่เหมาะสมเข้าที่เกท จะทำให้ชั้นของซิลิกอนเกิดการเหนี่ยวนำแล้ว จะเหนี่ยวนำไปเป็นทอดๆ กระแสก็จะเริ่มไหล การที่เพาเวอร์มอสเฟตเป็นสารกึ่งตัวนำประเภท เมเจอร์ตีแคเรียร์ ปัญหาการ Storage Time จึงไม่เกิดขึ้น

การที่เกทของเพาเวอร์มอสเฟตถูกแยกจาก ซอร์ส โดยชั้นของซิลิกอนออกไซด์ จึงทำให้วงจรไครฟ์ไม่ขึ้นกับค่ากระแสไหลด มอสเฟตสามารถไครฟ์ด้วยแรงดัน ซึ่งแตกต่างจาก ไบโพลาร์ ที่ไครฟ์ด้วยกระแส ทำให้วงจรไครฟ์ของมอสเฟตไม่ยุ่งยากนัก



เอกสารนี้เป็นเอกสารที่สงวนไว้สำหรับการใช้งานเพื่อการศึกษาเท่านั้น ไม่อนุญาตให้นำไปใช้ประโยชน์ด้านการค้า
ไม่ว่ากรณีใดๆ ทั้งสิ้น อีกทั้งห้ามมิให้ดัดแปลงเนื้อหาและต้องอ้างอิงถึงเจ้าของเอกสารทุกครั้งที่มีการนำไปใช้

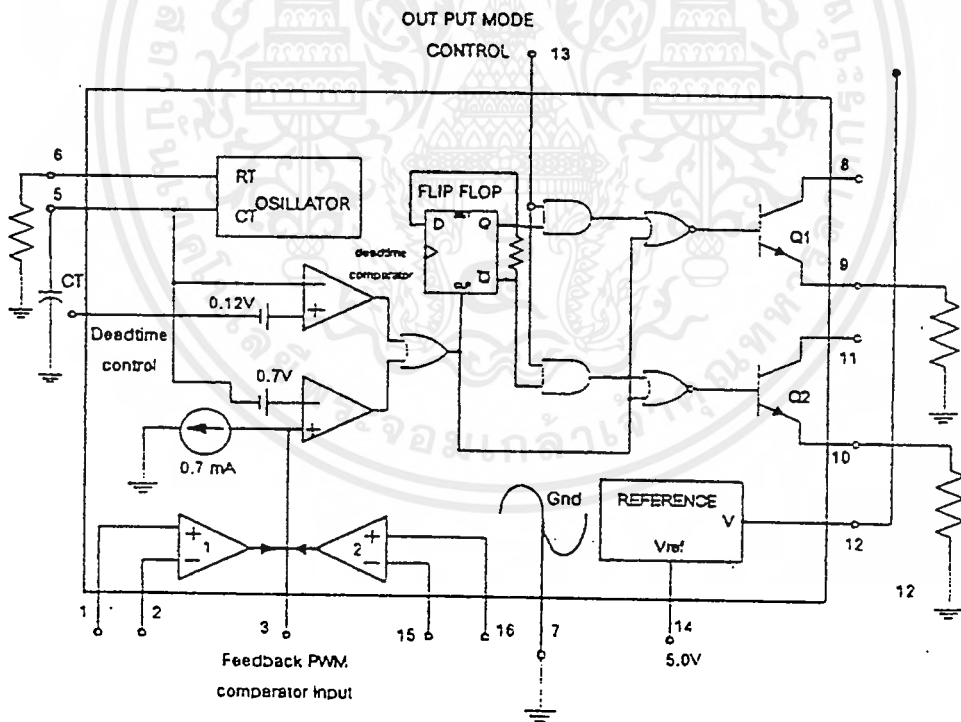
บทที่ 4

โครงสร้างของอินเวอร์เตอร์ที่ทดลอง

4.1 การออกแบบวงจรสร้างสัญญาณ PWM สำหรับวงจรฮาร์ฟบริดจ์

สำหรับส่วนนี้เลือกใช้ IC TL49 เป็นชิพสำเร็จรูป ในการสร้างสัญญาณ เพราะเป็น IC ที่สร้าง พีคดับลิเวียม โดยใช้หลักการเปรียบเทียบแรงดันเช่นเดียวกับหลักการทั่ว ๆ ไป และยังสามารถปรับความถี่ได้ โดยการปรับค่าความต้านทานและตัวเก็บประจุ สามารถปรับขนาดความกว้างของพัลส์ พร้อมกับมีการป้อนสัญญาณกลับมาเปรียบเทียบกับตัวเองได้ TL494 จึงสะดวกและง่ายต่อการใช้งาน

การเปรียบเทียบสัญญาณใน TL494 เป็นการเปรียบเทียบสัญญาณฟันเลื่อยกับสัญญาณ



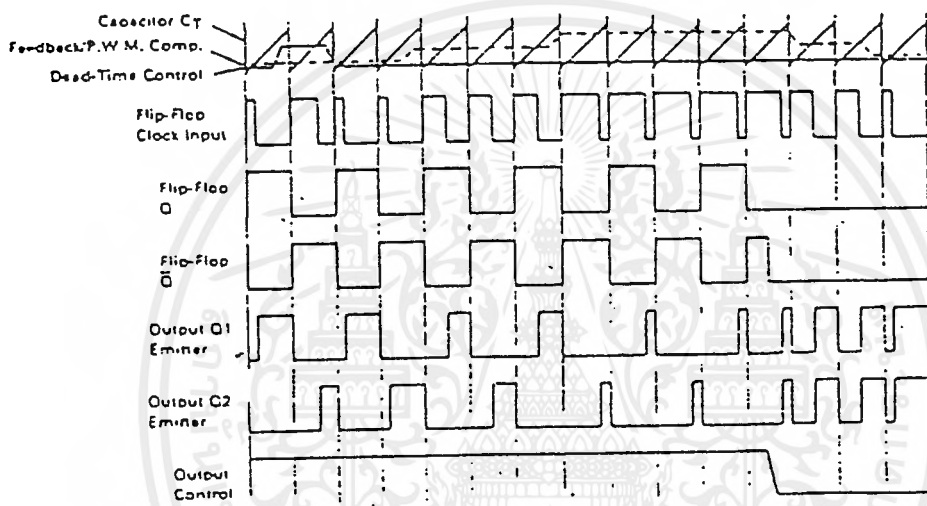
รูปที่ 4.1 แสดงวงจรภายในของ IC TL494

เอกสารนี้เป็นเอกสารที่สงวนไว้สำหรับการใช้งานเพื่อการศึกษาเท่านั้น ไม่อนุญาตให้นำไปใช้ประโยชน์ด้านการค้า ไม่ว่าจะกรณีใดๆ ทั้งสิ้น อีกทั้งห้ามมิให้ตัดแปลงเนื้อหาและต้องอ้างอิงถึงเจ้าของเอกสารทุกครั้งที่มีการนำไปใช้

แรงดันไฟตรง ที่ดับบลิวเอมที่ได้จึงเป็นสัญญาณที่มีเนื้อพัลส์เท่ากันทุก ๆ พัลส์ความถี่ของสัญญาณซึ่งเกิดจากออสซิลเลตในตัว TL494 คำนวณได้จากสูตร

$$f_{osc} = 1.1 / R_t C_t$$

โดยที่ความถี่ของสัญญาณ PWM จะเป็นครึ่งหนึ่งของความถี่สัญญาณที่เกิดจากการออสซิลเลตในตัวของ TL494



รูปที่ 4.2 แสดง Timing Diagram ของ TL494

4.2 วงจรสร้างสัญญาณฟันเลื่อย (Sawtooth) และสัญญาณพัลส์ (Pulse)

การสร้างสัญญาณฟันเลื่อยความถี่ 20 kHz ใช้ IC เบอร์ TL494 เป็นตัวผลิตผลสัญญาณฟันเลื่อย และสัญญาณพัลส์ Pulse ความถี่ 10 kHz ที่ขา 8 กับขา 11 เพื่อไป Drive Q1, Q2 ต่อไป

การกำหนดคาบเวลาการทำงาน ค่าเวลาการทำงานของเอาท์พุทพัลส์ กำหนดโดยค่าของ R และ C จากภายนอกที่ขา 6 และ ขา 5 ของไอซี

$$T = R_t C_t / 1.1$$

$$\begin{aligned} \text{เพราะฉะนั้น } f &= 1.1/R_t C_t \\ &= 20 \text{ kHz} \end{aligned}$$

จากการสร้างสัญญาณใช้ C_t ที่ขา 5 เท่ากับ 0.01 UF และที่ขา 6 ต่อความต้านทานปรับค่าได้ 50 K เพื่อผลิตสัญญาณฟันเลื่อย ความถี่ 20 KHZ และป้อนสัญญาณนี้เข้าวงจร Comparator อีกทีหนึ่ง โดยใช้ IC เบอร์ 741 เปรียบเทียบกับไฟ DC ก็จะได้ Pulse ความถี่ 20 KHZ ที่ขา 6 ของ IC เบอร์ 741

สำหรับ Pulse ความถี่ 50 HZ สร้างได้จาก วงจรหารความถี่ ซึ่งตัวหารจะต้องมีค่าเท่ากับ 20 KHZ/50 เท่ากับ 400 KHZ โดยใช้ตัวหาร 4 จำนวน 1 ตัว ซึ่งเราใช้ IC เบอร์ 14024 และสำหรับวงจรหาร 10 ใช้ IC เบอร์ 74LS90 จำนวน 2 ตัว ก็จะได้ Pulse 50Hz ที่จุด A แล้วส่งสัญญาณเข้าวงจรกำเนิด Sine Wave ความถี่ 50Hz

4.3 การสร้าง Sine Wave 50 Hz

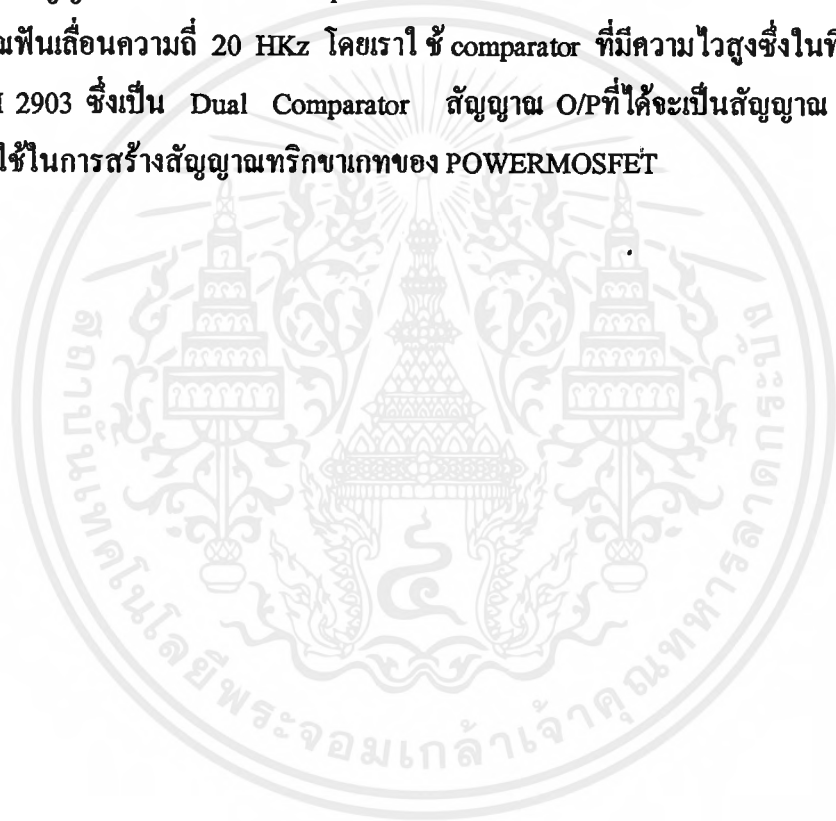
หลักการในการออกแบบนั้นเราต้องการทำการแปลงสัญญาณ Pulse ความถี่ 50Hz ให้เป็นสัญญาณ Sine Wave ความถี่ 50 Hz ซึ่งสัญญาณ PULSE นั้นเราจะทำการใช้ low หรือ band pass กรองให้เป็น sine wave โดยตรงนั้น ไม่สามารถทำได้ เนื่องจากสัญญาณ Pulse มี harmonic มากมาย หรือถ้าเราจะทำการออกแบบ โดยนำเอาสัญญาณ Pulse มาทำการ integrate 2 ครั้ง เพื่อให้ได้ sine wave นั้นก็ได้ แต่สัญญาณที่ได้ออกมานั้นจะเพี้ยนไม่เป็นสัญญาณ pure sine wave ดังนั้นเราจะต้องทำการแปลงสัญญาณ Pulse มาเป็นสัญญาณสามเหลี่ยมก่อน และหลังจากนั้นจึงทำการใช้ band pass filter กรองความถี่ให้เหลือ 50 Hz ซึ่งนั่นก็คือ สัญญาณ sine wave นั้นเอง

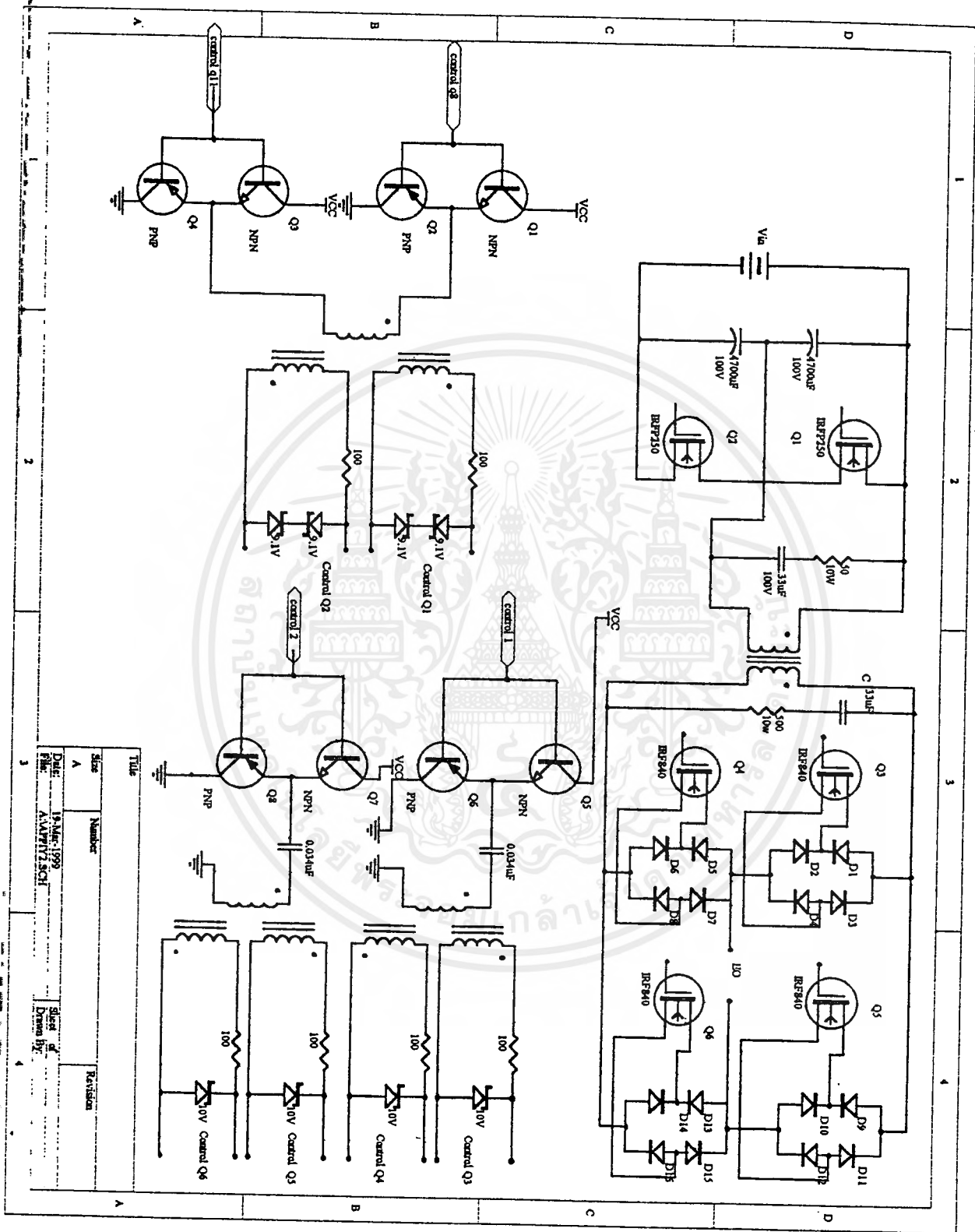
วิธีการสร้างสัญญาณ sine wave นั้นจากรูป 4.2 เมื่อเราได้สัญญาณ pulse ความถี่ 50 Hz จากวงจรหารความถี่ แล้วสัญญาณที่ได้จะมีช็กบวกลบอย่างเคียวแต่ในการ integrate สัญญาณ pulse ให้เป็นสามเหลี่ยมนั้น เราต้องใช้ pulse ทั้งช็กบวกลบ และซึ่งจะเห็นว่าสัญญาณที่เราได้จากวงจรหารความถี่นั้น เราต้องทำการตัดแปลงสัญญาณ pulse ที่มีช็กบวกลบเพียงอย่างเคียว ให้มีทั้งช็กบวกลบและช็กลบเสียก่อน โดยเราจะใช้ OpAmp ตัวแรกเป็นตัว compare และใช้ Zener Diode 3.3V เป็นตัว block สัญญาณให้มีทั้งช็กบวกลบ ซึ่งมีค่า +3.3V และ -3.3V เมื่อเราได้สัญญาณ Pulse แล้วจึงทำการ intergrate โดย Op Amp ตัวที่ 2 จากนั้นเราจึงกรอง

ความถี่โดยใช้ band pass filter ขนาด 50 KHz ซึ่งทำงานโดย Op Amp ตัวที่ 3 และ 4 จากนั้นเราทำการขยายสัญญาณ sine wave โดยใช้ Op Amp ตัวที่ 5 ซึ่งทำงานโดย Op Amp ตัวนี้สามารถปรับ offset สัญญาณ sine wave ให้ซีกบวกและซีกลบมีขนาดเท่ากันโดย VR 47 K ส่วน Op Amp ตัวที่ 6 จะทำการกลับ phase สัญญาณ sine wave ทำให้เราได้สัญญาณ sine wave 2 สัญญาณซึ่งมี phase ตรงข้ามกัน หลังจากนั้นนำสัญญาณทั้งนี้เข้าวงจร Comparator

4.4 วงจร COMPARATOR

เมื่อเราได้สัญญาณ sine wave ที่มี phase กลับกันความถี่ 50 Hz แล้วนำมาเปรียบเทียบ กับสัญญาณพื้นถี่ความถี่ 20 HKz โดยเรา ใช้ comparator ที่มีความไวสูงซึ่งในที่นี้เราใช้ IC เบอร์ LM 2903 ซึ่งเป็น Dual Comparator สัญญาณ O/Pที่ได้จะเป็นสัญญาณ S,S ซึ่งเป็น สัญญาณที่ใช้ในการสร้างสัญญาณทริกขาเกทของ POWERMOSFET





TITLE

Size	Number	Revision
A		

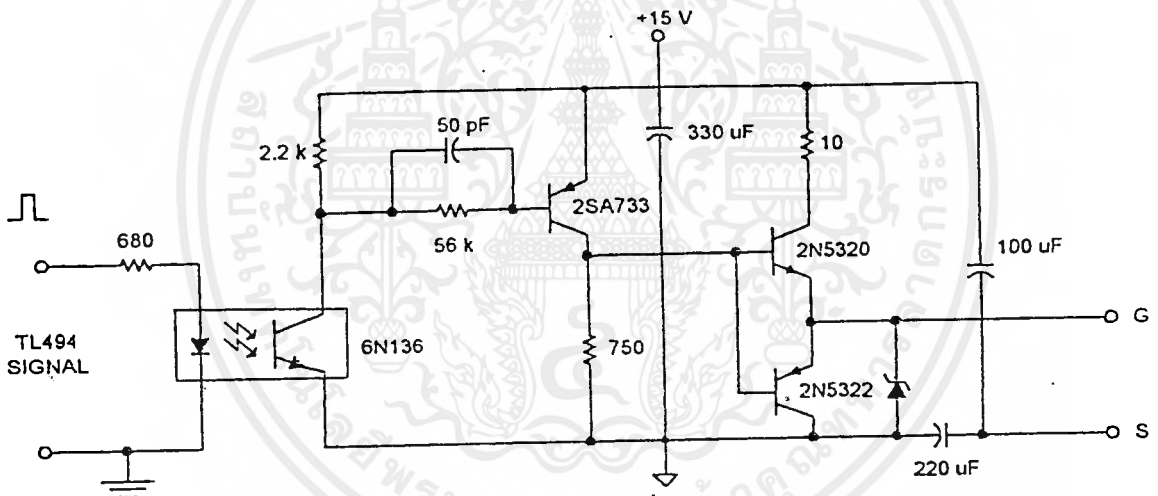
DATE: 18-Mar-1999
 FILE: A:\MPV72.SCH

Sheet of
 Design by

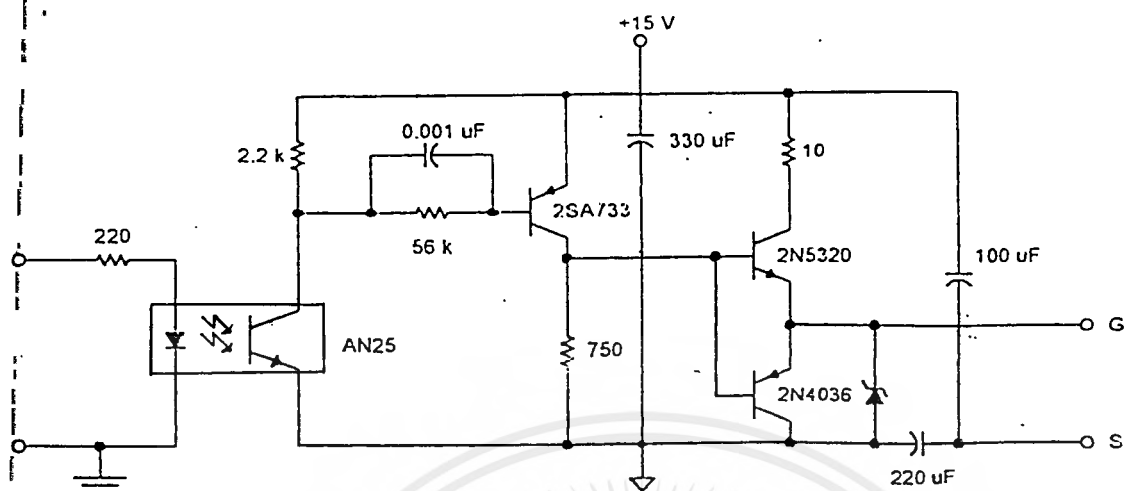
2 3 4

4.5 วงจรขับมอสเฟต

วงจรขับทำหน้าที่สร้างสัญญาณควบคุมการทำงานของเพาเวอร์มอสเฟต เพื่อให้เพาเวอร์มอสเฟตสามารถทำงานได้อย่างเหมาะสม วงจรขับมอสเฟตเป็นวงจรที่ไม่ยุ่งยากมากนัก เนื่องจากมอสเฟตควบคุมการทำงานด้วย แรงดันสำหรับวงจรถับของทั้งสองส่วนคือ ส่วนวงจรรีเลย์พรีไดร์ และฟูลบริดจ์ วงจรขับจะต้องแยกกราวด์ออกจากส่วนของอินพุต ในโครงงานนี้ใช้ออปโตไอโซเลเตอร์เป็นตัวแยกกราวด์ ปัญหาของวงจรถับอยู่ที่ ค่าพารามิเตอร์ต่างๆ ที่อาจไม่เหมาะสม ซึ่งเมื่อควบคุมให้มอสเฟตทำงานจริงๆ ที่พิกัด สัญญาณของวงจรถับจะเห็นได้ง่าย เพราะเป็นระดับของศักดาซึ่งจะมีผลต่อการทำงานของ มอสเฟต และมีผลต่ออุปกรณ์ในวงจรถับเองทำให้การหาค่าอุปกรณ์ต่างๆ ในวงจรถับแตกต่างจากทฤษฎีมาก



รูปที่ 4.3 วงจรขับมอสเฟตสำหรับวงจรรีเลย์พรีไดร์

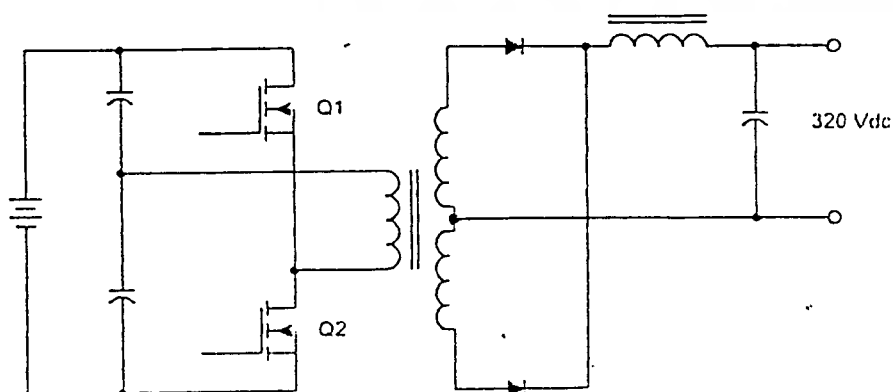


รูปที่ 4.4 วงจรขับมอเตอร์สำหรับวงจรฟูลบริดจ์

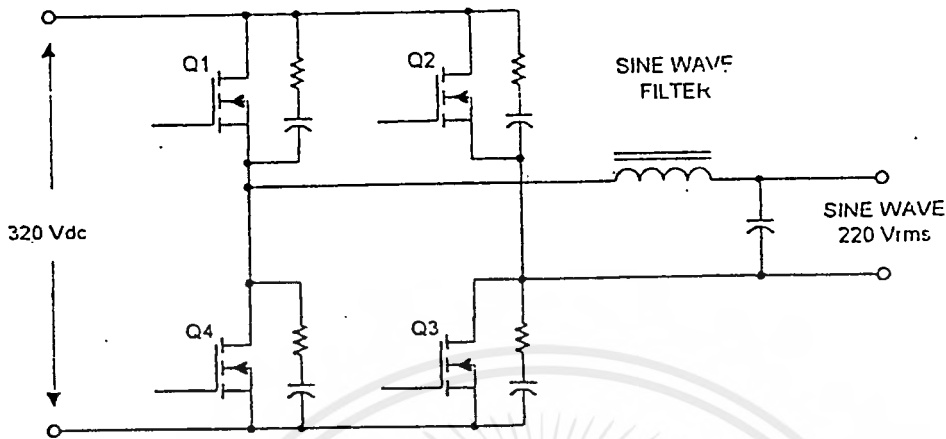
ลักษณะการทำงานของวงจรขับ คือในส่วนอินพุต ซึ่งเป็นสัญญาณ พัลส์ บลิวเอ็มที่ได้มาจากการเปรียบเทียบถูกป้อนเข้ามายังออปโตไอโซเลเตอร์ ในขณะที่มีระดับศักดาป้อนเข้ามา ไดโอดเปล่งแสง จะทำให้ทรานซิสเตอร์ในส่วนเอาต์พุตของออปโตทำงาน เพาเวอร์ซัพพลายในส่วนเอาต์พุต ซึ่งคนละกราวด์อินพุตจะทำหน้าที่เป็นแหล่งจ่ายใหม่ ทำให้วงจรทำงานได้ต่อไป เอาต์พุตจะระดับศักดา ไม่เกินศักดาของซัพพลายซึ่งสามารถที่จะขับมอเตอร์ให้ทำงานได้สำหรับออปโต 6N136 จะมีความไวกว่า 4N25 สำหรับวงจรฟูลบริดจ์

4.6 วงจรกำลัง

วงจรที่ใช้ในโครงงานนี้มี 2 ส่วนด้วยกันคือ วงจรฮาร์ฟบริดจ์ และวงจรฟูลบริดจ์



เอกสารนี้เป็นเอกสารที่สงวนไว้สำหรับการใช้งานเพื่อการศึกษาเท่านั้น ไม่อนุญาตให้นำไปใช้ประโยชน์ด้านการค้า ไม่ว่าจะกรณีใดๆ ทั้งสิ้น อีกทั้งห้ามมิให้ตัดแปลงเนื้อหาและต้องอ้างอิงถึงเจ้าของเอกสารทุกครั้งที่มีการนำไปใช้



รูปที่ 4.5 วงจรกำลังที่ใช้ในโครงการนี้

4.7 การออกแบบหม้อแปลงความถี่สูง

4.7.1 ทฤษฎีเบื้องต้นเกี่ยวกับหม้อแปลง

กระแสที่ไหลผ่านขดลวด จะทำให้เกิดฟลักซ์ ถ้าเส้นแรงแม่เหล็กไหลผ่านแกนโดยตลอด เมื่อนำขดลวดมาพันในแกนตรงข้าม ก็จะเหนี่ยวนำให้เกิดแรงดัน และมีกระแสไหลผ่านเช่นเดียวกัน ถ้าหากหม้อแปลงมีประสิทธิภาพสูงแล้ว

$$N_p/N_s = V_p/V_s$$

จะเพิ่มหรือลดแรงดันขึ้นอยู่กับขดลวดว่าจะต้องการ แรงดันเอาต์พุตต่ำหรือสูงกว่าแรงดันอินพุต โดยที่ศักดาไฟฟ้าเหนี่ยวนำจะสัมพันธ์กับสมการ

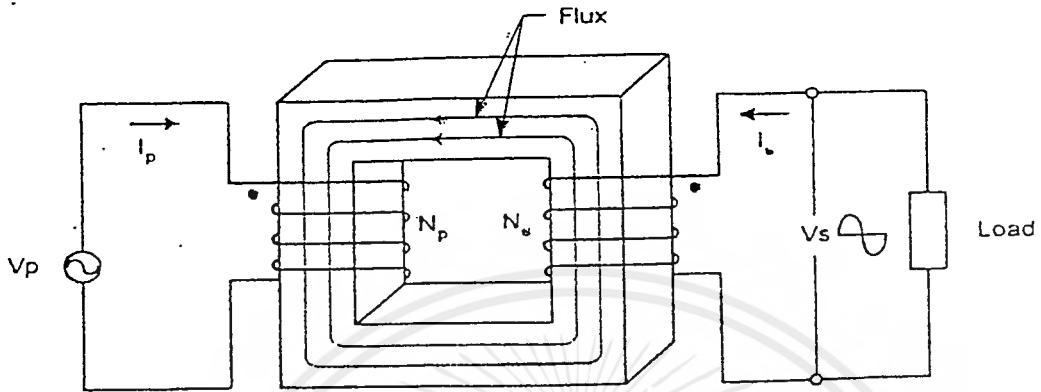
$$E = N A_s (dB/dt) 10^{-6}$$

ถ้าหากว่าหม้อแปลงทำงานในช่วงลิเนียร์จะได้สมการ

$$B_{max} = V_p * (10)^8 / K f N_p A_s$$

โดยที่ค่า $K = 4.4$ ถ้าเป็นคลื่นซายน์

$K = 4.0$ ถ้าเป็นคลื่นสี่เหลี่ยม



รูปที่ 4.6 แสดงฟลักซ์แม่เหล็กที่เกิดขึ้นในหม้อแปลง

การออกแบบหม้อแปลงจะเลือก B_{max} ในช่วงลิเนียร์ของ B-H curve โดยที่

$$B_{max} = B_{SAT}/2$$

$$N_p = (V_p) \cdot (10)^8 / 4 f B_{max} A_c$$

จะได้ว่าพารามิเตอร์ที่ต้องการออกแบบ จะสำคัญมากในการเลือกขนาดของแกนที่เหมาะสม พารามิเตอร์เหล่านั้น ได้แก่

- บริเวณเนื้อที่แกนที่จะพันขดลวด ซึ่งจะต้องเลือกให้ใหญ่พอที่จะพันตามขนาดขดลวด เพื่อที่จะให้เกิดการสูญเสียน้อยที่สุด
- ขนาดของแกนที่เหมาะสม

เอกสารนี้เป็นเอกสารที่สงวนไว้สำหรับการใช้งานเพื่อการศึกษาเท่านั้น ไม่อนุญาตให้นำไปใช้ประโยชน์ด้านการค้า ไม่ว่าจะกรณีใดๆ ทั้งสิ้น อีกทั้งห้ามมิให้ตัดแปลงเนื้อหาและต้องอ้างอิงถึงเจ้าของเอกสารทุกครั้งที่มีการนำไปใช้

พารามิเตอร์ทั้งสองตัวนี้ มีความสัมพันธ์กันตามสมการ

$$P_{out} = (1.16 B_{max} f A_e A_c) 10^9$$

d : ความหนาแน่นกระแสของขดลวด (แอมป์/ตารางเมตร)

p : ความสามารถในการรับพลังงานของขดลวด (วัตต์)

B : ความเข้มสนามแม่เหล็ก (Gauss)

A_e : พื้นที่เอ็ฟเฟลทึฟ (ตารางเซนติเมตร)

A_c : พื้นที่ขอบบ็อบบิ้น (ตารางเซนติเมตร)

วัสดุที่ใช้ทำแกนและการเลือก สารแม่เหล็กเกือบทุกชนิด สามารถที่จะเลือกมาออกแบบหม้อแปลง ความถี่สูงได้ แต่แกน Ferrite เป็นที่นิยมใช้ในการออกแบบมากในคอนเวอร์เตอร์รุ่นใหม่ ๆ

คุณสมบัติของแกนเฟอร์ไรท์

ไม่ต้องเลือกการทำงานที่ B สูงๆ ($B_{sat} = 3000 - 5000$ G : ของ Ferrite)

ค่าสูญเสียในแกนต่ำมากที่ความถี่สูงๆ

ง่ายต่อการประกอบ

4.7.2 ขั้นตอนการออกแบบหม้อแปลงความถี่สูง

เลือกแกนเฟอร์ไรท์

เลือก B ที่ศักดิ์ต่ำสุดจากตารางโดยประมาณ จะเป็นครึ่งหนึ่งของค่าจริงๆ

หาค่ากระแส I โดยคำนวณจากศักดิ์ต่ำสุด และจะต้องเป็นศักดิ์ไฟแรง

$$I_p = 3V_{out} / V_{in}$$

หาขนาดของแกน และบ็อบบิ้น

$$A_e A_c = [0.68 P_{cu} D / f B_{max}] * 10^3$$

D : เซอร์คิวลาร์มีล/แอมป์

แล้วเลือกค่า A_c , A_e จากตารางให้เหมาะสม ควรมากกว่า 50% ขึ้นไปของค่าที่คำนวณได้

คำนวณขนาดลวดทางด้านปฐมภูมิ

เมื่อเราทราบ D ทราบ I_p

เราทราบ DI_p จะเป็นค่า C , m/A นำไปเลือกขนาดของลวด

เมื่อทราบขนาดของบ็อบบิ้น จะทราบจำนวนรอบที่พัน

$$N_p = \frac{V_p * 10^8}{4 f B_{max} A_c}$$

สมมติพันทางด้านปฐมภูมิไป 30% ของเนื้อที่ จะได้จำนวนรอบที่ควรพันได้ จากการคำนวณเช่น 100% 180% รอบ 30% ควรจะพัน 60 รอบ

กรณีที่พันจริงได้ 60 รอบ หรือน้อยกว่านี้ แสดงว่าเลือกแกนของบ็อบบิ้นได้ถูกต้องหากว่าได้มากกว่านี้ ต้องเลือกและคำนวณใหม่

ตรวจสอบค่าความเข้มสนามแม่เหล็กสูงสุด ที่ค่าแรงดันป้อนเข้าสูงสุด

หาค่าแรงดันป้อนเข้าสูงสุด

$$B_{max} = \frac{V_p * 10^8}{K f N_p A_c}$$

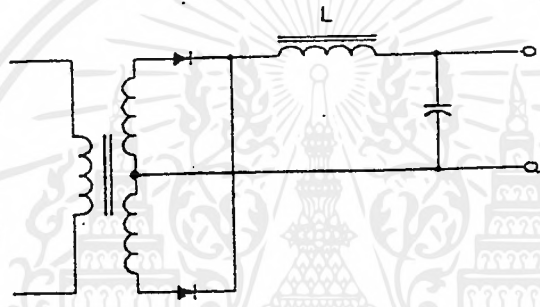
- คำนวณจำนวนชั้นของ ด้านปฐมภูมิ หาขนาดเส้นผ่าศูนย์กลางของขดลวด

- คำนวณหาจำนวนรอบทางด้านทุติยภูมิ

$$N_s = \frac{N_p V_s}{V_p}$$

สิ่งที่ต้องคำนึงถึงในทางปฏิบัติ เมื่อทดสอบหม้อแปลงจริงๆ การพันแบบตะเยียดจะดีกว่า แม้ว่าหม้อแปลงส่วนใหญ่ จะพันขดลวดหนึ่งทับกับอีกขดหนึ่ง การที่จะลดตึกเกจอินคัลแดนซ์ที่อาจเกินขึ้นให้น้อยลง โดยการพันแบบแซนควิช

4.8 ส่วนแปลงเป็นสัญญาณไฟฟ้า (Filter)



รูปที่ 4.7 วงจรกรองสัญญาณ

ส่วนกรองสัญญาณที่กล่าวถึงนี้ เป็นการกรองสัญญาณให้เป็นสัญญาณไฟตรง จากการสวิตชิงของวงจรรีเลย์ฟรังก์ชัน ในส่วนนี้มีส่วนประกอบหลัก 3 ส่วนคือเร็คติไฟเออร์, อินคัลเตอเรอร์ และคาปาซิเตอเรอร์

โดยทั่วไปเอาท์พุทจากหม้อแปลงจะทำให้เป็นไฟตรงได้โดยการเร็คติไฟเออร์ แล้วผ่านวงจรกรองสัญญาณ แต่ถ้าความถี่สูงมากๆ อุปกรณ์ที่ใช้จะต้องมีลักษณะพิเศษเพิ่มเติม เช่น ไดโอด จะต้องมึระยะเวลาการฟื้นตัวเร็วมาก คาปาซิเตอเรอร์ ควรมี ESR ต่ำ อินคัลเตอเรอร์จะต้องไม่เก็บพลังงานไว้ในตัวเองหรือเก็บได้น้อยที่สุด เพื่อที่จะลดสัญญาณรบกวนของเอาท์พุท ซึ่งจะเป็นประโยชน์ต่อการใช้งาน อุปกรณ์อิเล็กทรอนิกส์ ในส่วนเอาท์พุท (มีการสมการบางสมการช่วยในการออกแบบด้วย)

เอกสารนี้เป็นเอกสารที่สงวนไว้สำหรับการใช้งานเพื่อการศึกษาเท่านั้น ไม่อนุญาตให้นำไปใช้ประโยชน์ด้านการค้าไม่ว่ากรณีใดๆ ทั้งสิ้น อีกทั้งห้ามมิให้ดัดแปลงเนื้อหาและต้องอ้างอิงถึงเจ้าของเอกสารทุกครั้งที่มีการนำไปใช้

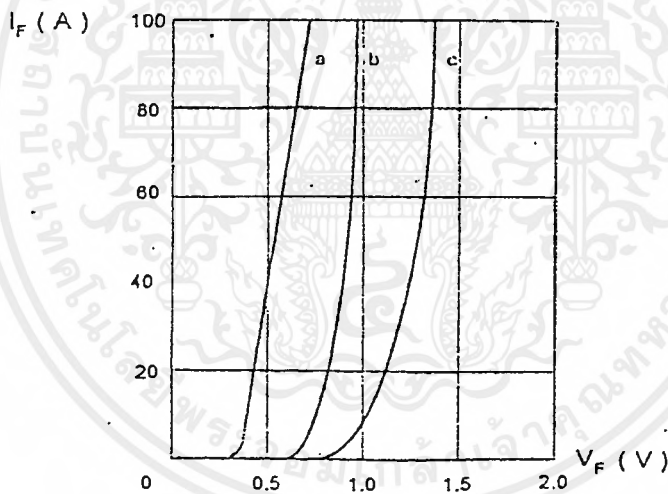
4.8.1 คุณสมบัติของเรกติฟาย (Rectifier)

คุณสมบัติของไดโอดที่ใช้ในส่วนเรกติฟาย จะต้องมียุทธศาสตร์ดังนี้

- ไดโอดจะต้องมีค่าศักดาตกคร่อมเมื่อนำกระแสต่ำ
- ไดโอดจะต้องมีระยะเวลาในการฟื้นตัวเร็วมาก (Fast Recovery Diode)
- มีความสามารถรับพลังงานได้เพียงพอ

PN junction หรือไดโอดธรรมดา ไม่เหมาะสมที่จะใช้กับสวิตซิ่ง เพราะประสิทธิภาพต่ำ และช่วงระยะเวลาฟื้นตัวช้า

ชนิดของไดโอด ที่ใช้ในส่วนเรกติฟายมี 3 ชนิดที่นิยมคือ



รูปที่ 4.8 กราฟแสดงคุณสมบัติของไดโอดทั้ง 3 ชนิด

- High Efficiency
- High Efficiency
- Schottky Barrier Rectifier
- Fast, Vary Fast Rectifier
- Fast Recovery
- Very Fast Recovery

เอกสารนี้เป็นเอกสารที่สงวนไว้สำหรับการใช้งานเพื่อการศึกษาเท่านั้น ไม่อนุญาตให้นำไปใช้ประโยชน์ด้านการค้า ไม่ว่ากรณีใดๆ ทั้งสิ้น อีกทั้งห้ามมิให้ดัดแปลงเนื้อหาและต้องอ้างอิงถึงเจ้าของเอกสารทุกครั้งที่มีการนำไปใช้

จะมีศักดาตกคร่อมมากกว่าชนิดที่ 3 และอยู่ในช่วง 0.8–1.2 โวลต์ เหมาะสมกับอุปกรณ์พวกแรงดันต่ำ เช่น ศักดาเอาต์พุต ประมาณ 12 โวลต์ ในปัจจุบันจะมีการสวิตชิงที่ความถี่ 20 กิโลเฮิรตซ์ หรือมากกว่านี้ ไดโอดที่กล่าวมาทั้ง 2 ชนิด จะลดสวิตชิงที่จะไปเกี่ยวข้องกับ Ripple ของเอาต์พุต

- Schottky Barrier Rectifier

มีศักดาตกคร่อมประมาณ 0.5 โวลต์ แม้ว่ากระแสที่ไหลผ่านจะเพิ่มสูงขึ้นก็ตาม ไดโอดชนิดนี้เป็นเมเจอร์ตีแคเรียร์ แต่ข้อจำกัดของไดโอดชนิดนี้คือ Reverse Blocking มีค่าต่ำปัจจุบันประมาณ 100 โวลต์ ไดโอดชนิดนี้เกิดการพังทลายเนื่องจากความร้อนได้ง่ายกว่า

4.8.1 คุณสมบัติและการออกแบบส่วนของตัวเหนี่ยวนำ

ตัวเหนี่ยวนำเป็นส่วนกรองสัญญาณเอาต์พุต การทำงานพิจารณาเป็น 2 ลักษณะคือ

- เก็บพลังงานตลอดช่วง Turn-Off หรือ Notch Period เพื่อที่จะทำให้กระแสไหลไปยังโหลดอย่างต่อเนื่อง
- ช่วยให้แรงดันเฉลี่ยของเอาต์พุตเรียบยิ่งขึ้น

การคำนวณ

$$V_L = L di / dt$$

ดังนั้น $V_L = E_{in} - E_{out}$

และ $di = \Delta I_L$

เราสามารถหาค่า L ได้จาก

$$L = [E_{in} - E_{out}] * [\Delta t / \Delta I_L]$$

ในกรณีของ Half-Bridge

เอกสารนี้เป็นเอกสารที่สงวนไว้สำหรับการใช้งานเพื่อการศึกษาเท่านั้น ไม่อนุญาตให้นำไปใช้ประโยชน์ด้านการค้า ไม่ว่ากรณีใดๆ ทั้งสิ้น อีกทั้งห้ามมิให้ดัดแปลงเนื้อหาและต้องอ้างอิงถึงเจ้าของเอกสารทุกครั้งที่มีการนำไปใช้

	E_{in}	=	$2E_{out}$
ดังนั้น	$E_{in} - E_{out}$	=	E_{out}
	Δt	=	dead time หรือ notch time
ค่า	t_{off}	=	จะมีค่าสูงสุด
	t_{out}	=	จะมีค่าต่ำสุด

ดังนั้นความถี่ขั้วนำต้องเหมาะสม เพื่อเก็บพลังงานอย่างเพียงพอ จะจ่ายเอาท์พุทอย่างต่อเนื่องตลอดช่วง notch period

ถ้าแทนค่า Δt ในทอมของแรงดันด้านทุติยภูมิ E_{in} และ E_{out}

$$t = t_{off} = [1 - E_{in}/E_{out}] / 2f$$

โดย

$$f = \text{ความถี่ที่ใช้ในการสวิตซ์}$$

$$1/2 = \text{แฟคเตอร์ที่สัมพันธ์กับ notch time (t_{off}) กับเวลาทั้งหมด}$$

เพื่อที่จะทำให้ค่า Inductance peak current ต่ำสุดและมี Ripple น้อยที่สุด ΔI_L ไม่ควรมีค่ามากเกินไป $0.25 I_{out}$

$$V_L = L di / dt$$

$$L = E_{out} t_{off} / 0.25 I_{ou}$$

4.8.2 คุณสมบัติและการออกแบบตัวเก็บประจุในส่วนกรองสัญญาณ

การเลือกใช้ขนาดของตัวเก็บประจุ และการออกแบบ ขึ้นอยู่กับชนิดของวงจรที่ใช้งานกระแสสูงสุดขณะทำงาน, ความถี่ในการสวิตซ์ ในการใช้งานในปัจจุบันเลือกใช้ อิเล็กโทรไลต์มากกว่า ESR เพราะ ESR จะมีผลต่อ Ripple สูงสุดขณะทำงาน, ความถี่ในการสวิตซ์ นอกจากชนิดของตัวเก็บประจุที่เราต้องพิจารณาแล้ว การคำนวณค่าและการวิเคราะห์รูปแบบของตัวเก็บประจุก็มีความสำคัญเช่นเดียวกัน

จากกราฟ รูปกราฟและกระแสของ C จะมีจุดเริ่มต้นที่ศูนย์ มีขนาด ΔI สังเกตว่ากระแส I_C จะตัดที่ศูนย์ เมื่อเพิ่มไปทางบวกที่เวลา t_1 ซึ่งเป็นช่วงกึ่งกลางของ t_{on} และ t_2 เป็นช่วงกึ่งกลางของ t_{off} ดังนั้นกระแสจะทำให้เกิด Ripple Voltage (V) หาได้จากสมการ

$$V_{out} = \frac{1}{C_{out}} \int i dt \quad \dots(1)$$

แต่กระแสเฉลี่ยตลอดช่วงเวลา $t_1 - t_2$ คือ

$$[\Delta I_{out}/2] * 1/2 \text{ หรือ } \Delta I_{out}/4$$

ดังนั้นถ้าเราอินทิเกรตสมการ (1) จะได้ว่า

$$V_{out} = I_{out} * [T/4C_{out} * 2]$$

$$= (\Delta I_{out}) T/8C_{out}$$

$$= \Delta I_{out}/8fC_{out}$$

$$C_{out} = \Delta I_{out} / 8fV_{out}$$

เมื่อ

$$I_{out} = 0.25 I_L : (I_L \text{ กระแสเอาท์พุท})$$

$$V_{out} = \text{Ripple Voltage peak to - peak}$$

$$f = \text{ความถี่ในการสวิตช์}$$

ค่า L, C ที่เหมาะสมนั้นสำคัญมาก เพราะมีผลต่อวงจรดังนี้

- ค่า L, C มีผลต่อเสถียรภาพของระบบสวิตช์

เอกสารนี้เป็นเอกสารที่สงวนไว้สำหรับการใช้งานเพื่อการศึกษาเท่านั้น ไม่อนุญาตให้นำไปใช้ประโยชน์ด้านการค้า ไม่ว่าจะกรณีใดๆ ทั้งสิ้น อีกทั้งห้ามมิให้ดัดแปลงเนื้อหาและต้องอ้างอิงถึงเจ้าของเอกสารทุกครั้งที่มีการนำไปใช้

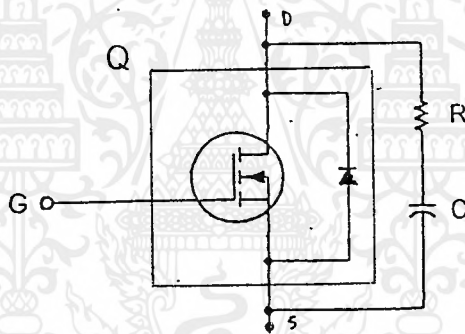
ค่า L น้อย และค่า C ขนาดใหญ่ขึ้น วงจรจะมีผลต่อทรานเซียนต์ดีคิมามาก เพียงแต่โหลดเปลี่ยน Step เท่านั้น

การคำนวณค่า L, C ในทางทฤษฎี เมื่อนำไปใช้จริงๆ แล้วไม่พอดีหรือเหมาะสมโดยทั่วไปค่า C ที่ใช้จริงจะมีค่าน้อยกว่าที่คำนวณได้

4.9 วงจรป้องกัน

4.9.1 การป้องกันแรงดันเกิน

สำหรับการป้องกันตัวมอสเฟตกำลังนั้น เรามักจะพิจารณาการป้องกันแรงดันเกินเป็นหลัก โดยเฉพาะระหว่างครนกับซอร์ส



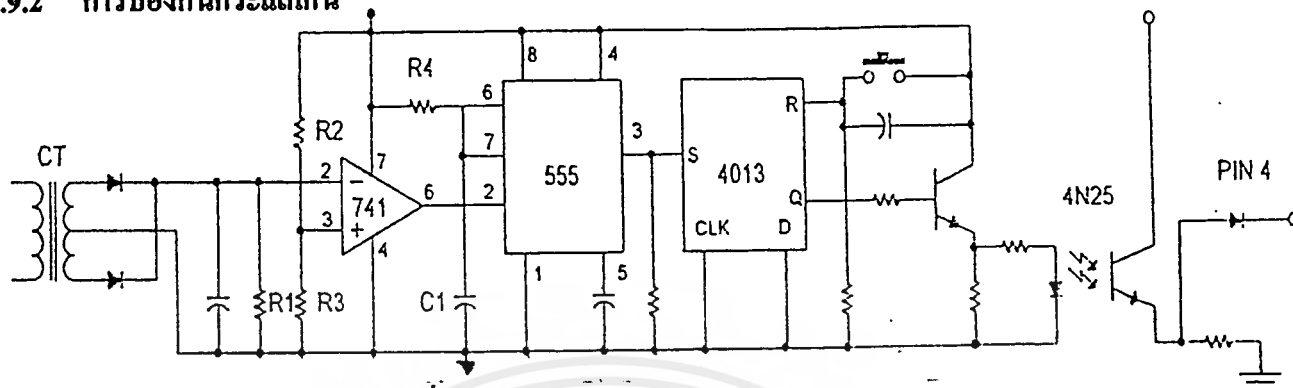
รูปที่ 4.9 วงจรป้องกันแรงดันเกิน (R-C Snubber)

การเกิดสัปดาห์ทรานเซียนต์ระหว่างครน - ซอร์ส จากการสวิตชิงกระแสสูงๆ แล้วโหลดเป็นอินดักทีฟ ซึ่งสามารถจะดันให้ V_{DS} เกินค่าที่จะทนได้ และมีปริมาณพลังงานมากพอที่จะทำให้อุปกรณ์พังเสียหาย วิธีป้องกันมีอยู่หลายวิธีด้วยกัน แต่ในการทดลองนี้เลือกใช้วงจรสแนบเบอร์โดยใช้ตัวต้านทานและตัวเก็บประจุ (R-C Snubber)

ขณะที่มอสเฟตหยุดนำกระแสทันทีทันใด กระแสจะไหลผ่านตัวต้านทาน และชาร์จเข้าตัวเก็บประจุเป็นการป้องกันสัปดาห์ทรานเซียนต์ระหว่างครนกับซอร์ส เมื่อมอสเฟตนำกระแสอีกครั้งหนึ่ง ตัวเก็บประจุจะคายประจุผ่านตัวต้านทานแล้วไหลผ่านมอสเฟต

เอกสารนี้เป็นเอกสารที่สงวนไว้สำหรับการใช้งานเพื่อการศึกษาเท่านั้น ไม่อนุญาตให้นำไปใช้ประโยชน์ด้านการค้าไม่ว่ากรณีใดๆ ทั้งสิ้น อีกทั้งห้ามมิให้ดัดแปลงเนื้อหาและต้องอ้างอิงถึงเจ้าของเอกสารทุกครั้งที่มีการนำไปใช้

4.9.2 การป้องกันกระแสเกิน



รูปที่ 4.10 วงจรป้องกันกระแสเกิน

วงจรมีหน้าที่จำกัดหรือป้องกันกระแสเกิน โดยเมื่อมีกระแสเกินที่กำหนดไว้ วงจรมีจะทำให้ TL 494 ซึ่งเป็นตัวสร้างสัญญาณขั้วมอสเฟต หยุดจ่ายพัลส์ออกมาทำให้วงจรกำลังไม่สามารถนำกระแสได้จนกว่าจะกดสวิทช์รีเซ็ตจึงสามารถนำกระแสได้อีกครั้ง

ลักษณะการทำงานคือต้องหม้อแปลงกระแสไว้ที่ด้านปฐมภูมิของหม้อแปลง ในส่วนของการสวิทช์ ที่ความถี่ 50 kHz เมื่อมีกระแสไหลทางด้านปฐมภูมิของหม้อแปลงกระแส ก็จะเกิดการเหนี่ยวนำให้มีกระแสไหลทางด้านทุติยภูมิ ผ่านวงจรเรียงกระแสไฟตรง มีสัปดาห์คกร้อม R1 ซึ่งเป็นตัวกำหนดขนาดกระแสที่จำกัดไว้ จากนั้นนำศักดาที่ได้เปรียบเทียบกับศักดาอ้างอิง โดยใช้อปแอมป์เบอร์ LM 741 เป็นตัวเปรียบเทียบ ศักดาอ้างอิงกำหนดโดยค่าของ R2 และ R3 ถ้าหากศักดาที่คร้อม R1 มากกว่าศักดาอ้างอิงแล้ว จะทำให้เอาท์พุทของ LM 741 มีสถานะต่ำ จะทำให้ IC555 ทำงาน โดย IC555 จะถูกต่อในลักษณะของ Monostable คือจ่ายสัญญาณสถานะสูงออกมา ทำให้ศักดาไฟตรงที่ขา 4 ของ TL494 ยกสูงขึ้นกว่าศักดาของสัญญาณฟันเลื่อย จึงทำให้ไม่มีพัลส์ออกมา IC4013 เป็น D Flip-Flop ทำหน้าที่คงสถานะจาก IC555 ไว้จนกว่าจะกดสวิทช์รีเซ็ต

4.10 วงจรรองความถี่

สัญญาณไฟสลับที่ได้จากการสวิทช์ หรือคลื่นสัญญาณอื่นๆ ก็ตาม จะประกอบไปด้วยคลื่นที่มีลักษณะรูปซายน์ ที่มีความถี่ฮาร์โมนิกอันดับต่างๆ ผสมกันอยู่ มากหรือน้อยแตกต่างกันไปรวมทั้งสัญญาณรูปที่ดับบลิเว็มด้วย สำหรับรูปคลื่นที่ดับบลิเว็มนั้นมีฮาร์โมนิกหลายอันดับที่กลายเป็นศูนย์ไป ถ้าหากว่า

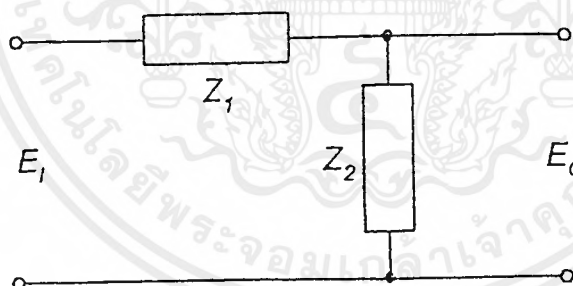
อันดับของฮาร์โมนิกเพิ่มสูงขึ้น ขนาดของฮาร์โมนิกก็จะลดลงด้วย คลื่นที่ปรากฏจะเป็นผลลัพท์ทางการรวมฮาร์โมนิกอันดับต่างๆ

การทำงานของอินเวอร์เตอร์นั้น สัญญาณที่ได้จากการสวิตช์จึงจะยังไม่เป็นคลื่นไซน์จะต้องผ่านวงจรกรองสัญญาณ (Filter) เพื่อกรองฮาร์โมนิกต่างๆ ที่ไม่ต้องการออกไป ให้เหลือแค่สัญญาณคลื่นไซน์หรือสัญญาณความถี่มูลฐาน (Fundamental) ออกมายังเอาต์พุตเท่านั้น

วงจรกรองความถี่นั้นมี 2 ลักษณะด้วยกันคือ

- Active Filter เป็นวงจรกรองความถี่สำหรับอุปกรณ์อิเล็กทรอนิกส์ ที่มีขนาดกำลังไม่สูง (Low Power)
- Passive Filter เป็นวงจรกรองความถี่สำหรับวงจรถูกกำลังสูงๆ (High Power) ซึ่งโครงการานนี้ใช้การออกแบบวงจรในลักษณะนี้

การออกแบบวงจรกรองความถี่มีลักษณะดังนี้

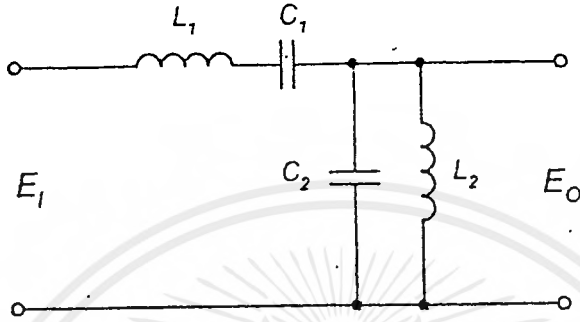


รูปที่ 4.11 รูปสมมติของวงจรกรองความถี่

ที่ความถี่หลักจะต้องทำให้ $Z_1 \rightarrow 0$ และ $Z_2 \rightarrow \infty$ เพื่อที่จะทำให้ความถี่ผ่าน Z_1 มาได้โดยสะดวก โดยไม่มีแรงดันตกคร่อม Z_1 เลย และไม่มีการแผ่ของคลื่นหลักไหลผ่านเข้าไปยัง Z_2 ได้สำหรับคลื่นที่เป็นฮาร์โมนิก จะทำให้ $Z_1 \rightarrow \infty$ และ $Z_2 \rightarrow 0$ เพื่อไม่ให้กระแสฮาร์โมนิกไหลผ่าน Z_1 ได้ ถ้าผ่านมาได้บ้างก็จะด้วงจรลง Z_2 ดังนั้นคลื่นที่ผ่านวงจรกรองความถี่ออกมา จึงเป็นคลื่นความถี่หลักเท่านั้น

4.10.1 แนวทางการสร้างวงจรกรองความถี่

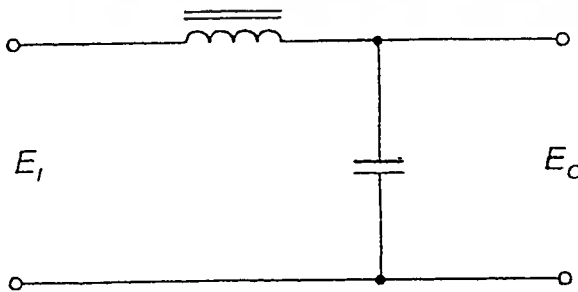
สำหรับ Z_1 ใช้ L_1 และ C_1 ต่ออนุกรมกัน, Z_2 จะใช้ L_2 และ C_2 เราสามารถหาความสัมพันธ์ของค่า L และ C ได้ดังนี้



รูปที่ 4.12 วงจรความถี่แบบ 4 อันดับ

$$\begin{aligned}
 Z_1 &= j\omega L + 1/j\omega C \\
 &= j[\omega L - 1/j\omega C] \\
 &= j[(\omega^2 LC - 1) / \omega C] \\
 Z_2 &= (j\omega L / j\omega C) * [1 / (j\omega L + j\omega C)] \\
 &= L/C * [\omega C / j(\omega^2 LC - 1)] \\
 &= -j\omega L / (\omega^2 LC - 1)
 \end{aligned}$$

สำหรับความถี่สูงๆ นั้น ฮาร์โมนิกส่วนใหญ่จะเกิดขึ้นที่อันดับสูงๆ ดังนั้นในการออกแบบวงจรกรองความถี่ สามารถใช้วงจร Low pass Filter ซึ่งเป็นวงจรแบบสองอันดับ (L-C Filter) ได้โดย



รูปที่ 4.13 วงจรกรองความถี่ Low pass

การคำนวณค่า L และ C ของวงจรกรองความถี่แบบ 4 อันดับ หาได้จาก

- หาค่า ω_0 จาก

$$\begin{aligned}\omega_0 &= 2f_0 \\ f_0 &= \text{Cut off frequency} \\ \omega_0 &= 1/(L_1 C_1)^{1/2} \\ &= 1/(L_2 C_2)^{1/2} \\ C_1 &= AC_2 \\ L_2 &= AL_1\end{aligned}$$

ค่า A จะสุ่มขึ้นมาเพื่อใช้ในการออกแบบ ปรับค่าไปจนกระทั่งได้ค่าที่เหมาะสมหรือใช้โปรแกรมทางคอมพิวเตอร์ช่วยในการคำนวณ

- กำหนดค่า L_1 , C_1 และ A แล้วหาค่า L_2 และ C_2

$$\begin{aligned}L_1 &= 1/\omega_0^2 C_1 \\ C_2 &= C_1/A \\ L_2 &= AL_1\end{aligned}$$

จากรูป 4.13 แนวการคำนวณหาค่า L และ C ของวงจร Low Pass Filter มีดังนี้

$$E_0/E_1 = 1/SC * [1/(SL + 1/SC)]$$

$$= 1 / (LSC^2 + 1)$$

$$E_0(s)/E_1(s) = 1 / (LSC^2 + 1)$$

$$= 1 / (j\omega LC)^2 + 1$$

$$\omega_n = 1 / (LC)^{1/2}$$

$$= 2f_n$$

$$f_n = \text{Coner frequency}$$

วงจรกรองความถี่แบบ 4 อันดับ การออกแบบจะต้องกำหนดค่าความถี่เรโซแนนซ์จากข้อกำหนดเดิมที่ว่า ให้ค่าอิมพีแดนซ์ Z_1 ค่าเท่ากับศูนย์ที่ความถี่หลัก และมีค่ามาก ๆ ที่ความถี่ฮาร์โมนิกอันดับสูงๆ อิมพีแดนซ์ Z_2 ค่าเป็นอนันต์ที่ความถี่หลัก

4.11 การออกแบบฟิลเตอร์

ฟิลเตอร์ที่ใช้จะเป็น LC ฟิลเตอร์

4.11.1 ตัวเหนี่ยวนำ

ในส่วนที่เป็นกระแสตรง DC

$$NI = HL$$

$$NI = \mu BL$$

ถ้าต้องการให้ตัวเหนี่ยวนำมีลักษณะของ B-H Curve เป็นเส้นตรง (Linear) จะต้องทำให้ศักย์แม่เหล็ก (Magnetic Potential) มาตรฐานที่ช่องอากาศ (Air Gap) คือ เพิ่มจุดอิ่มตัวให้มีค่าสูงขึ้น

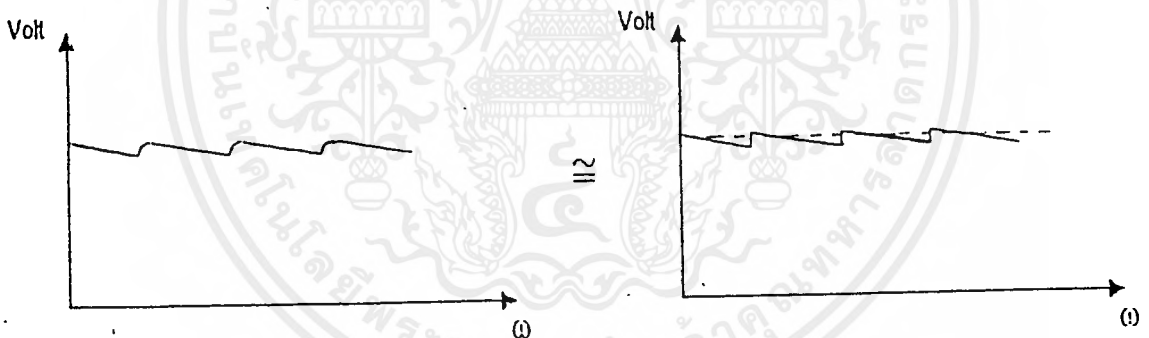
ในส่วนที่เป็นกระแสสลับ AC

$$V = 4.44 fNBA$$

ในทาง AC ค่าความหนาแน่นฟลักซ์แม่เหล็ก จะขึ้นอยู่กับแรงดันที่ตกคร่อมในกรณีของ DC ค่าความหนาแน่นฟลักซ์จะขึ้นอยู่กับปริมาณของกระแสที่ไหลผ่านจากข้อกำหนดทั้งสอง สามารถออกแบบตัวเหนี่ยวนำให้มีค่าเท่ากับ 0.5 mH (มิลลิเฮนรี่)

4.11.2 ตัวเก็บประจุ

สำหรับการหาค่าของตัวเก็บประจุนั้น เราจะทำการ ประมาณช่วงที่ทำการประจุและคายประจุตัวเก็บประจุ ในลักษณะของเส้นตรง ดังรูป



รูปที่ 4.14 แสดงการประมาณเป็นเส้นตรงการกรองประจุผ่าน C

โดยที่ $Q (RL)$ = ประจุที่จ่ายให้กับโหลด ในรูปของกระแส
 T = คาบเวลาที่ (คิซซาร์จ)

ในการประจุตัวเก็บประจุด้วยค่า แรงดันกระเพื่อม (Ripple Voltage) จำนวนประจุที่ได้รับคือ

$$Q_c = C \times VR$$

และ Q_c จะจ่ายให้กับโหลดดังนี้

$$Q_c = Q(RI)$$

จากสมการทั้งหมดจะได้ค่า

$$I_c \times T_{on} = C \times V_R$$

$$= Q_c$$

$$\text{ดังนั้น } C = (I_c \times T_{on}) / V_R$$

$$\text{จากการคำนวณ จะได้ค่า } C = 1.1 \mu\text{F}$$

$$\text{แต่ในทางปฏิบัติ จะใช้ } C = 2 \mu\text{F}$$

โดยลักษณะการออกแบบ จะต้องคำนึงถึงค่า พลังงานทั้งสองตัวจะต้องได้รับดังนี้

$$E = 1/2 \cdot (C \times V^2) \text{ และ } E = 1/2 \cdot (L \times I^2)$$

E คือ ค่าพลังงานที่สะสมอยู่ (Joule)

V คือ ค่าศักย์ไฟฟ้า (Volt)

L คือ ค่าตัวเหนี่ยวนำ (Henry)

I คือ ค่ากระแส (Ampere)

C คือ ค่าตัวเก็บประจุ (Farad)

สูตรการหา L & C

$$t_{on} = 1/2 f \cdot [1 - (E_o/E)]$$

$$L = E_o \cdot t_{on} / 0.25 I_o$$

$$0.25 I_o$$

$$C = I_o / f \cdot V$$

วงจรป้องกันอัตราการเปลี่ยนแปลงแรงดันไฟฟ้าสูง (Snubber circuit)

เพื่อเป็นการป้องกันจำกัดอัตราการเพิ่มของแรงดันไฟฟ้าให้น้อยกว่า $[di/dt]_{max}$ สูงสุดที่ทนได้สำหรับ อินดักทีฟโหลด

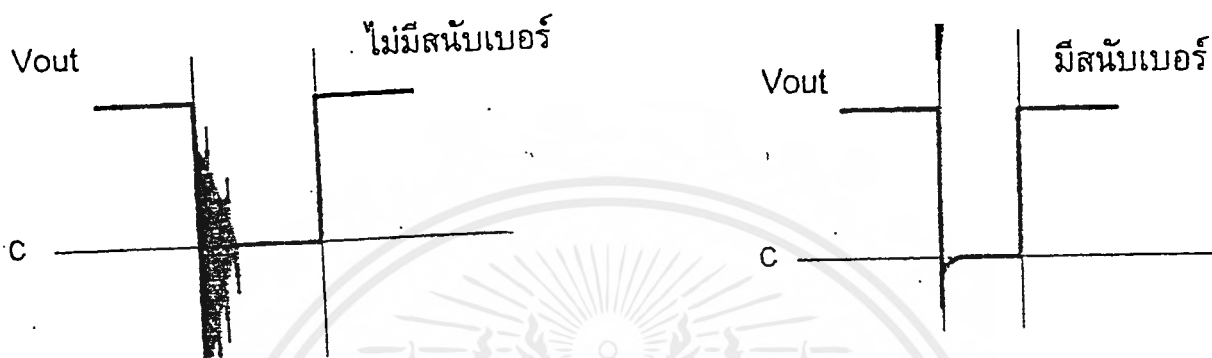
$$C_s = 2/9 I_m \times t \quad \dots(\text{ฟารัด})$$

เอกสารนี้เป็นเอกสารที่สงวนไว้สำหรับการใช้งานเพื่อการศึกษาเท่านั้น ไม่อนุญาตให้นำไปใช้ประโยชน์ด้านการค้า ไม่ว่ากรณีใดๆ ทั้งสิ้น อีกทั้งห้ามมิให้ตัดแปลงเนื้อหาและต้องอ้างอิงถึงเจ้าของเอกสารทุกครั้งที่มีการนำไปใช้

$$R_s = t_{on} \dots(\text{โอห์ม})$$

$$C_s = (2/9)I_m \cdot (t_r/V_s) \quad \Omega$$

$$R_s = t_{on} / 5C_s \quad F$$



รูปที่ 4.15 แสดงสัญญาณเปรียบเทียบเมื่อมีวงจรสับเบอ์

ส่วนวงจรแยกกราวด์เพื่อความปลอดภัย เอาท์พุทของคอมพิวเตอร์ที่ได้จากวงจรป้องกัน กระแสเกินวงจรป้องกันแรงดันไฟฟ้านี้จะนำมา ขับปรานซิสเตอร์ เพื่อให้ฮอปได้คัมเบิลทำงานอีกทีโดย ทำหน้าที่แยกกราวด์ ระหว่างวงจรตรวจจับความผิดปกติ ซึ่งมีกราวด์ร่วมกับวงจรกำลังและวงจรควบคุม การทำงานของมอเตอร์ซึ่งเป็นวงจรกำลังต่ำ

4.12 แบตเตอรี่

แบตเตอรี่เป็นแหล่งพลังงานสะสมของ UPS ช่วงเวลาเบ็กอัพขึ้นอยู่กับโหนดของ UPS และ ขนาดของแบตเตอรี่ แบตเตอรี่ที่นิยมใช้มี 2 แบบ คือนิกเกิลแคดเมียม และชนิดตะกั่ว-สังกะสี ชนิด นิกเกิลแคดเมียมมีอัตราการอัดประจุ/และคายประจุดีกว่า มีช่วงอุณหภูมิใช้งานที่กว้าง และอายุการใช้งาน สูงกว่า แต่ก็มีความสูงกว่าด้วย ชนิดตะกั่ว-สังกะสี มีข้อคืออินแรงความปลอดภัยต่อผู้ใช้และการหุ กร่อนของอุปกรณ์มากกว่า ปัจจุบันมีแบตเตอรี่ ชนิดที่ไม่ต้องเติมน้ำกลั่น และไม่ต้องบำรุงรักษา (maintenance-free) ซึ่งนิยมใช้กับ UPS กันอย่างแพร่หลาย

แบตเตอรี่ทั้ง 2 ชนิด แบ่งตามอัตราการอัดประจุ/คายประจุได้ 3 ประเภท คือ สูง (H) กลาง (M) ต่ำ (L) ประเภทที่ต้องการกระแสสูงในระยะเวลานาน ส่วนประเภทต่ำ เหมาะกับงานที่ต้องจ่าย กระแสต่ำ เป็นเวลานาน

เอกสารนี้เป็นเอกสารที่สงวนไว้สำหรับการใช้งานเพื่อการศึกษาเท่านั้น ไม่อนุญาตให้นำไปใช้ประโยชน์ด้านการค้า ไม่ว่ากรณีใดๆ ทั้งสิ้น อีกทั้งห้ามมิให้ดัดแปลงเนื้อหาและต้องอ้างอิงถึงเจ้าของเอกสารทุกครั้งที่มีการนำไปใช้

การกำหนดขนาดของแบตเตอรี่ มักกำหนดจากผลคูณของกระแสที่แบตเตอรี่จ่ายออกมากับเวลาที่แบตเตอรี่จ่ายกระแส มีหน่วยเป็น แอมแปร์-ชั่วโมง หรือ Ah (Ampere-hours) ซึ่งขึ้นอยู่กับขนาด และ อัตราประจุ/คายประจุ ของแบตเตอรี่ การเลือกแบตเตอรี่ต้องเลือกชนิดก่อน แล้วจึงเลือกขนาด ชนิดของแบตเตอรี่ต้องคำนึงความเหมาะสม ประสิทธิภาพ อายุการใช้งาน ตลอดจนการบำรุงรักษา สำหรับการเลือกขนาดจำเป็นต้องมีข้อมูลดังต่อไปนี้คือ

- กำลังโหลด (P)
- ช่วงเวลาเบรกอัพ (t_b)
- เพาเวอร์แฟคเตอร์ของโหลด (PF)
- ประสิทธิภาพของอินเวอร์เตอร์ (N_n)
- แรงดันต่ำสุดของอินเวอร์เตอร์ (V_{min})
- แรงดันต่ำสุดของแบตเตอรี่ คือ เซลล์ (end voltage หรือ voltage ($V_{i_{min}}/cell$))

แล้วจึงคำนวณตามขั้นตอนดังต่อไปนี้

กระแสออกสูงสุดของแบตเตอรี่ (i_B)

$$(i_B) = \frac{P \times PF}{N \times V_{min}} \quad \text{แอมแปร์}$$

จำนวนเซลล์ของแบตเตอรี่ ที่ต้องนำมาต่ออนุกรมกับ

$$N = \frac{V_{min} \times (V_{min} / CELL)}{\text{เซลล์}}$$

กำลังวัตต์ของแบตเตอรี่ แต่ละตัวที่ต้องจ่าย

$$\text{Wattles} = (P \times PF) / n \times n$$

การใช้งาน i_e ในการเลือกขนาดของเบคเตอร์เป็นการชดเชยความจุที่ลดลงของเบคเตอร์ เมื่ออายุการใช้งานมากขึ้นแล้ว เนื่องจากแรงดันเบคเตอร์ตอนจ่ายโพลมีค่าสูงกว่าแรงดันต่ำสุดที่ใช้คำนวณ แต่ถ้าไม่ต้องการเพื่อขนาดเบคเตอร์ก็สามารถใช้กำลังวัตต์ต่อเซลล์ในการเลือกได้

4.13 ทฤษฎีหม้อแปลง

จากที่ได้กล่าวมาแล้ว เมื่อมีกระแสไหลผ่านขดลวดที่พันรอบแกนบิคจะเกิดฟลักซ์เหนี่ยวนำในแกน ถ้ากระแสที่จ่ายให้มีการเปลี่ยนแปลงไปมาฟลักซ์จะเปลี่ยนไปมาด้วย ถ้าเรานำขดลวดอีกขดมาพันรอบแกนนี้จะเกิดแรงดัน และกระแสเหนี่ยวนำ เราเรียกว่า หม้อแปลง

รูปที่แสดงลักษณะหม้อแปลงแบบง่าย ๆ ขดลวดทางอินพุทเรียกว่า ขดปฐมภูมิ และเอาท์พุทเรียกว่า ทติยภูมิ ความสัมพันธ์ของจำนวนรอบขดลวด และแรงดันจะมีอัตราส่วนคงที่คือ

$$N_p / N_s = V_p / V_s \quad \dots\dots\dots(2)$$

N_p คือ V_p จำนวนรอบขดลวด และแรงดันด้านปฐมภูมิ

N_s คือ V_s จำนวนรอบของขดลวด และแรงดันด้านทติยภูมิ

แรงดันเหนี่ยวนำจะเป็นไปตามการเปลี่ยนแปลงของความหนาแน่นของฟลักซ์ ถ้าเราให้ B อยู่ในช่วงที่เป็นเส้นตรงเราจะได้

$$B_{max} = V_p \times 10^8 / K f N_p A_c \quad \dots\dots\dots(3)$$

เมื่อ B_{max} คือ ความหนาแน่นของฟลักซ์สูงสุด

V_p คือ แรงดันด้านปฐมภูมิ (โวลต์)

f คือ ความถี่ (เฮิรตซ์)

N_p คือ จำนวนรอบขดลวดปฐมภูมิ

A_c คือ พื้นที่หน้าตัดของแกน (ตารางเซนติเมตร)

K คือ ค่าคงที่มีค่า 4.44 สำหรับแรงดันรูปไซน์ และ 4.0 สำหรับแรงดันรูปสี่เหลี่ยม

ปกติค่า B_{max} จะเลือกที่ค่า $B_{ST}/2$ เพื่อให้แน่ใจว่าทำงานในช่วงที่เป็นเส้นตรง

ตัวประกอบที่สำคัญอีกสิ่งหนึ่ง คือ พื้นที่สำหรับการวางเส้นลวดการนำ ซึ่งปกติจะพันอยู่บนตัวบ็อบบิ้น (Bobbin) ค่านี้จะต้องเลือกให้เหมาะสมด้วย สำหรับความสามารถในการจ่ายกำลังของแกนเหล็กคำนวณจาก

$$P_{out} = (1.16B_{max}fdA_e A_c) \times 10^{-9} \quad \dots(4)$$

เมื่อ P_{out} คือ กำลังที่จ่ายให้ (วัตต์)

d คือ ความหนาแน่นของกระแสไฟฟ้าในลวดตัวนำ (แอมป์ต่อตารางเมตร)

A_e คือ พื้นที่หน้าตัดของแกน (ตารางเซ็นติเมตร)

A_c คือ พื้นที่สำหรับพันขดลวดบนบ็อบบิ้น (ตารางเซ็นติเมตร)

บางบริษัทพื้นที่ของบ็อบบิ้นใช้สัญลักษณ์ ω_a หรือหน้าตัดบ็อบบิ้น และความหนาแน่นของกระแสในสายใช้หน่วยเซอร์คูลาร์มิลล์ ต่อแอมป์ (c.m./A) ใช้สัญลักษณ์ D โดย

$$D = (1.27 \times 10^6) / D \quad \dots(5)$$

นำค่า D แทนลงในสมการ 4 จะได้

$$P_{out} = (1.47fB_{max} A_c A_e) \times 10^{-3} / D \quad \dots(6)$$

ค่า D จะเทียบกับค่า 1000 เซอร์คูลาร์มิลล์ต่อแอมป์ ในปฏิบัติจะใช้ค่าเพียง 200-400 เพื่อความปลอดภัยของสาย

สมการที่ 6 นี้ใช้สำหรับคำนวณ และเลือกหาขนาดของแกนที่ใช้พันขดลวด

4.14 การเลือกลักษณะแกนและชนิดของวัสดุ

วัสดุที่ทำเป็นแกนหม้อแปลงทั่วไป สามารถทำเป็นแกนหม้อแปลงความถี่สูงได้ แต่ที่นิยมใช้มากที่สุดคือ วัสดุเฟอร์ไรต์ เพราะความหนาแน่นของฟลักซ์อยู่ในช่วง 3000-5000 เกาส์ มีการสูญเสียต่ำ ประกอบง่าย แกนเฟอร์ไรต์มีรูปร่าง และขนาดมากมายมีลักษณะแกนที่เป็น EE, EI, EC ซึ่งใช้กับกำลังไฟสูงๆ และแกนฟอยด์ (POT) เหมาะสำหรับใช้กับกำลังไฟปานกลาง (20-200 วัตต์) ตารางที่ 1 แสดงแกนเฟอร์ไรต์ของบริษัทต่างๆ ตารางที่ 2 แสดงขนาดของสายที่ใช้พันตามมาตรฐาน AWG (American Wire Gauge)

4.15 ขั้นตอนการออกแบบ

- เลือกวัสดุที่ใช้ทำแกนและลักษณะแกน
- เลือก B_{max} จากแผ่นข้อมูลของวัสดุที่เราเลือก โดยจากแผ่นข้อมูลเราจะได้อ่านค่า B_{sat} ที่ 100C เราจะเลือกค่า B_{max} ที่แรงดันไฟสลับค่าต่ำสุดที่อยู่ในช่วงทำงานให้มีค่าน้อยกว่า B_{sat} เล็กน้อย
- คำนวณหากระแสสูงสุดของหม้อแปลงด้านปฐมภูมิ I_p ขณะที่แรงดันไฟสลับค่าต่ำสุด

$$i_p = (P_{out} / \eta) * 1 / V_m$$

- เลือกขนาดของแกน และ Bobbin จากสมการที่ 5 การเลือกพื้นที่หน้าตัดของแกน ในการทำงานจริง และพื้นที่หน้าตัด Bobbin ปกติจะให้สูงกว่าค่าที่คำนวณไว้อย่างน้อย 50%
- เลือกขนาดของสาย และจำนวนรอบด้านปฐมภูมิ

$$\text{ขนาดของสาย} = \text{ความหนาแน่นของกระแสในสาย} \times I_p$$

ในทางปฏิบัติขดลวดปฐมภูมิ จะกินพื้นที่ 30% ของ Bobbin ถ้าพันแล้วขดลวดปฐมภูมิต่ำกว่า 60 รอบ ขนาดของ Bobbin จะใช้ได้

$$\text{จำนวนรอบ } N = V_{in_{min}} (DC) / 4 \beta_{max} \Delta V_A$$

$$\text{โดย } V_{in_{min}} = 2V_{min} (ac)$$

ΔV คือ แรงดันกระเพื่อมหลังจากการกรอง

- คำนวณหา B_{max} ที่ V_{in} ค่าสูงสุด

$$\beta_{max} = V_p \cdot 10^8 / 4fN_p A_0$$

- คำนวณหาขนาดของด้านทุติยภูมิ ซึ่งมีค่าเท่ากับ ความหนาแน่นของกระแสด้านทุติยภูมิ กับกระแสทุติยภูมิ เทียบตารางหาขนาดด้วย
- ตรวจสอบความแน่นพอดี ของการพันขดลวดปฐมภูมิ และทุติยภูมิโดยคิดจากความกว้างของ Bobbin หาด้วยเส้นผ่านศูนย์กลางของสาย เพื่อหาจำนวนชั้นได้ ก็หาความหนาของชั้น โดยเท่ากับจำนวนชั้น คูณขนาดสาย หาทั้งทางปฐมภูมิ และทุติยภูมิ แล้วนำมาบวกกัน พิจารณาว่าความหนาน้อยกว่าความสูงของ Bobbin หรือไม่

4.16 ตารางที่ 1 แกนเฟอร์ไรต์บริษัทต่างๆ

Material	Manufacturer
3C8	Ferroxcube
24B	Stackpole
77	Fair-Rite Products
F.T.	Magnetics, Inc.
H7C1	TDK
N27	Siemens

4.17 POWER STATE

ในวงจรกำลัง จะเป็นลักษณะของวงจรเพาเวอร์ และเป็นส่วนจ่ายพลังไฟฟ้าให้กับโหลด โดยใช้เพาเวอร์มอสเฟตเป็นอุปกรณ์ในการสวิตช์

จากสัญญาณที่ออกจากวงจร DRIVE CIRCUIT จะถูกป้อนให้กับวงจร POWER STATE โดยให้กับขา GATE แต่ละตัว

หลักการในการออกแบบวงจร POWER STATE มีไว้เพื่อ SET UP มีการต่อ BRIDGE คร่อมไว้ที่มอสเฟต การต่ออย่างนี้จะทำให้ มอสเฟต สามารถสวิตช์กระแสได้ทั้ง 2 ทิศทาง จากปกติ มอสเฟตจะสวิตช์ สัญญาณได้ทางเดียวทำไมเราจึงสวิตช์ 2 ทาง เนื่องจากทางด้าน เอชท์พุท ที่ออกจากหม้อแปลงนั้นมีทั้งไปไฟบวกและลบ ซึ่งเปรียบเสมือนมีกระแสทั้ง 2 ด้าน ที่จ่ายให้ วงจรสวิตช์

ดังนั้น G3, G4, G5, G6 จำเป็นต้องใช้สวิตช์ 2 ทาง เพื่อให้ได้รูปสัญญาณที่เราต้องการจาก สัญญาณที่ได้ก็นำไปผ่านวงจรกรองความถี่ต่ำเพื่อให้ได้กระแสสลับ 50HZ, 220 โวลท์

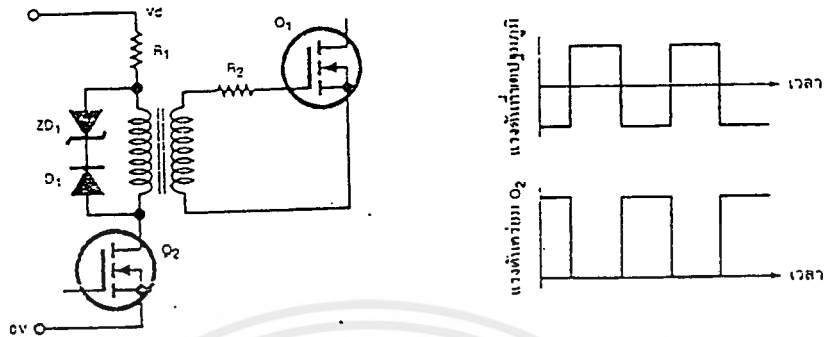
4.18 วงจรขับเกท

การสวิตช์ของมอสเฟตเกิดจากการเก็บประจุและการคายประจุค่าความจุภายในตัวมอสเฟต (C_{iss}) ที่อยู่ระหว่างขานเกตและขาซอร์ส ซึ่งจะมีค่าความจุมากขึ้นตามขนาดของมอสเฟตโดยจะอยู่ในช่วง 1-2 nF แรงดันที่ป้อนเข้าที่ขาเกตและซอร์สขนาด 6 โวลต์ ก็เพียงพอที่จะทำให้มอสเฟตทั่วไปนำกระแสได้แล้ว แต่ถ้าเพิ่มแรงดันนี้ขึ้นอีก มอสเฟตก็จะมีค่า $R_{DS(on)}$ ที่ต่ำลงไปอีก ที่เวลาของการสวิตช์ 50 nS และ C_{iss} มีค่า 2 nF จะต้องป้อนแรงดันที่เกตซอร์สให้มีกระแสซิงค์และกระแสซอร์สสูงสุดได้ 0.5 A แต่เป็นกระแสที่ต้องการในช่วงเวลาของการสวิตช์เท่านั้น กำลังที่ใช้ในการขับเกทหาได้จากสมการ

$$P_G = Q_G \cdot V_{GS} \cdot f$$

โดยที่	Q_G	คือประจุสูงสุดที่เกต
	V_{GS}	คือแรงดันสูงสุดตกคร่อมเกต-ซอร์ส
	f	คือค่าความถี่ในการสวิตช์

ในการใช้งานมอสเฟตเพื่อขับวงจรแบบบริดจ์ เกทของมอสเฟตแต่ละตัวจะต้องต่อไม่ถึงกันโดยตรงกับเกทของตัวอื่นๆ ดังนั้นวงจรขับเกทจึงต้องมีการแยกกันทางไฟฟ้า อิมพีแดนซ์ของวงจรขับก็สำคัญเพราะถ้ามีค่าสูงแล้วจะทำให้การเปลี่ยนแปลงแรงดันอย่างรวดเร็วที่เกิดขึ้นที่เดรนก่อให้เกิดผล dv/dt ที่สูงเกิดกระแสประจุให้กับ C_{gd} ที่อยู่ภายในมอสเฟตตรงจังก์ชันเดรน-เกต กระแสนี้จะทำให้เกิดแรงดันคร่อมวงจรขับได้ ถ้าวจรขับมีอิมพีแดนซ์ที่สูงเกินไปจะทำให้เกทของมอสเฟตถูกกระตุ้นได้ด้วยแรงดันนี้ เกิดการนำกระแสโดยไม่ต้องการ



รูปที่ 4.16 (ก) การใช้หม้อแปลงพลังในการแยกกันทางไฟฟ้า

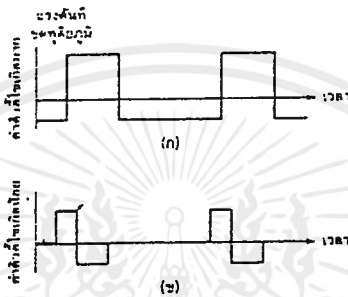
(ข) รูปคลื่นที่หม้อแปลงพลัง

รูปที่ 4.16 (ก) แสดงวงจรที่ใช้หม้อแปลงพลังเป็นตัวแยกทางไฟฟ้า เมื่อ Q_2 นำกระแสจะมีแรงดันตกคร่อมหม้อแปลงพลังที่ขดปฐมภูมิ กระแสที่ไหลผ่าน Q_2 ประกอบด้วยกระแสขั้วเกตสำหรับ Q_1 และกระแสขั้วของหม้อแปลงพลัง จากรูปคลื่นของกระแสและแรงดันในรูปที่ 5.12 (ข) จะเห็นได้ว่า หลังจากการนำกระแสของ Q_2 แล้ว แรงดันตกคร่อมตัวมันจะเพิ่มเป็น $V_D + V_Z$ โดยที่ V_Z คือ แรงดันตกคร่อมซีเนอริไดโอด แรงดัน V_Z ที่ตกคร่อมหม้อแปลงพลังจะเป็นตัวรีเซตฟลักซ์แม่เหล็กบนแกน ดังนั้นแรงดันสุทธิที่ด้านทุติยภูมิจะเป็นศูนย์ตลอดช่วงเวลานี้ สำหรับจำนวนรอบต่ำสุดที่พันทางขดปฐมภูมิหาได้จากสมการ

$$N = V \cdot t / B \cdot A_0$$

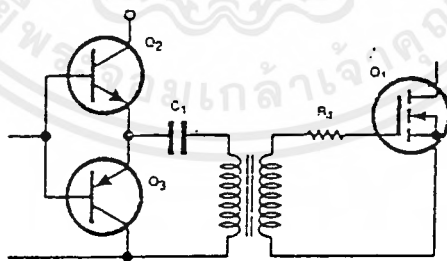
- โดยที่ B คือค่าความเข้มของฟลักซ์แม่เหล็กสูงสุด
- A_0 คือพื้นที่ภาคตัดขวางของแกน
- t คือช่วงเวลาที Q_2 นำกระแส

วงจรในรูปที่ 4.16 (ก) เหมาะที่จะใช้กับการทำงานในแบบควิตซ์ไซ้เกิดคงที่ ซีเนอร์ไดโอดที่ใช้ต้องสามารถรับแรงดันที่เกิดจากฟลักซ์แม่เหล็กได้เพื่อรีเซตฟลักซ์นี้ ถ้าควิตซ์ไซ้เกิดที่ป้อนให้วงจรนี้มีค่าน้อยกว่าที่กำหนดในช่วงที่ไม่มีฟลักซ์เข้ามาจะได้รับแรงดันที่เอาท์พุทที่ขดทุติยภูมิดังรูปที่ 4.16 (ข) ตัวเก็บประจุในรูปที่ 4.18 ทำหน้าที่กันไฟตรงไม่ให้เข้าไปในหม้อแปลง



รูปที่ 4.17 รูปคลื่นจากวงจรในรูปที่ 4.16

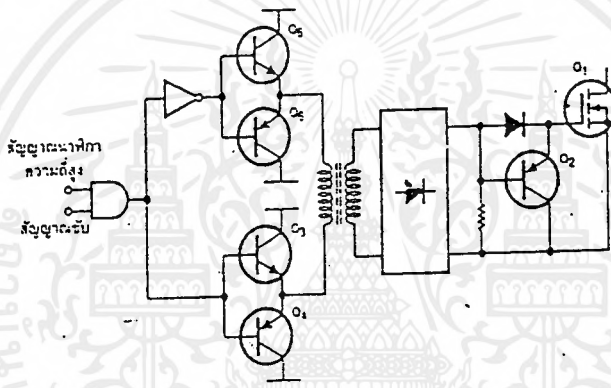
- (ก) เมื่อค่าควิตซ์ไซ้เกิดมาก
- (ข) เมื่อค่าควิตซ์ไซ้เกิดน้อย



รูปที่ 4.18 วงจรที่ใช้ตัวเก็บประจุกั้นแรงดันไฟตรงที่มีในพัลส์ขั้ว

สิ่งที่ได้กล่าวแล้วว่าวงจรขับที่ใช้หม้อแปลงนี้ เหมาะสำหรับการใช้งานในพัลส์ที่มีควิตซ์ไอซ์เกิดคงที่เท่านั้นเพราะถ้าหากควิตซ์ไอซ์เกิดเปลี่ยนไปจะทำให้แรงดันที่ขับเกทในขณะที่มอสเฟตหยุดนำกระแสไม่ได้มีค่าเดียว นอกจากนี้ยังทำให้เวลาในการสวิตช์ และค่า dv/dt เปลี่ยนแปลงไปด้วย การแก้ไขสามารถกระทำได้ดังรูปที่ 4.20

รูปที่ 4.20 สัญญาณขับและสัญญาณนาฬิกาความถี่สูงจะถูกป้อนเข้าที่แอนเกท และยังหากสัญญาณนาฬิกามีความถี่สูงกว่าในการสวิตช์ของ Q_1 แล้ว จะทำให้หม้อแปลงที่ใช้มีขนาดเล็กลงด้วย ความถี่สูงจากหม้อแปลงจะถูกเรกติไฟร์ Q_2 ทำหน้าที่คายประจุให้กับ Q_1 ขณะไม่มีควิตซ์สูงเข้ามาที่หม้อแปลง



รูปที่ 4.20 วงจรขับที่ทำให้ลดขนาดของหม้อแปลงพัลส์ลงได้

เนื่องจากในโครงการนี้จะใช้ขับเกทด้วยสัญญาณพัลส์ที่มีความถี่ประมาณ 100 กิโลเฮิร์ต เพราะฉะนั้นครีตกาบของสัญญาณนาฬิกาจะมีค่า $5 \mu s$ (เมื่อไม่คิดช่วงเดดไทม์) ค่าเวลาไต่ขึ้น (rise time) ของสัญญาณควรมีค่าไม่มากกว่า 1% ของครีตกาบเวลา ดังนั้นเวลาไต่ขึ้นควรมีค่าน้อยกว่า $5/100 = 50 ns$ โดยที่ระดับแรงดันที่ขาเกทมีค่า 9.1 โวลท์

$$\begin{aligned}
 I_g &= C \cdot dV / dt \\
 &= (1 * 10^{-9}) * 9.1 / (50 * 10^{-9}) \\
 &= 0.182 A
 \end{aligned}$$

ถ้าใช้มอเตอร์ 4 ตัวขนานกัน จะต้องใช้กระแสเกท $I_g = 0.182 \times 4 = 0.728 \text{ A}$
ดังนั้นวงจรขับเคลื่อนควรมีลักษณะดังนี้

1. สามารถจ่ายกระแสให้กับโหลดได้อย่างเพียงพอ
2. มีค่าเฉลี่ยโวลต์น้อย
3. แยกเกทของมอเตอร์แต่ละตัวออกจากกัน
4. ทำงานได้ดีในย่านความถี่สูง



**TABLE 3 — Switching Speeds
of Various MOS Gate Drivers**

		Gate Switching Times (ns)				Drain Switching Times (ns)				
		Turn-on Delay (V_{in} vs V_1)	Turn-on Rise Time	Turn-off Delay (V_{in} vs V_1)	Turn-off Fall Time	Turn-on Delay (V_{in} vs V_2)	Turn-on Fall Time	Turn-off Delay (V_{in} vs V_2)	Turn-off Rise Time	
Circuit 1 Simple Pulse Transformer		15	85	35	230	25	25	185	20	
Circuit 2 Six Paralleled CMOS Inverters (MC14049UB)		30	920	20	130	100	160	90	30	
Circuit 3 Pulse Transformer w/Speed-up Diode		Without Diode D1	60	1600	280	1100	220	340	660	230
		With Diode D1	30	95	220	1250	60	35	640	230

เอกสารนี้เป็นเอกสารที่สงวนไว้สำหรับการใช้งานเพื่อการศึกษาเท่านั้น ไม่อนุญาตให้นำไปใช้ประโยชน์ด้านการค้า ไม่ว่ากรณีใดๆ ทั้งสิ้น อีกทั้งห้ามมิให้ดัดแปลงเนื้อหาและต้องอ้างอิงถึงเจ้าของเอกสารทุกครั้งที่มีการนำไปใช้

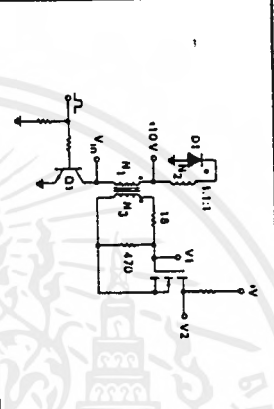
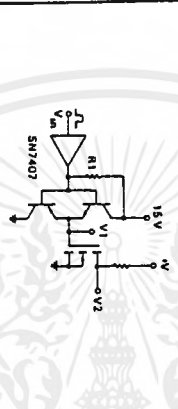
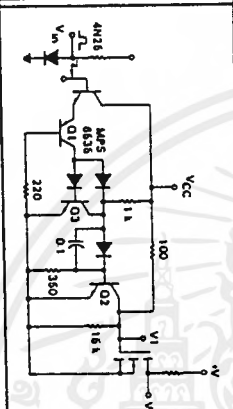
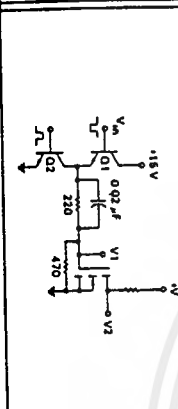
		Gate Switching Times (ns)				Drain Switching Times (ns)			
		Turn-on Delay (V_{in} vs V_{o1})	Turn-on Rise Time	Turn-off Delay (V_{in} vs V_{o1})	Turn-off Fall Time	Turn-on Delay (V_{in} vs V_{o2})	Turn-on Fall Time	Turn-off Delay (V_{in} vs V_{o2})	Turn-off Rise Time
Circuit 4 Quasi-Push-Pull Transformer Drive		15	85	40	230	30	25	160	35
Circuit 5 Standard Opto-Coupling Circuit		3900	460	1600	140	4000	80	1750	20
Circuit 6 High B.W. Opto-Coupling Circuit		3700	420	450	120	3800	75	520	20
Circuit 7 High Performance Push-Pull Circuit		20	60	25	30	30	20	45	15

TABLE 3 — Switching Speeds of Various CMOS Gate Drives (continued)

		Gate Switching Times (ns)				Drain Switching Times (ns)			
		Turn-on Delay (V_{in} vs V_{o1})	Turn-on Rise Time	Turn-off Delay (V_{in} vs V_{o1})	Turn-off Fall Time	Turn-on Delay (V_{in} vs V_{o2})	Turn-on Fall Time	Turn-off Delay (V_{in} vs V_{o2})	Turn-off Rise Time
Circuit 8 High Performance Push-Pull Circuit		20	60	45	70	40	25	85	15
Circuit 9 Low Power Schottky TTL		110	5000	60	600	480	1000	375	150
Circuit 10 Paralleled Low Power Schottky TTL		45	1800	30	210	180	310	140	50
Circuit 11 Paralleled SN7407 Buffers with Pull-Up Resistance		25	710	30	140	60	60	130	30

เอกสารนี้เป็นเอกสารที่สงวนไว้สำหรับการใช้งานเพื่อการศึกษาเท่านั้น ไม่อนุญาตให้นำไปใช้ประโยชน์ด้านการค้า ไม่ว่าจะกรณีใดๆ ทั้งสิ้น อีกทั้งห้ามมิให้ดัดแปลงเนื้อหาและต้องอ้างอิงถึงเจ้าของเอกสารทุกครั้งที่มีการนำไปใช้

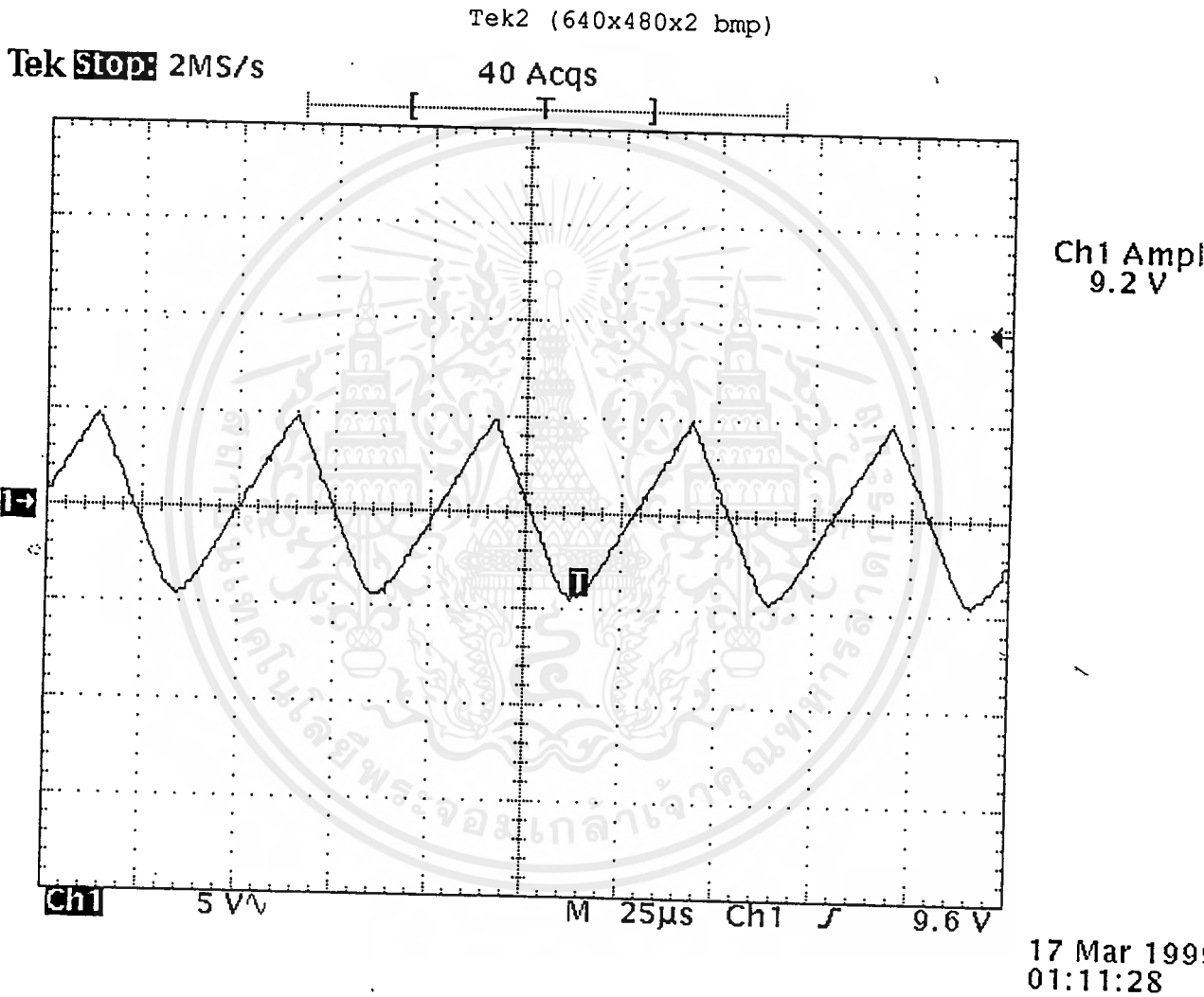
บทที่ 5

การทดลองและผลการทดลอง

ในการทำอินเวอร์เตอร์หลักที่สำคัญคือ สัญญาณ PWM ซึ่งเป็นหัวใจของการทำอินเวอร์เตอร์ และเป็นตัวควบคุมการทำงานของ POWER MOSFET จากการทดลองในวงจรนี้จะใช้แหล่งกำเนิดสัญญาณจาก IC TL494 เพราะสัญญาณทุกจุดจะซิงค์ไปถึงกัน ในการกำหนดแรงดันด้านไฟสลับเอาท์พุทจะขึ้นอยู่กับแรงดันดีซีและหม้อแปลงขับกำลัง ก็สามารถกำหนดแรงดันเอาท์พุทได้ตามต้องการ ในการทดลองใช้แรงดันอินพุท 1 โวลท์จะได้เอาท์พุท 8 โวลท์ จากการทดลองจะได้ผลของรูปสัญญาณ ณ จุดต่างๆ ดังรูป

ในส่วนของอินเวอร์เตอร์จะใช้เทคนิคการสร้างโดยใช้สัญญาณซายน์มอดด์กับสัญญาณสามเหลี่ยมจาก TL494 เกิดเป็น PWM ขึ้นมาซึ่งจะนำสัญญาณที่ได้ไปควบคุม POWER MOSFET ให้ทำงานตามทฤษฎี

ในการมอดด์แบบอนาส็อกสัญญาณที่ได้จะมีความผิดพลาดหรือไม่เสถียรภาพซึ่งแนวทางในการแก้ไขควรจะใช้การมอดด์แบบอนาส็อกเพื่อให้ได้สัญญาณควบคุมที่เสถียรภาพและดีกว่า

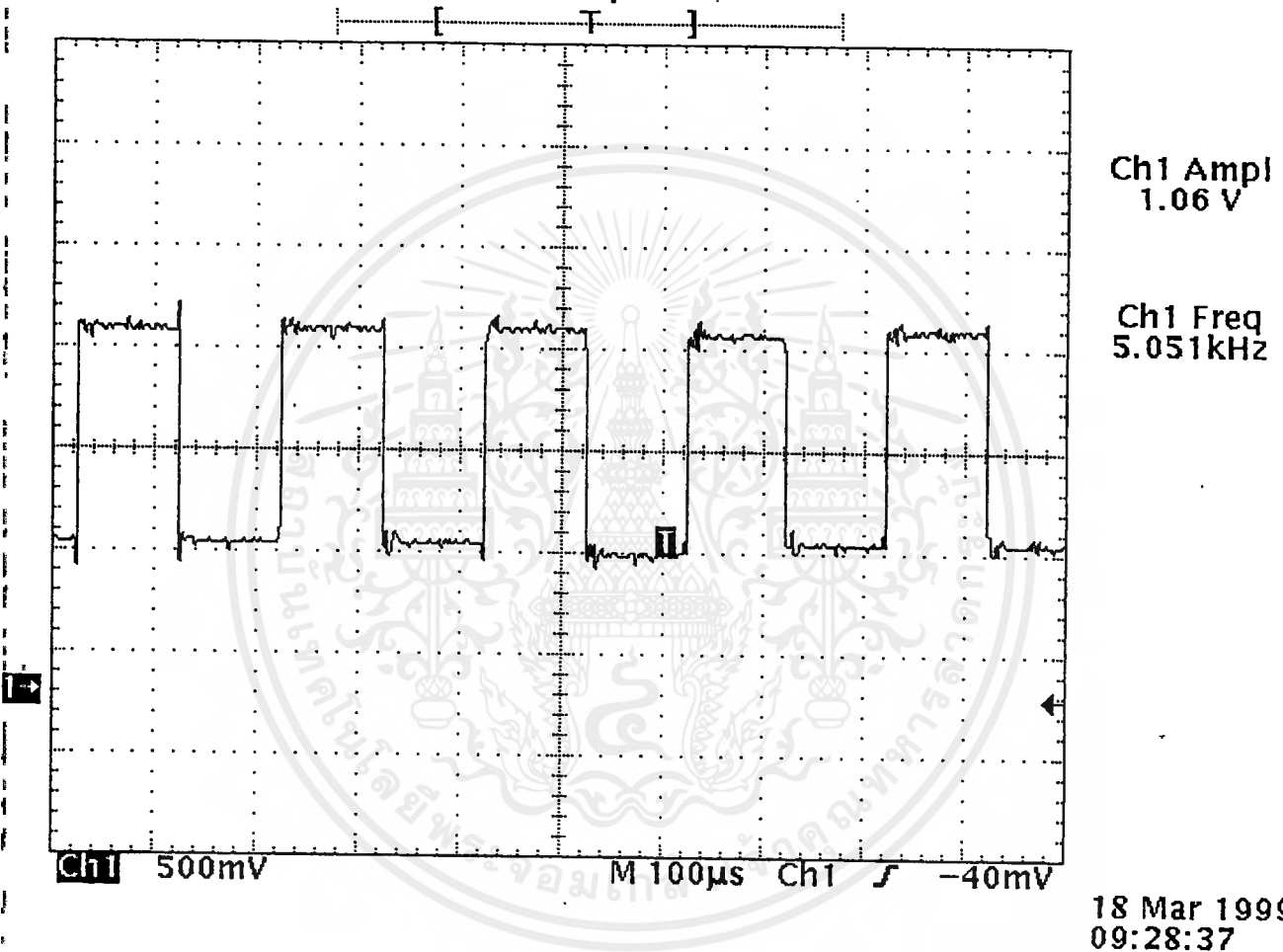


รูปที่ 5.1 สัญญาณพินเลี้ยงจากขาที่ 6 ของ IC 741

เอกสารนี้เป็นเอกสารที่สงวนไว้สำหรับการใช้งานเพื่อการศึกษาเท่านั้น ไม่อนุญาตให้นำไปใช้ประโยชน์ด้านการค้า
ไม่ว่ากรณีใดๆ ทั้งสิ้น อีกทั้งห้ามมิให้ตัดแปลงเนื้อหาและต้องอ้างอิงถึงเจ้าของเอกสารทุกครั้งที่มีการนำไปใช้

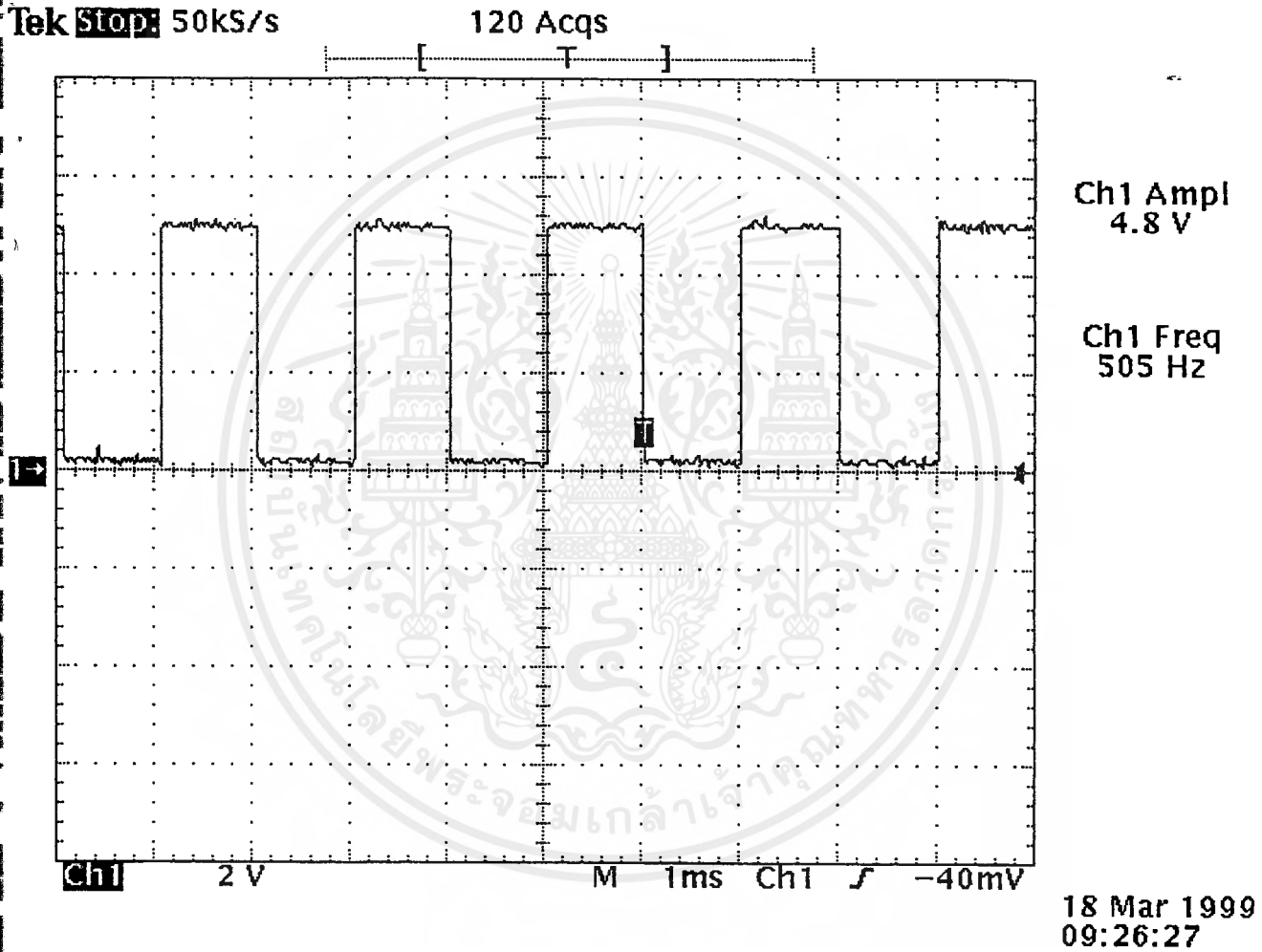
Tek Stop: 500kS/s

235 Acqs



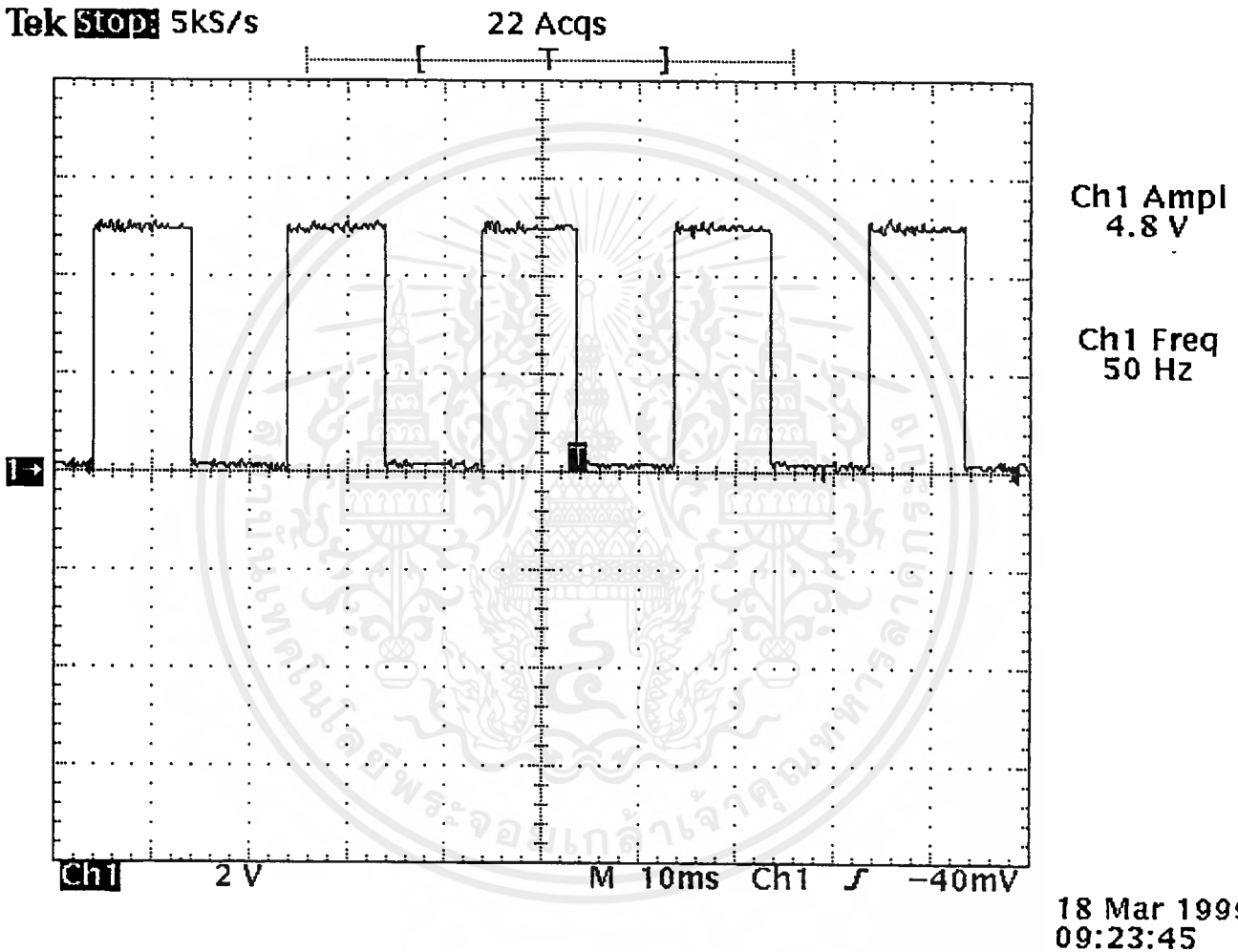
รูปที่ 5.2 สัญญาณพัลส์ จาก IC 14024

เอกสารนี้เป็นเอกสารที่สงวนไว้สำหรับการใช้งานเพื่อการศึกษาเท่านั้น ไม่อนุญาตให้นำไปใช้ประโยชน์ด้านการค้า
ไม่ว่ากรณีใดๆ ทั้งสิ้น อีกทั้งห้ามมิให้ดัดแปลงเนื้อหาและต้องอ้างอิงถึงเจ้าของเอกสารทุกครั้งที่มีการนำไปใช้



รูปที่ 5.3 สัญญาณพัลส์ จาก IC 74LS90 ตัวที่ 1

เอกสารนี้เป็นเอกสารที่สงวนไว้สำหรับการใช้งานเพื่อการศึกษาเท่านั้น ไม่อนุญาตให้นำไปใช้ประโยชน์ด้านการค้า
ไม่ว่ากรณีใดๆ ทั้งสิ้น อีกทั้งห้ามมิให้ดัดแปลงเนื้อหาและต้องอ้างอิงถึงเจ้าของเอกสารทุกครั้งที่มีการนำไปใช้

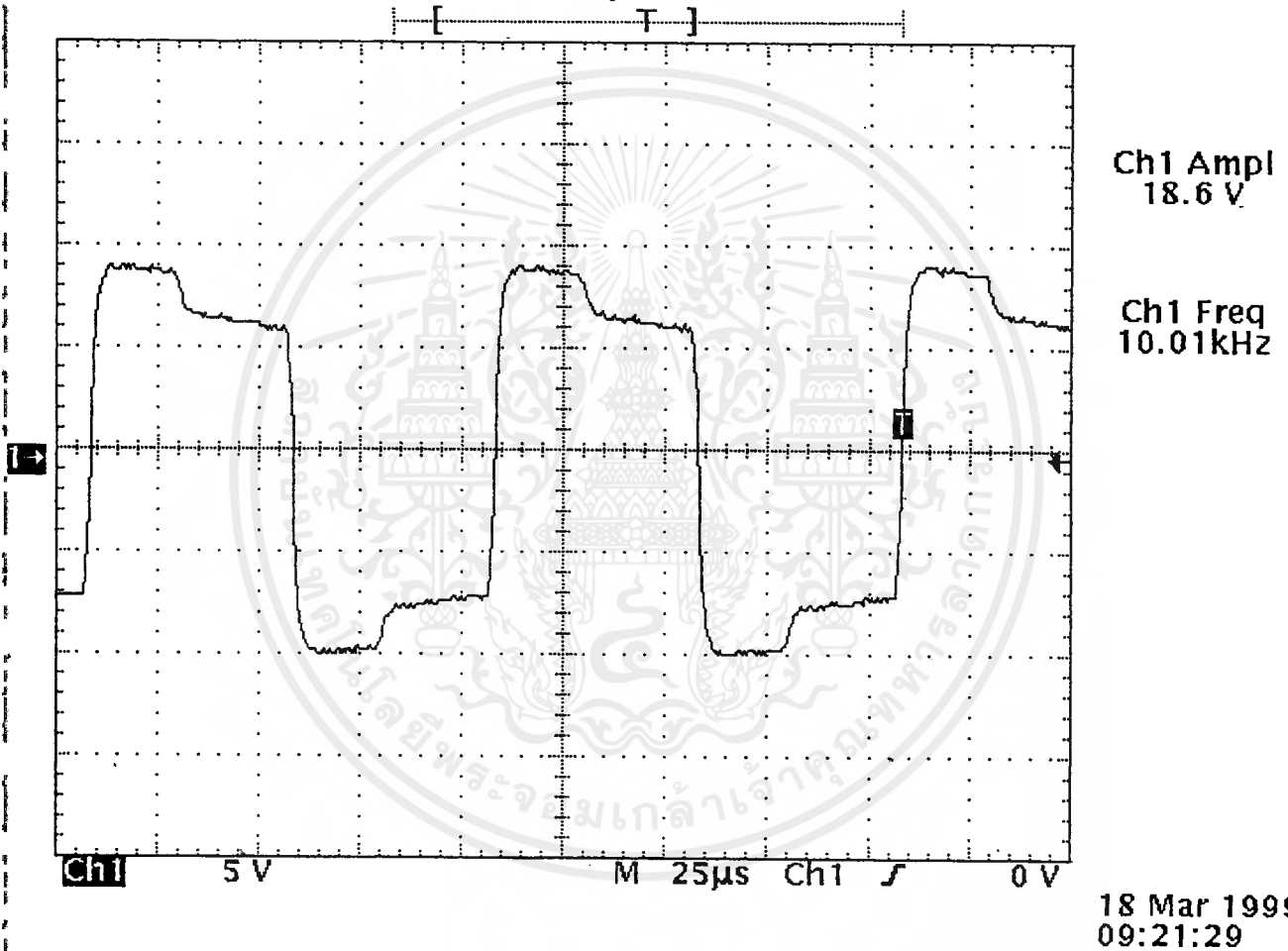


รูปที่ 5.4 สัญญาณพัลส์ จาก IC 74LS90 ตัวที่ 2

เอกสารนี้เป็นเอกสารที่สงวนไว้สำหรับการใช้งานเพื่อการศึกษาเท่านั้น ไม่อนุญาตให้นำไปใช้ประโยชน์ด้านการค้า
ไม่ว่ากรณีใดๆ ทั้งสิ้น อีกทั้งห้ามมิให้ดัดแปลงเนื้อหาและต้องอ้างอิงถึงเจ้าของเอกสารทุกครั้งที่มีการนำไปใช้

Tek Stop: 2MS/s

303 Acqs

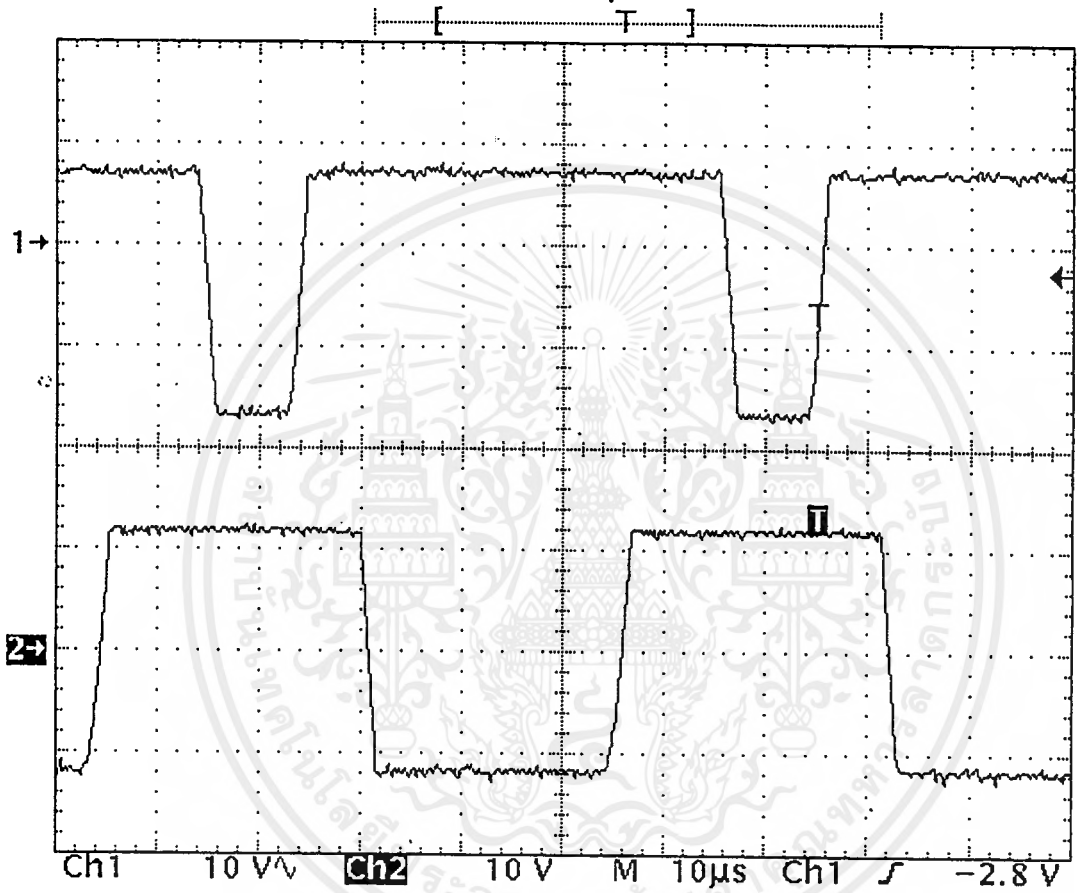


รูปที่ 5.6 สัญญาณควบคุม ที่ขา เกท ซอสของ Q2

เอกสารนี้เป็นเอกสารที่สงวนไว้สำหรับการใช้งานเพื่อการศึกษาเท่านั้น ไม่อนุญาตให้นำไปใช้ประโยชน์ด้านการค้า
ไม่ว่ากรณีใดๆ ทั้งสิ้น อีกทั้งห้ามมิให้ดัดแปลงเนื้อหาและต้องอ้างอิงถึงเจ้าของเอกสารทุกครั้งที่มีการนำไปใช้

Tek Stop: 5MS/s

77 Acqs



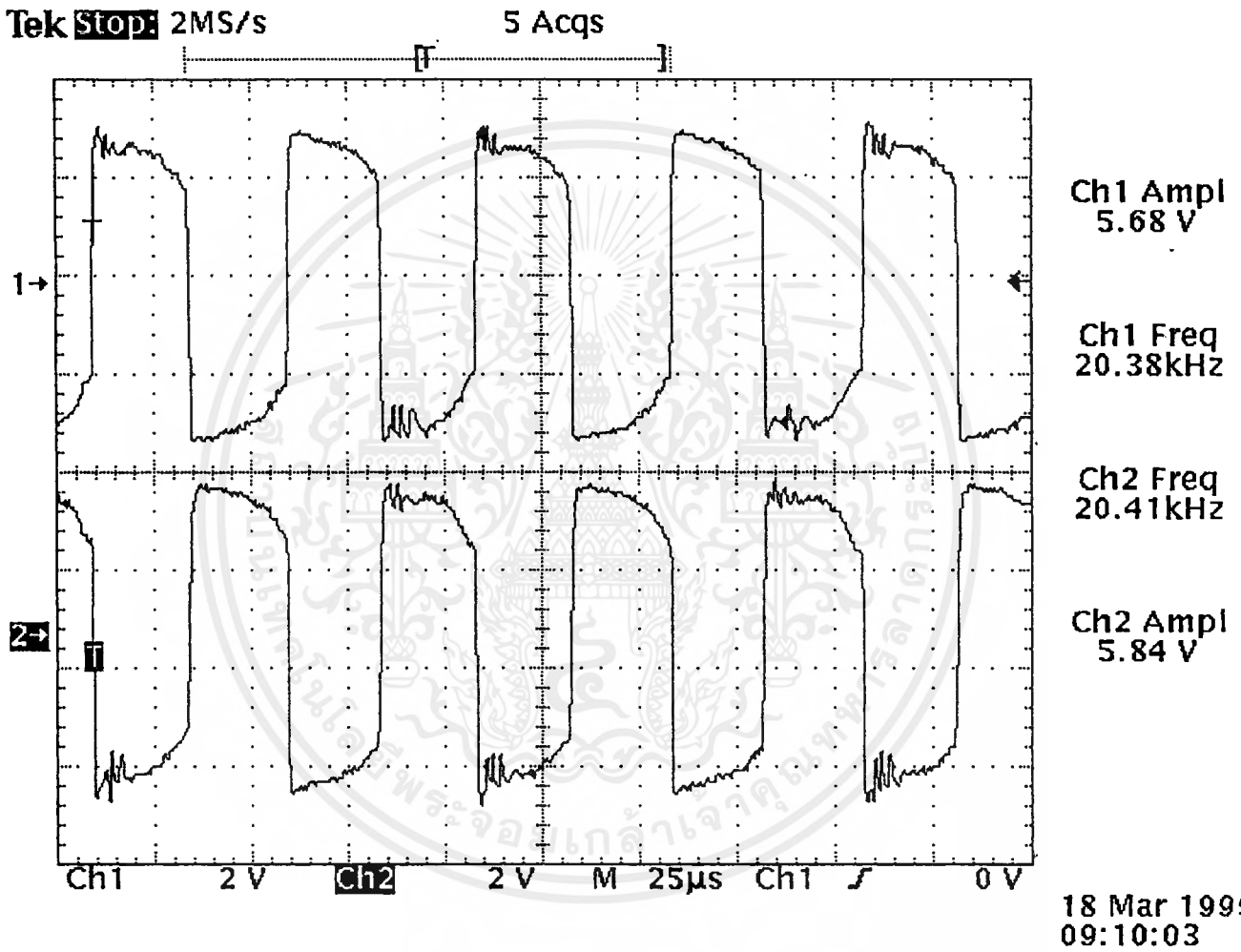
Ch1 Ampl
24 V

Ch2 Ampl
23.6 V

17 Mar 199
01:31:55

รูปที่ 5.7 สัญญาณที่ได้จากการเปรียบเทียบ SINE กับ SAWTOOTH

เอกสารนี้เป็นเอกสารที่สงวนไว้สำหรับการใช้งานเพื่อการศึกษาเท่านั้น ไม่อนุญาตให้นำไปใช้ประโยชน์ด้านการค้า ไม่ว่ากรณีใดๆ ทั้งสิ้น อีกทั้งห้ามมิให้ดัดแปลงเนื้อหาและต้องอ้างอิงถึงเจ้าของเอกสารทุกครั้งที่มีการนำไปใช้

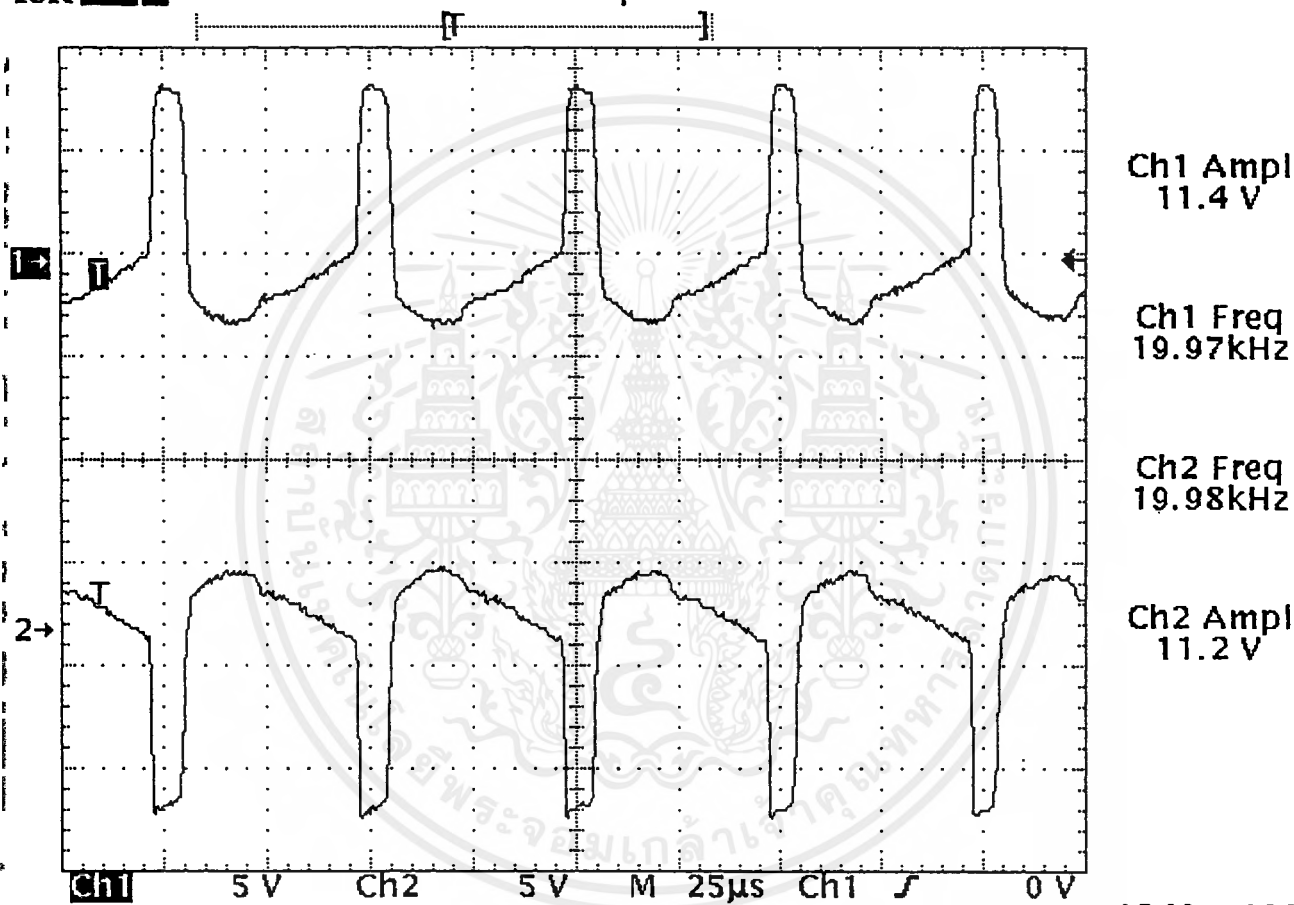


รูปที่ 5.8 สัญญาณที่ขา เกท ซอส Q3,Q4

เอกสารนี้เป็นเอกสารที่สงวนไว้สำหรับการใช้งานเพื่อการศึกษาเท่านั้น ไม่อนุญาตให้นำไปใช้ประโยชน์ด้านการค้า
ไม่ว่ากรณีใดๆ ทั้งสิ้น อีกทั้งห้ามมิให้ดัดแปลงเนื้อหาและต้องอ้างอิงถึงเจ้าของเอกสารทุกครั้งที่มีการนำไปใช้

Tek Stop: 2MS/s

8 Acqs

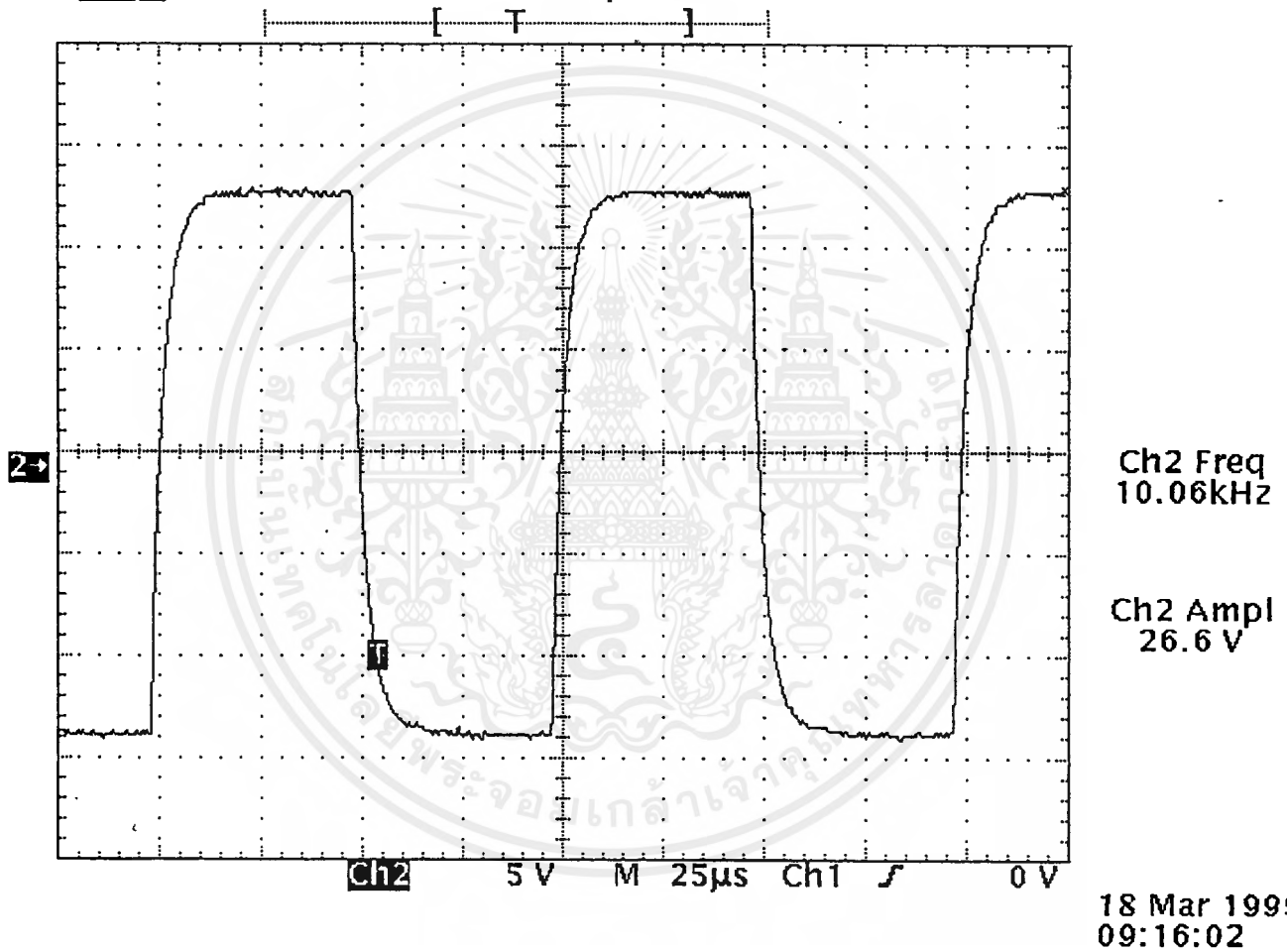
18 Mar 1999
09:13:41

รูปที่ 5.9 สัญญาณที่ขา เกท ซอส Q5,Q6

เอกสารนี้เป็นเอกสารที่สงวนไว้สำหรับการใช้งานเพื่อการศึกษาเท่านั้น ไม่อนุญาตให้นำไปใช้ประโยชน์ด้านการค้า
ไม่ว่ากรณีใดๆ ทั้งสิ้น อีกทั้งห้ามมิให้ดัดแปลงเนื้อหาและต้องอ้างอิงถึงเจ้าของเอกสารทุกครั้งที่มีการนำไปใช้

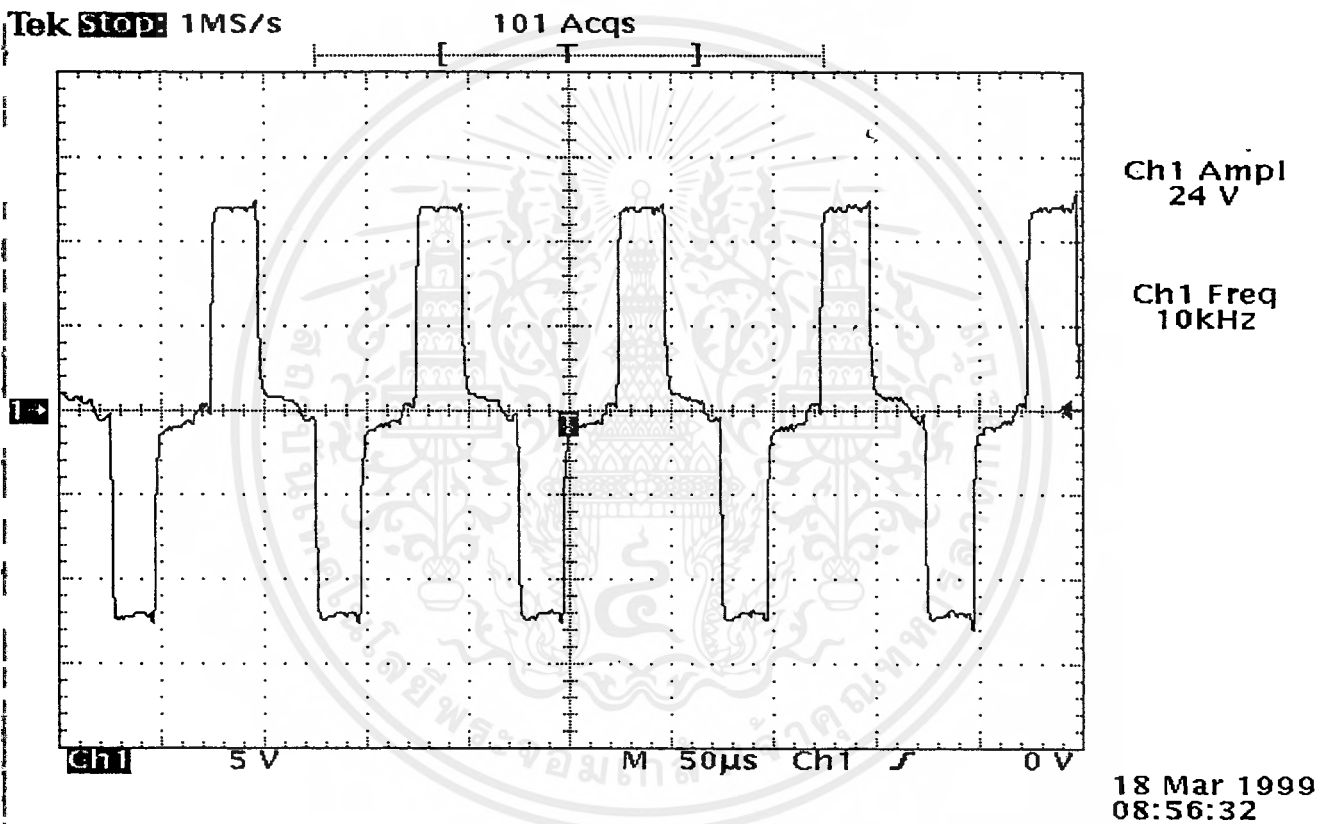
Tek Stop: 2MS/s

14 Acqs



รูปที่ 5.10 สัญญาณพัลส์จากหม้อแปลงPOWER STATEทางด้านเข้าที่พุทเมื่อ $V_{in} = 3.3\text{V}$

เอกสารนี้เป็นเอกสารที่สงวนไว้สำหรับการใช้งานเพื่อการศึกษาเท่านั้น ไม่อนุญาตให้นำไปใช้ประโยชน์ด้านการค้า
ไม่ว่ากรณีใดๆ ทั้งสิ้น อีกทั้งห้ามมิให้ดัดแปลงเนื้อหาและต้องอ้างอิงถึงเจ้าของเอกสารทุกครั้งที่มีการนำไปใช้

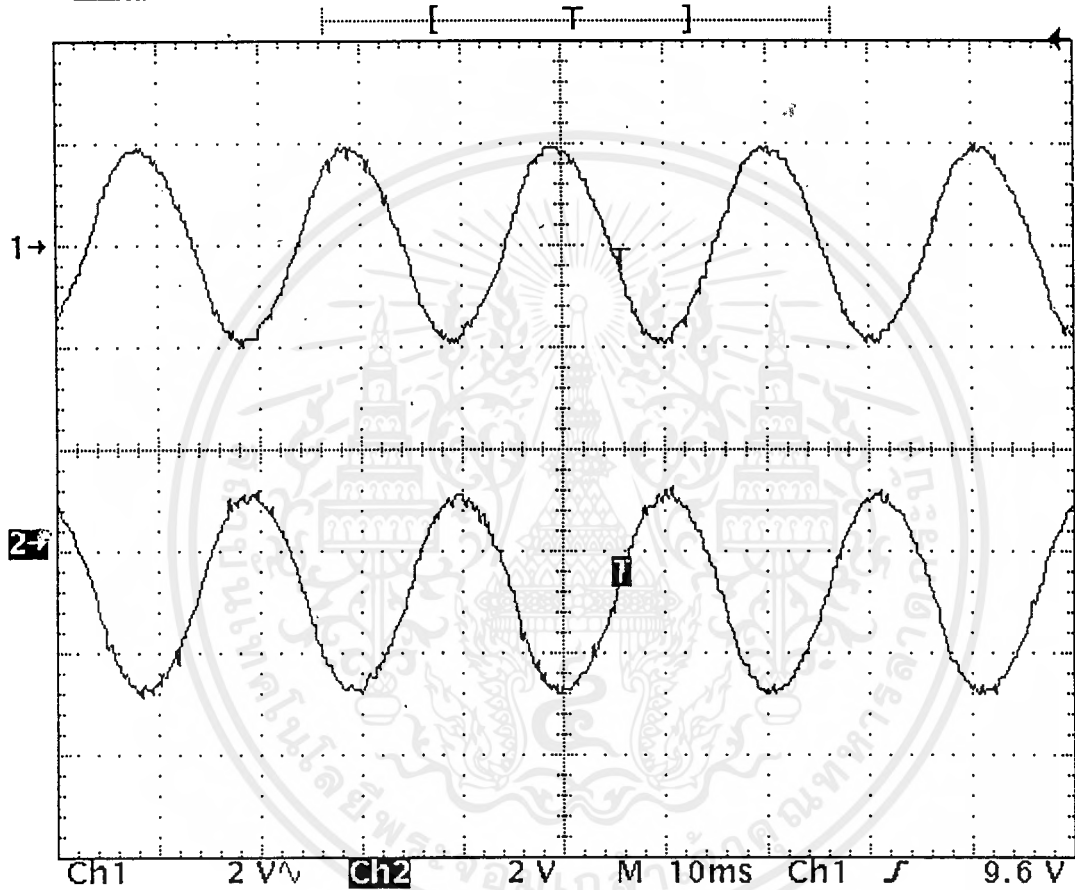


รูปที่ 5.11 สัญญาณที่ได้จากภาค POWER STATE

เอกสารนี้เป็นเอกสารที่สงวนไว้สำหรับการใช้งานเพื่อการศึกษาเท่านั้น ไม่อนุญาตให้นำไปใช้ประโยชน์ด้านการค้า
ไม่ว่ากรณีใดๆ ทั้งสิ้น อีกทั้งห้ามมิให้ดัดแปลงเนื้อหาและต้องอ้างอิงถึงเจ้าของเอกสารทุกครั้งที่มีการนำไปใช้

Tek Stop: 5kS/s

13 Acqs

Ch1, Amp
3.76 VCh2 Amp
3.68 V17 Mar 19
01:06:52

รูปที่ 5.12 สัญญาณ SINE WAVE 50 Hz

เอกสารนี้เป็นเอกสารที่สงวนไว้สำหรับการใช้งานเพื่อการศึกษาเท่านั้น ไม่อนุญาตให้นำไปใช้ประโยชน์ด้านการค้า
ไม่ว่ากรณีใดๆ ทั้งสิ้น อีกทั้งห้ามมิให้ดัดแปลงเนื้อหาและต้องอ้างอิงถึงเจ้าของเอกสารทุกครั้งที่มีการนำไปใช้

บทสรุปและวิจารณ์

จากทดลองจะพบว่าสัญญาณที่ได้บางส่วนนั้นยังเป็นสัญญาณที่ไม่สมบูรณ์ ซึ่งอาจเนื่องมาจากวงจรส่วนนั้นยังเป็นวงจรที่ไม่เสถียรภาพ จึงได้รูปสัญญาณที่ไม่ถูกต้อง และทำให้การทดลองนี้ยังไม่ประสบผลสำเร็จเท่าที่ควรแต่ก็มีบางส่วนที่ถือได้ว่าเป็นส่วนที่สามารถให้ผลการทดลองที่ดี และสามารถนำไปใช้เป็นวงจรใช้งานจริงได้

เนื่องมาจากการทดลองแต่ละครั้งเราจะพบปัญหาที่เป็นอุปสรรคให้การดำเนินงานหยุดชะงักและล่าช้า ซึ่งในบางครั้งก็ถึงขนาดทำให้เราต้องเริ่มต้นดำเนินงานกันใหม่ปัญหาที่พบบ่อยครั้ง เช่น การไม่เสถียรภาพของวงจร ความเสียหายของอุปกรณ์ที่สำคัญ เช่น POWER MOSFET, TRANSISTOR ปัญหาอื่นเนื่องมาจากอุปกรณ์ขาดตลาด ปัญหาเกี่ยวกับอุปกรณ์ในการวัดไม่เพียงพอต่อความต้องการใช้งาน ซึ่งแต่ละปัญหาล้วนมีผลทำให้การดำเนินงานในครั้งนีเกิดความล่าช้า



ภาคผนวก

เอกสารนี้เป็นเอกสารที่สงวนไว้สำหรับการใช้งานเพื่อการศึกษาเท่านั้น ไม่อนุญาตให้นำไปใช้ประโยชน์ด้านการค้า
ไม่ว่ากรณีใดๆ ทั้งสิ้น อีกทั้งห้ามมิให้ดัดแปลงเนื้อหาและต้องอ้างอิงถึงเจ้าของเอกสารทุกครั้งที่มีการนำไปใช้

IRF840/841/842/843 IRF840R/841R/842R/843R

N-Channel Power MOSFETs
Avalanche Energy Rated*

August 1991

Features

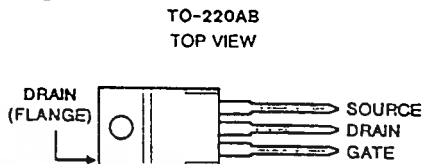
- 7A and 8A, 450V - 500V
- $r_{DS(on)} = 0.85\Omega$ and 1.1Ω
- Single Pulse Avalanche Energy Rated*
- SOA is Power-Dissipation Limited
- Nanosecond Switching Speeds
- Linear Transfer Characteristics
- High Input Impedance

Description

The IRF840, IRF841, IRF842, and IRF843 are n-channel enhancement-mode silicon-gate power field-effect transistors. IRF840R, IRF841R, IRF842R and IRF843R types are advanced power MOSFETs designed, tested, and guaranteed to withstand a specified level of energy in the breakdown avalanche mode of operation. All of these power MOSFETs are designed for applications such as switching regulators, switching converters, motor drivers, relay drivers, and drivers for high-power bipolar switching transistors requiring high speed and low gate-drive power. These types can be operated directly from integrated circuits.

The IRF types are supplied in the JEDEC TO-220AB plastic package.

Package



Terminal Diagram

N-CHANNEL ENHANCEMENT MODE



Absolute Maximum Ratings ($T_C = +25^\circ\text{C}$), Unless Otherwise Specified

	IRF840 IRF840R	IRF841 IRF841R	IRF842 IRF842R	IRF843 IRF843R	UNITS
Drain-Source Voltage (1)	V_{DS} 500	450	500	450	V
Drain-Gate Voltage ($R_{GS} = 20k\Omega$) (1)	V_{DGR} 500	450	500	450	V
Continuous Drain Current					
$T_C = +25^\circ\text{C}$	I_D 8.0	8.0	7.0	7.0	A
$T_C = +100^\circ\text{C}$	I_D 5.1	5.1	4.4	4.4	A
Pulsed Drain Current (3)	I_{DM} 32	32	28	28	A
Gate-Source Voltage	V_{GS} ± 20	± 20	± 20	± 20	V
Maximum Power Dissipation					
$T_C = +25^\circ\text{C}$	P_D 125	125	125	125	W
Linear Derating Factor	1.0	1.0	1.0	1.0	W/ $^\circ\text{C}$
Inductive Current, Clamped	I_{LM} 32	32	28	28	A
(See Figure 14, $L = 100\mu\text{H}$)					
Single Pulse Avalanche Energy Rating (4)	E_{AS}^* 510	510	510	510	mJ
Operating and Storage Junction Temperature Range	T_J, T_{STG} -55 to +150	-55 to +150	-55 to +150	-55 to +150	$^\circ\text{C}$
Maximum Lead Temperature for Soldering	T_L 300	300	300	300	$^\circ\text{C}$
(0.063" (1.6mm) from case for 10s)					

NOTES:

- $T_J = +25^\circ\text{C}$ to $+150^\circ\text{C}$.
 - Pulse Test: Pulse width $\leq 300\mu\text{s}$, Duty Cycle $\leq 2\%$.
 - Repetitive rating: Pulse width limited by maximum junction temperature. See Transient Thermal Impedance Curve (Figure 5).
 - $V_{DD} = 50\text{V}$, starting $T_J = +25^\circ\text{C}$, $L = 14\text{mH}$, $R_{GS} = 25\Omega$, $I_{PEAK} = 8\text{A}$. See Figure 15.
- *R Suffix Types Only

CAUTION: These devices are sensitive to electrostatic discharge. Proper I.C. handling procedures should be followed.
Copyright © Harris Corporation 1991

File Number 2312.1

IRF840, IRF841, IRF842, IRF843 IRF840R, IRF841R, IRF842R, IRF843R

Electrical Characteristics $T_C = 25^\circ\text{C}$, Unless Otherwise Specified

CHARACTERISTIC	SYMBOL	TEST CONDITIONS	LIMITS			UNITS
			MIN	TYP	MAX	
Drain-Source Breakdown Voltage IRF840/842, IRF840R/842R IRF841/843, IRF841R/843R	V_{DS}	$V_{GS} = 0V, I_D = 250\mu A$	500	-	-	V
			450	-	-	V
Gate Threshold Voltage	$V_{GS(TH)}$	$V_{DS} = V_{GS}, I_D = 250\mu A$	2.0	-	4.0	V
Gate-Source Leakage Forward	I_{GSS}	$V_{GS} = 20V$	-	-	500	nA
Gate-Source Leakage Reverse	I_{GSS}	$V_{GS} = -20V$	-	-	-500	nA
Zero Gate Voltage Drain Current	I_{DSS}	$V_{DS} = \text{Max Rating}, V_{GS} = 0V$	-	-	250	μA
		$V_{DS} = \text{Max Rating} \times 0.8, V_{GS} = 0V, T_J = +125^\circ\text{C}$	-	-	1000	μA
On-State Drain Current (Note 2) IRF840/841, IRF840R/841R IRF842/843, IRF842R/843R	$I_{D(ON)}$	$V_{DS} > I_{D(ON)} \times R_{DS(ON)} \text{ Max}, V_{GS} = 10V$	8.0	-	-	A
			7.0	-	-	A
Static Drain-Source On-State Resistance (Note 2) IRF840/841, IRF840R/841R IRF842/843, IRF842R/843R	$r_{DS(ON)}$	$V_{GS} = 10V, I_D = 4.4A$	-	0.8	0.85	Ω
			-	1.0	1.1	Ω
Forward Transconductance (Note 2)	g_{fs}	$V_{DS} \geq 50V, I_D = 4.4A$	4.9	7.4	-	S(j)
Input Capacitance	C_{ISS}	$V_{GS} = 0V, V_{DS} = 25V, f = 1.0\text{MHz}$	-	1225	-	pF
Output Capacitance	C_{OSS}	See Figure 10	-	200	-	pF
Reverse Transfer Capacitance	C_{RSS}		-	85	-	pF
Turn-On Delay Time	$t_{d(ON)}$	$V_{DD} = 250V, I_D = 8A, R_G = 9.1\Omega$ See Figure 16. (MOSFET switching times are essentially independent of operating temperature)	-	15	21	ns
Rise Time	t_r		-	21	35	ns
Turn-Off Delay Time	$t_{d(OFF)}$		-	50	74	ns
Fall Time	t_f		-	20	30	ns
Total Gate Charge (Gate-Source + Gate-Drain)	Q_g	$V_{GS} = 10V, I_D = 8A, V_{DS} = 0.8V \text{ Max Rating}$. See Figure 17 for test circuit. (Gate charge is essentially independent of operating temperature.)	-	42	63	nC
Gate-Source Charge	Q_{gs}		-	7.0	-	nC
Gate-Drain ("Miller") Charge	Q_{gd}		-	22	-	nC
Internal Drain Inductance	L_D	Measured from the contact screw on tab to center of die	-	3.5	-	nH
		Modified MOSFET symbol showing the internal device inductances.	-	4.5	-	nH
Internal Source Inductance	L_S	Measured from the drain lead, 6mm (0.25in.) from package to center of die	-	7.5	-	nH
		Measured from the source lead, 6mm (0.25") from header and source bonding pad.	-	7.5	-	nH
Junction-to-Case	$R_{\theta JC}$		-	-	1.0	$^\circ\text{C/W}$
Case-to-Sink	$R_{\theta CS}$	Mounting surface flat, smooth and greased	-	0.5	-	$^\circ\text{C/W}$
Junction-to-Ambient	$R_{\theta JA}$	Free air operation	-	-	80	$^\circ\text{C/W}$

Source Drain Diode Ratings and Characteristics

Continuous Source Current (Body Diode)	I_S	Modified MOSFET symbol showing the integral reverse P-N junction rectifier.	-	-	8.0	A
Pulse Source Current (Body Diode) (Note 3)	I_{SM}		-	-	32	A
Diode Forward Voltage (Note 2)	V_{SD}	$T_J = +25^\circ\text{C}, I_S = 8.0A, V_{GS} = 100A/\mu s$	-	-	2.0	V
Reverse Recovery Time	t_{rr}	$T_J = +25^\circ\text{C}, I_F = 8.0A, dI_F/dt = 100A/\mu s$	210	475	970	ns
Reverse Recovered Charge	Q_{RR}	$T_J = +25^\circ\text{C}, I_F = 8.0A, dI_F/dt = 100A/\mu s$	2.0	4.6	8.2	μC
Forward Turn-on Time	t_{ON}	Intrinsic turn-on time is negligible. Turn-on speed is substantially controlled by $L_S + L_D$.	-	-	-	-

NOTES: 1. $T_J = +25^\circ\text{C}$ to $+150^\circ\text{C}$

2. Pulse Test: Pulse width < 300 μs , Duty Cycle < 2%

3. Repetitive Rating: Pulse width limited by max. junction temperature. See Transient Thermal Impedance Curve (Figure 5)

4. $V_{DD} = 50V$, Start $T_J = +25^\circ\text{C}$, $L = 14mH$, $R_{GS} = 25\Omega$, $I_{PEAK} = 8A$ (See Figure 15)

IRF840, IRF841, IRF842, IRF843 IRF840R, IRF841R, IRF842R, IRF843R

Performance Curves

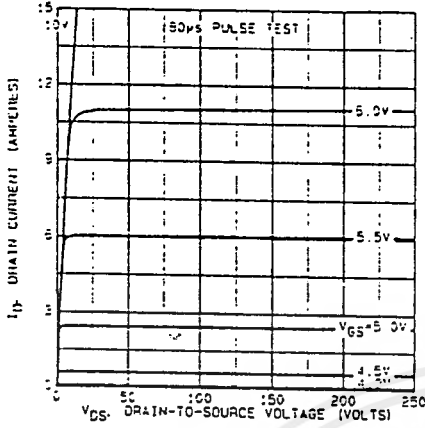


FIGURE 1. TYPICAL OUTPUT CHARACTERISTICS

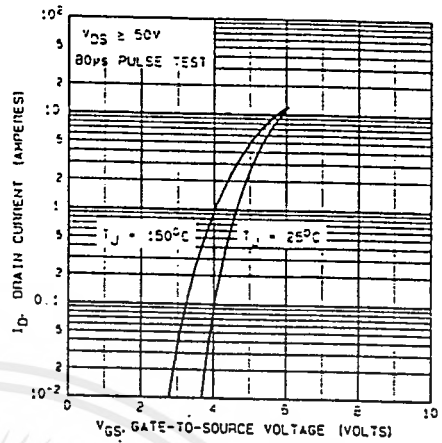


FIGURE 2. TYPICAL TRANSFER CHARACTERISTICS

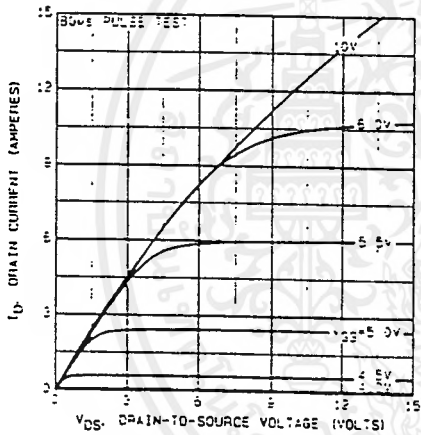


FIGURE 3. TYPICAL SATURATION CHARACTERISTICS

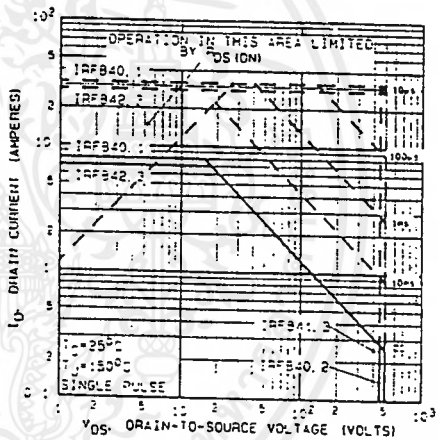


FIGURE 4. MAXIMUM SAFE OPERATING AREA

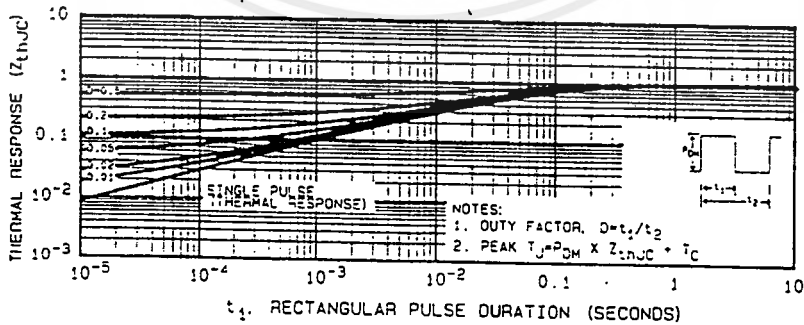


FIGURE 5. MAXIMUM EFFECTIVE TRANSIENT THERMAL IMPEDANCE, JUNCTION-TO-CASE vs PULSE DURATION

เอกสารนี้เป็นเอกสารที่สงวนไว้สำหรับการใช้งานเพื่อการศึกษาเท่านั้น ไม่อนุญาตให้นำไปใช้ประโยชน์ด้านการค้า
ไม่ว่ากรณีใดๆ ทั้งสิ้น อีกทั้งห้ามมิให้ดัดแปลงเนื้อหาและต้องอ้างอิงถึงเจ้าของเอกสารทุกครั้งที่มีการนำไปใช้

Performance Curves (Continued)

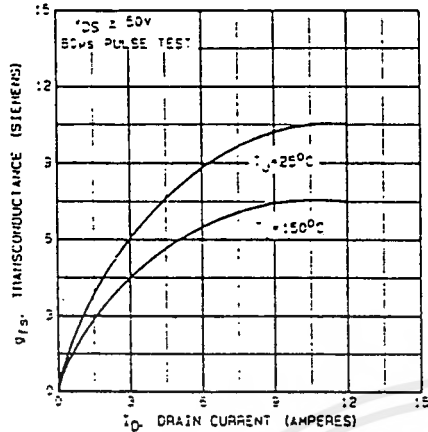


FIGURE 6. TYPICAL TRANSCONDUCTANCE vs DRAIN CURRENT

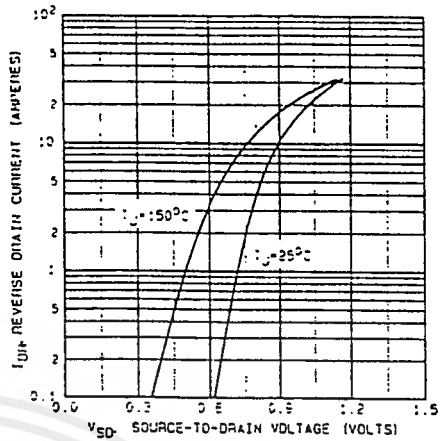


FIGURE 7. TYPICAL SOURCE-DRAIN DIODE FORWARD VOLTAGE

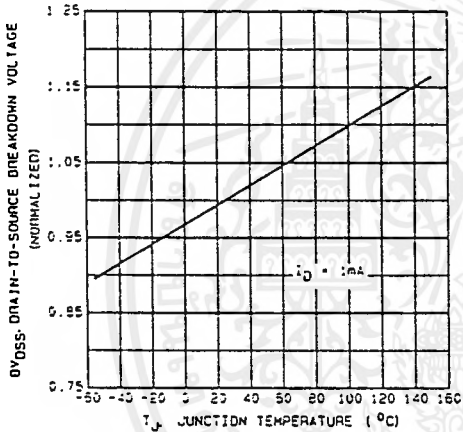


FIGURE 8. BREAKDOWN VOLTAGE vs TEMPERATURE

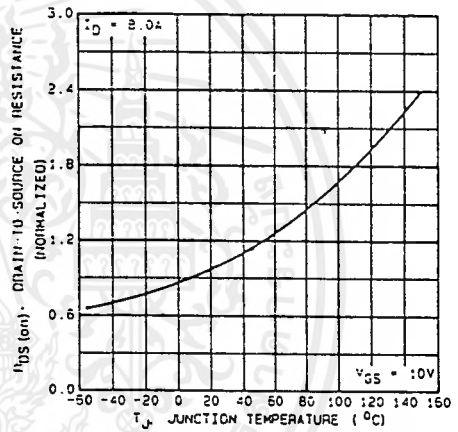


FIGURE 9. NORMALIZED ON-RESISTANCE vs TEMPERATURE

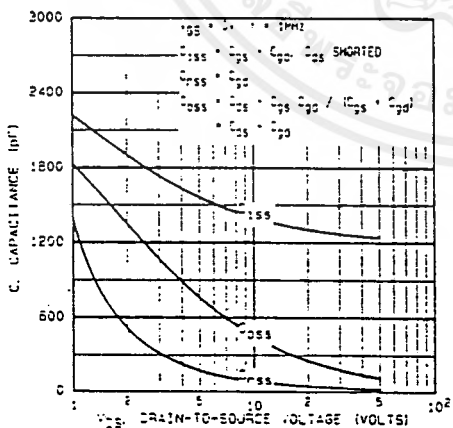


FIGURE 10. TYPICAL CAPACITANCE vs DRAIN-TO-SOURCE VOLTAGE

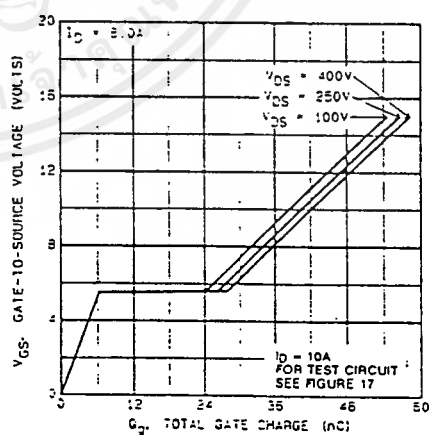


FIGURE 11. TYPICAL GATE CHARGE vs GATE-TO-SOURCE VOLTAGE

IRF840, IRF841, IRF842, IRF843 IRF840R, IRF841R, IRF842R, IRF843R

Performance Curves (Continued)

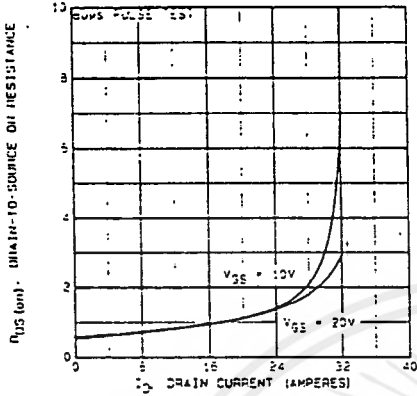


FIGURE 12. TYPICAL ON-RESISTANCE VS. DRAIN CURRENT

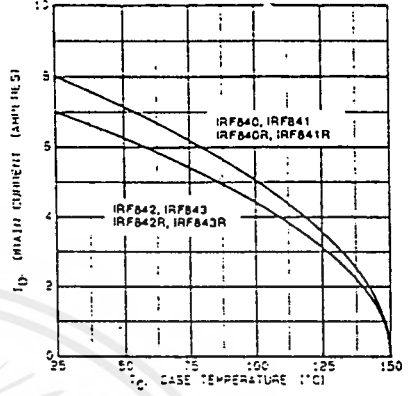


FIGURE 13. MAXIMUM DRAIN CURRENT VS. CASE TEMPERATURE

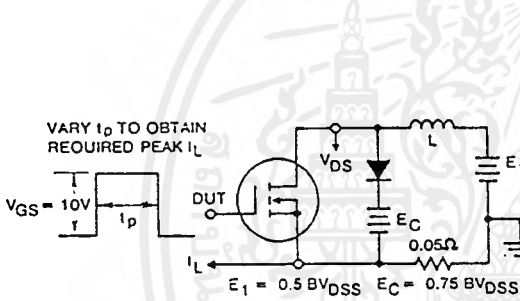


FIGURE 14a. CLAMPED INDUCTIVE TEST CIRCUIT

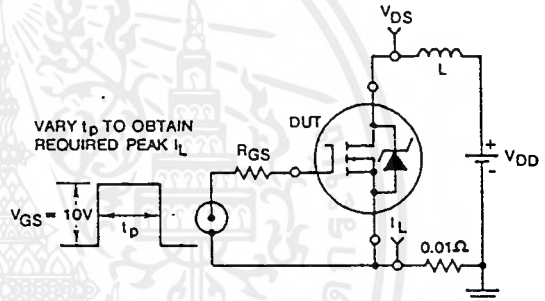


FIGURE 15a. UNCLAMPED ENERGY TEST CIRCUIT

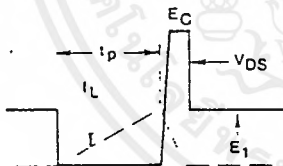


FIGURE 14b. CLAMPED INDUCTIVE WAVEFORMS

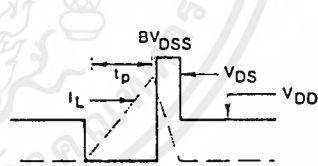


FIGURE 15b. UNCLAMPED ENERGY WAVEFORMS

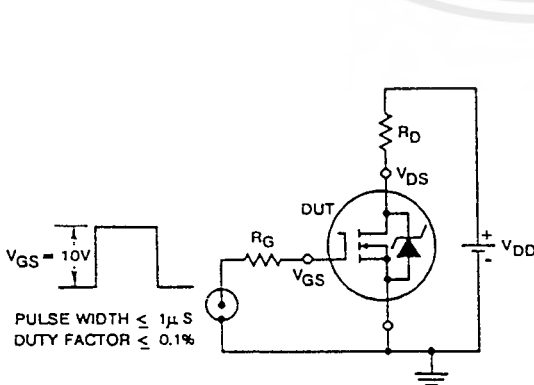


FIGURE 16. SWITCHING TIME TEST CIRCUIT

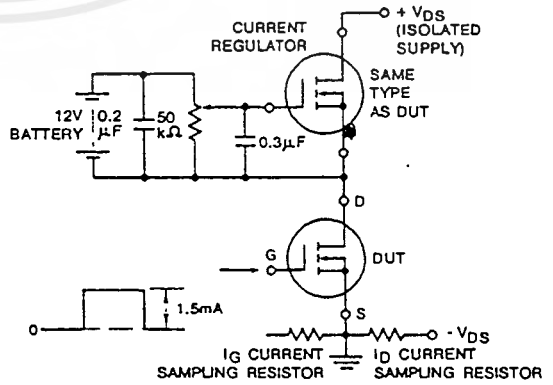


FIGURE 17. GATE CHARGE TEST CIRCUIT



HARRIS

IRFP250/251/252/253 IRFP250R/251R/252R/253R

N-Channel Power MOSFETs Avalanche Energy Rated*

August 1991

Features

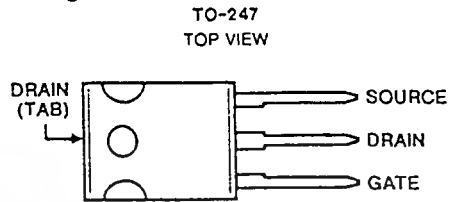
- 27A and 33A, 150V - 200V
- $r_{DS(on)} = 0.085\Omega$ and 0.120Ω
- Single Pulse Avalanche Energy Rated*
- SOA is Power-Dissipation Limited
- Nanosecond Switching Speeds
- Linear Transfer Characteristics
- High Input Impedance

Description

The IRFP250, IRFP251, IRFP252, and IRFP253 are n-channel enhancement-mode silicon-gate power field-effect transistors. IRFP250R, IRFP251R, IRFP252R, and IRFP253R types are advanced power MOSFETs designed, tested, and guaranteed to withstand a specified level of energy in the breakdown avalanche mode of operation. All of these power MOSFETs are designed for applications such as switching regulators, switching converters, motor drivers, relay drivers, and drivers for high-power bipolar switching transistors requiring high speed and low gate-drive power. These types can be operated directly from integrated circuits.

The IRFP types are supplied in the JEDEC TO-247 plastic package.

Package



Terminal Diagram

N-CHANNEL ENHANCEMENT MODE



Absolute Maximum Ratings ($T_C = +25^\circ\text{C}$), Unless Otherwise Specified

	IRFP250 IRFP250R	IRFP251 IRFP251R	IRFP252 IRFP252R	IRFP253 IRFP253R	UNITS	
Drain-Source Voltage (1)	V_{DS}	200	150	200	150	V
Drain-Gate Voltage ($R_{GS} = 20k\Omega$) (1)	V_{DGR}	200	150	200	150	V
Continuous Drain Current						
$T_C = +25^\circ\text{C}$	I_D	33	33	27	27	A
$T_C = +100^\circ\text{C}$	I_D	21	21	17	17	A
Pulsed Drain Current (3)	I_{DM}	130	130	110	110	A
Gate-Source Voltage	V_{GS}	± 20	± 20	± 20	± 20	V
Maximum Power Dissipation						
$T_C = +25^\circ\text{C}$	P_D	180	180	180	180	W
Linear Derating Factor		1.44	1.44	1.44	1.44	W/ $^\circ\text{C}$
Inductive Current, Clamped	I_{LM}	120	120	100	100	A
(See Figure 14, $L = 100\mu\text{H}$)						
Single Pulse Avalanche Energy Rating (4)	E_{as}^*	810	810	810	810	mJ
Operating and Storage Junction	T_J, T_{STG}	-55 to +150	-55 to +150	-55 to +150	-55 to +150	$^\circ\text{C}$
Temperature Range						
Maximum Lead Temperature for Soldering	T_L	300	300	300	300	$^\circ\text{C}$
(0.063" (1.6mm) from case for 10s)						

NOTES:

1. $T_J = +25^\circ\text{C}$ to $+150^\circ\text{C}$.
2. Pulse Test: Pulse width $\leq 300\mu\text{s}$, Duty Cycle $\leq 2\%$.
3. Repetitive Rating: Pulse width limited by max. junction temperature. See Transient Thermal Impedance Curve (Figure 5).
4. $V_{DD} = 50\text{V}$, starting $T_J = +25^\circ\text{C}$, $L = 1.1\text{mH}$, $R_{GS} = 50\Omega$, $I_{PEAK} = 33\text{A}$. See Figure 15.

* R Suffix Types Only

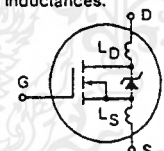
CAUTION: These devices are sensitive to electrostatic discharge. Proper I.C. handling procedures should be followed.
Copyright © Harris Corporation 1991

File Number 2330.1

เอกสารนี้เป็นเอกสารที่สงวนไว้สำหรับการใช้งานเพื่อการศึกษาเท่านั้น ไม่อนุญาตให้นำไปใช้ประโยชน์ด้านการค้า
ไม่ว่ากรณีใดๆ ทั้งสิ้น อีกทั้งห้ามมิให้ดัดแปลงเนื้อหาและต้องอ้างอิงถึงเจ้าของเอกสารทุกครั้งที่มีการนำไปใช้

IRFP250, IRFP251, IRFP252, IRFP253 IRFP250R, IRFP251R, IRFP252R, IRFP253R

Electrical Characteristics $T_C = +25^\circ\text{C}$, Unless Otherwise Specified

CHARACTERISTIC	SYMBOL	TEST CONDITIONS	LIMITS			UNITS	
			MIN	TYP	MAX		
Drain-Source Breakdown Voltage IRFP250/252, IRFP250R/252R IRFP251/253, IRFP251R/253R	\bar{V}_{DSS}	$V_{GS} = 0V, I_D = 250\mu A$	200	-	-	V	
			150	-	-	V	
Gate Threshold Voltage	$V_{GS(TH)}$	$V_{DS} = V_{GS}, I_D = 250\mu A$	2.0	-	4.0	V	
Gate-Source Leakage Forward	I_{GSS}	$V_{GS} = 20V$	-	-	500	nA	
Gate-Source Leakage Reverse	I_{GSS}	$V_{GS} = -20V$	-	-	-500	nA	
Zero Gate Voltage Drain Current	I_{DSS}	$V_{DS} = \text{Max Rating}, V_{GS} = 0V$	-	-	250	μA	
		$V_{DS} = \text{Max Rating} \times 0.8, V_{GS} = 0V, T_C = +125^\circ\text{C}$	-	-	1000	μA	
On-State Drain Current (Note 2) IRFP250/251, IRFP250R/251R IRFP252/253, IRFP252R/253R	$I_{D(ON)}$	$V_{DS} > I_{D(ON)} \times r_{DS(ON)} \text{ Max}, V_{GS} = 10V$	33	-	-	A	
			27	-	-	A	
Static Drain-Source On-State Resistance (Note 2) IRFP250/251, IRFP250R/251R IRFP252/253, IRFP252R/253R	$r_{DS(ON)}$	$V_{GS} = 10V, I_D = 17A$	-	0.07	0.085	Ω	
			-	0.09	0.120	Ω	
Forward Transconductance (Note 2)	g_{fs}	$V_{DS} \geq 50V, I_D = 17A$	13	19	-	S(j)	
Input Capacitance	C_{ISS}	$V_{GS} = 0V, V_{DS} = 25V, f = 1.0\text{MHz}$ See Figure 10	-	2000	-	pF	
Output Capacitance	C_{OSS}		-	800	-	pF	
Reverse Transier Capacitance	C_{RSS}		-	300	-	pF	
Turn-On Delay Time	$t_{d(ON)}$	$V_{DD} = 100V, I_D = 30A, R_G = 6.2\Omega$ See Figure 16. (MOSFET switching times are essentially independent of operating temperature)	-	18	30	ns	
Rise Time	t_r		-	125	180	ns	
Turn-Off Delay Time	$t_{d(OFF)}$		-	70	100	ns	
Fall Time	t_f		-	80	120	ns	
Total Gate Charge (Gate-Source + Gate-Drain)	Q_g		$V_{GS} = 10V, I_D = 30A, V_{DS} = 0.8 \text{ Max Rating}$. See Figure 17 for test circuit. (Gate charge is essentially independent of operating temperature.)	-	79	120	nC
Gate-Source Charge	Q_{GS}		-	12	-	nC	
Gate-Drain ("Miller") Charge	Q_{GD}		-	42	-	nC	
Internal Drain Inductance	L_D	Measured between the contact screw on header that is closer to source and gate pins and center of center of die.	Modified MOSFET symbol showing the internal device inductances.	-	5.0	-	nH
Internal Source Inductance	L_S	Measured from the source lead, 6mm (0.25") from header and source bonding pad.		-	12.5	-	nH
Junction-to-Case	$R_{\theta JC}$		-	-	0.70	$^\circ\text{C/W}$	
Case-to-Sink	$R_{\theta CS}$	Mounting surface flat, smooth and greased	-	0.1	-	$^\circ\text{C/W}$	
Junction-to-Ambient	$R_{\theta JA}$	Free air operation	-	-	30	$^\circ\text{C/W}$	

Source Drain Diode Ratings and Characteristics

Continuous Source Current (Body Diode)	I_S	Modified MOSFET symbol showing the integral reverse P-N junction rectifier.	-	-	33	A
Pulse Source Current (Body Diode) (Note 3)	I_{SM}		-	-	130	A
Diode Forward Voltage (Note 2)	V_{SD}	$T_J = +25^\circ\text{C}, I_S = 33A, V_{GS} = 0V$	-	-	2.0	V
Reverse Recovery Time	t_{rr}	$T_J = +25^\circ\text{C}, I_F = 30A, dI_F/dt = 100A/\mu s$	140	-	630	ns
Reverse Recovered Charge	Q_{RR}	$T_J = +25^\circ\text{C}, I_F = 30A, dI_F/dt = 100A/\mu s$	1.8	-	8.1	μC
Forward Turn-on Time	t_{ON}	Intrinsic turn-on time is negligible. Turn-on speed is substantially controlled by $L_S + L_D$.	-	-	-	-

NOTES: 1. $T_J = +25^\circ\text{C}$ to $+150^\circ\text{C}$

2. Pulse Test: Pulse width $\leq 300\mu s$.
Duty Cycle $\leq 2\%$

3. Repetitive Rating: Pulse width limited by max. junction temperature. See Transient Thermal Impedance Curve (Figure 5)

4. $V_{DD} = 50V$, Start $T_J = +25^\circ\text{C}$, $L = 1.1\text{mH}$,
 $R_{GS} = 50\Omega$, $I_{PEAK} = 33A$ (See Figure 15)

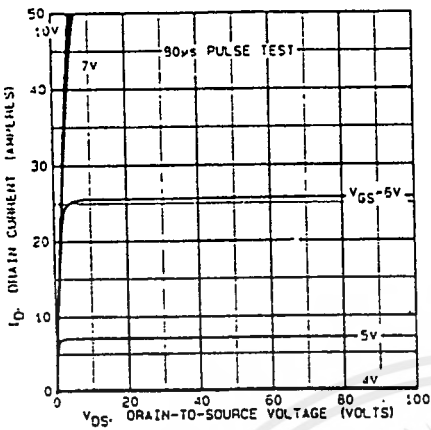


FIGURE 1. TYPICAL OUTPUT CHARACTERISTICS

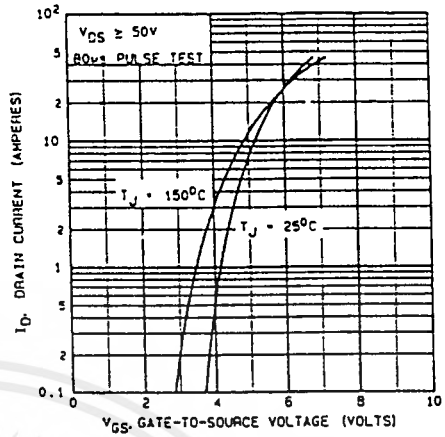


FIGURE 2. TYPICAL TRANSFER CHARACTERISTICS

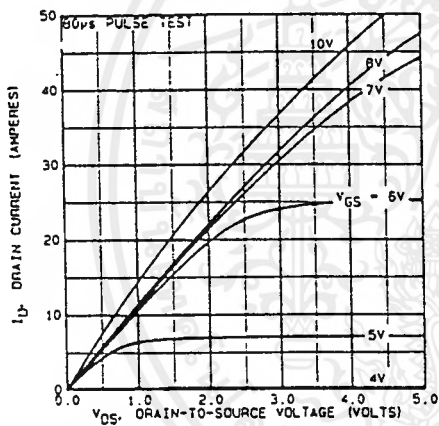


FIGURE 3. TYPICAL SATURATION CHARACTERISTICS

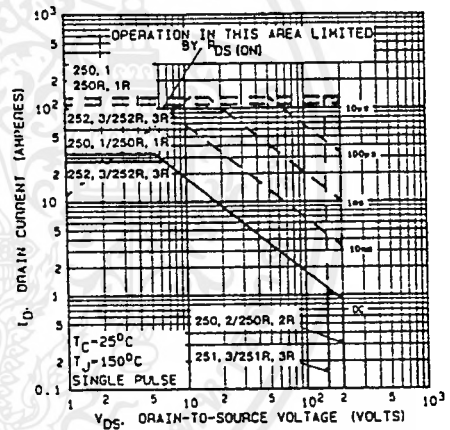


FIGURE 4. MAXIMUM SAFE OPERATING AREA

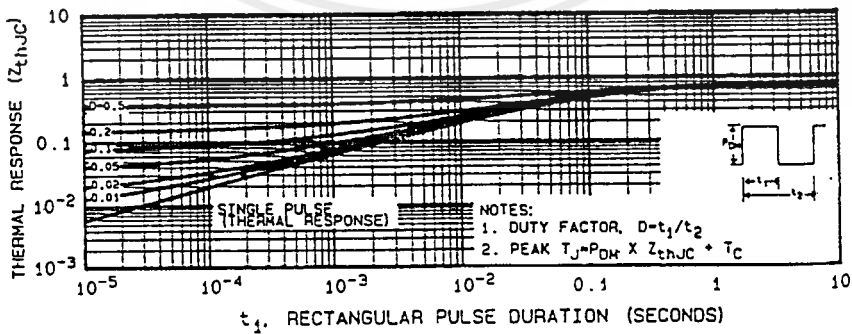


FIGURE 5. MAXIMUM EFFECTIVE TRANSIENT THERMAL IMPEDANCE, JUNCTION-TO-CASE vs. PULSE DURATION

เอกสารนี้เป็นเอกสารที่สงวนไว้สำหรับการใช้งานเพื่อการศึกษาเท่านั้น ไม่อนุญาตให้นำไปใช้ประโยชน์ด้านการค้า
 ไม่ว่ากรณีใดๆ ทั้งสิ้น อีกทั้งห้ามมิให้ดัดแปลงเนื้อหาและต้องอ้างอิงถึงเจ้าของเอกสารทุกครั้งที่มีการนำไปใช้

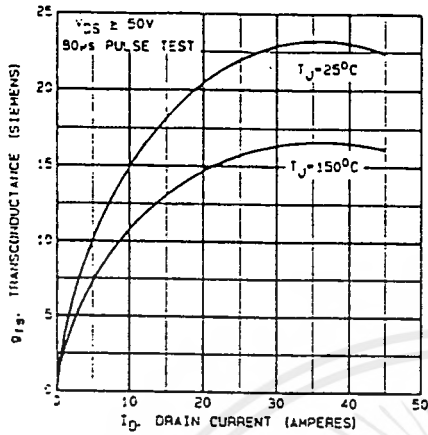


FIGURE 6. TYPICAL TRANSCONDUCTANCE vs DRAIN CURRENT

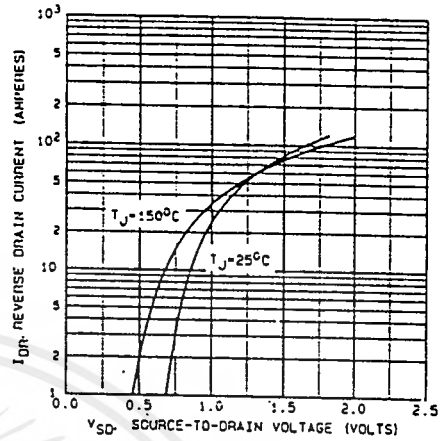


FIGURE 7. TYPICAL SOURCE-DRAIN DIODE FORWARD VOLTAGE

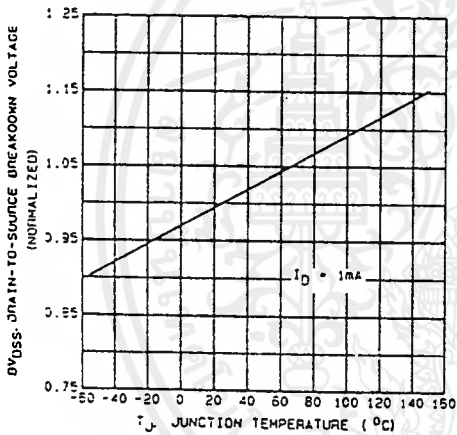


FIGURE 8. BREAKDOWN VOLTAGE vs TEMPERATURE

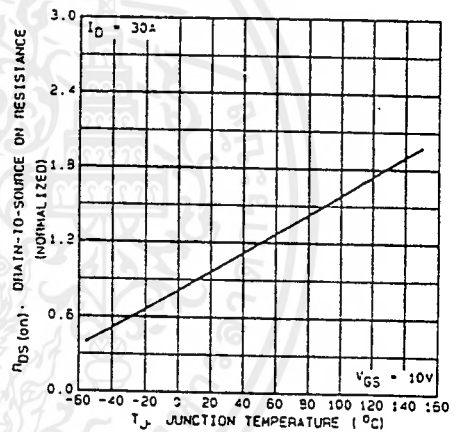


FIGURE 9. NORMALIZED ON-RESISTANCE vs TEMPERATURE

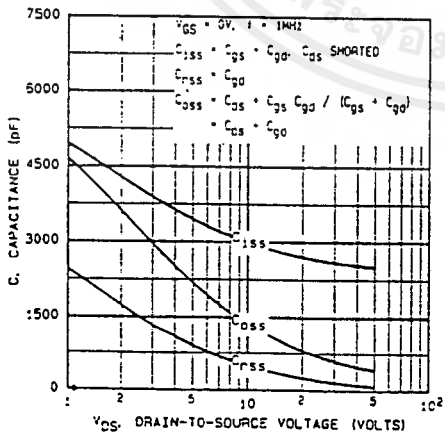


FIGURE 10. TYPICAL CAPACITANCE vs DRAIN-TO-SOURCE VOLTAGE

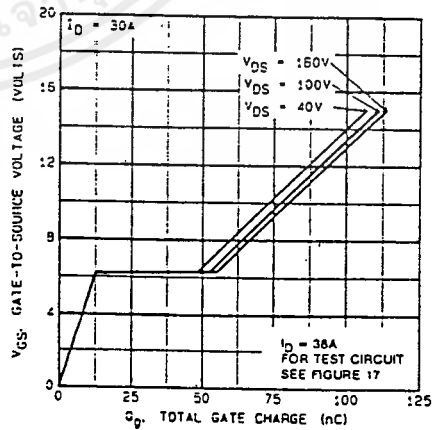


FIGURE 11. TYPICAL GATE CHARGE vs GATE-TO-SOURCE VOLTAGE

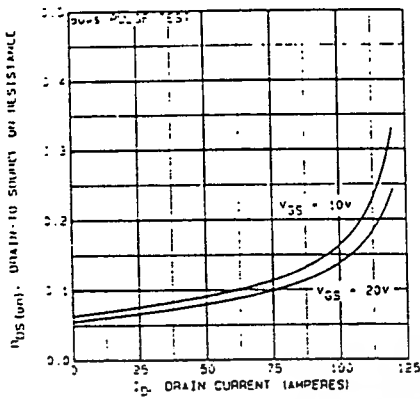


FIGURE 12. TYPICAL ON RESISTANCE vs DRAIN CURRENT

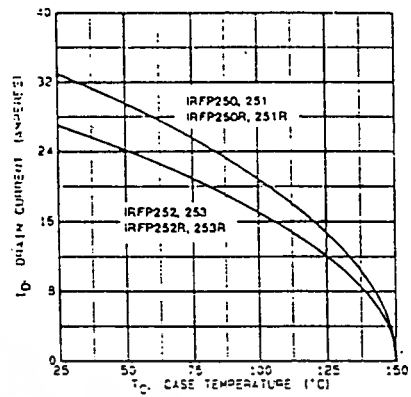


FIGURE 13. MAXIMUM DRAIN CURRENT vs CASE TEMPERATURE

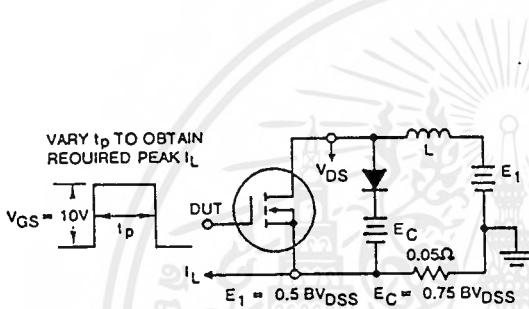


FIGURE 14a. CLAMPED INDUCTIVE TEST CIRCUIT

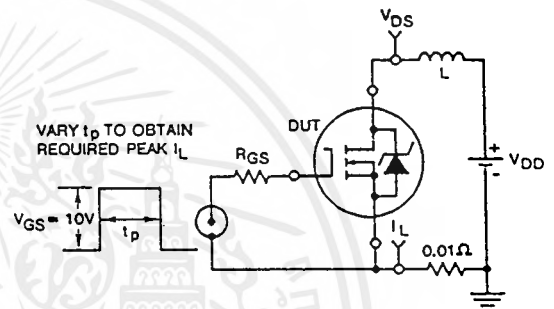


FIGURE 15a. UNCLAMPED ENERGY TEST CIRCUIT

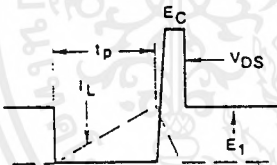


FIGURE 14b. CLAMPED INDUCTIVE WAVEFORMS

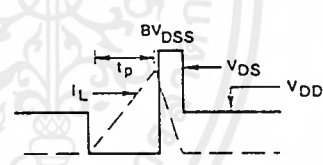


FIGURE 15b. UNCLAMPED ENERGY WAVEFORMS

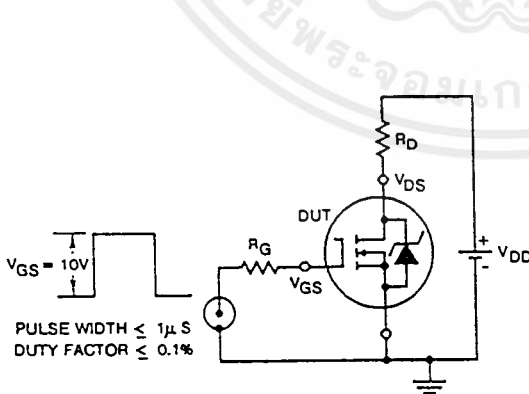


FIGURE 16. SWITCHING TIME TEST CIRCUIT

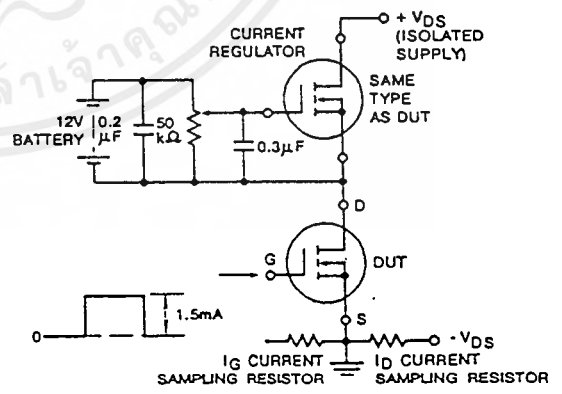


FIGURE 17. GATE CHARGE TEST CIRCUIT

MOTOROLA

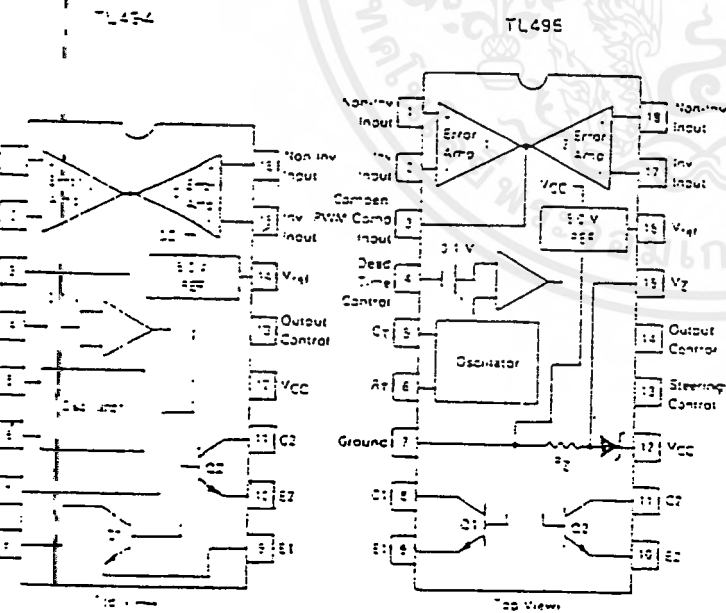
Specifications and Applications Information

SWITCHMODE PULSE WIDTH MODULATION CONTROL CIRCUITS

The TL494 and TL495 are fixed frequency, pulse width modulation control circuits designed primarily for Switchmode power supply control. These devices feature:

- Complete Pulse Width Modulation Control Circuitry
- On-Chip Oscillator With Master Or Slave Operation
- On-Chip Error Amplifiers
- On-Chip 5 Volt Reference
- Adjustable Dead-Time Control
- Uncommutated Output Transistors For 200 mA Source Or Sink
- Output Control For Push-Pull Or Single-Ended Operation
- On-Chip 35 Volt Zener (TL495 Only)
- Output Steering Control (TL495 Only)

PIN CONNECTIONS



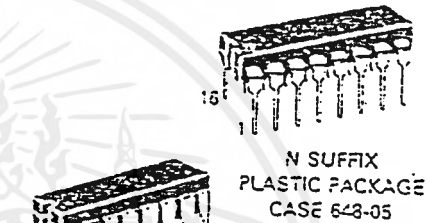
The TL494C/495C are specified over the commercial operating range of 0°C to 70°C. The TL494M/495M are specified over the industrial range of -25°C to 85°C. The TL494AM is specified over the military range of -55°C to 125°C.

TL494 TL495

SWITCHMODE PULSE WIDTH MODULATION CONTROL CIRCUITS

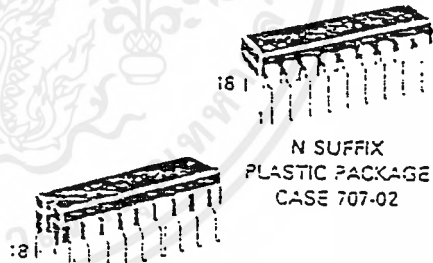
SILICON MONOLITHIC INTEGRATED CIRCUITS

TL494



J SUFFIX
CERAMIC PACKAGE
CASE 520-02

TL495



J SUFFIX
CERAMIC PACKAGE
CASE 725-01

ORDERING INFORMATION

Device	Temperature Range	Package
TL494CN	0 To 70°C	Plastic DIP
TL494CJ	0 To 70°C	Ceramic DIP
TL494M	-25 To 85°C	Plastic DIP
TL494MJ	-25 To 85°C	Ceramic DIP
TL494MJ	-55 To 125°C	Ceramic DIP
TL495CN	0 To 70°C	Plastic DIP
TL495CJ	0 To 70°C	Ceramic DIP
TL495M	-25 To 85°C	Plastic DIP
TL495MJ	-25 To 85°C	Ceramic DIP

FIGURE 4 — OSCILLATOR FREQUENCY versus TIMING RESISTANCE

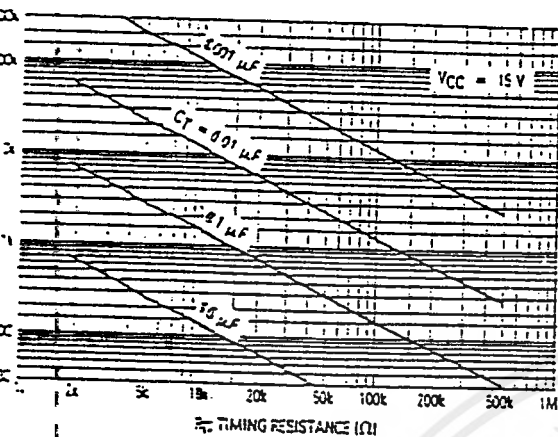


FIGURE 5 — OPEN LOOP VOLTAGE GAIN AND PHASE versus FREQUENCY

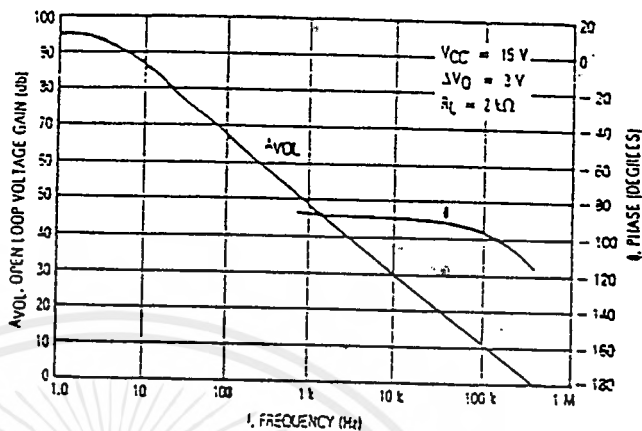


FIGURE 6 — PERCENT DEAD TIME versus OSCILLATOR FREQUENCY

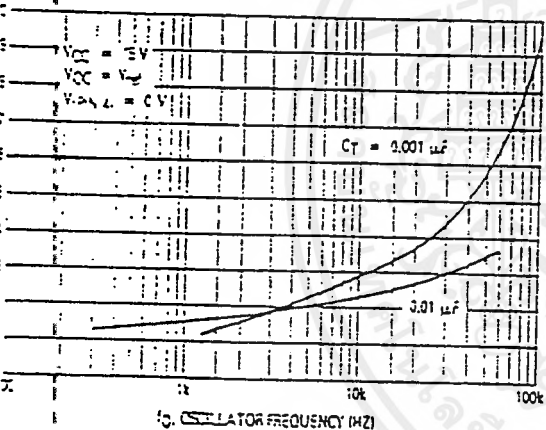


FIGURE 7 — PERCENT DUTY CYCLE versus DEAD-TIME CONTROL VOLTAGE

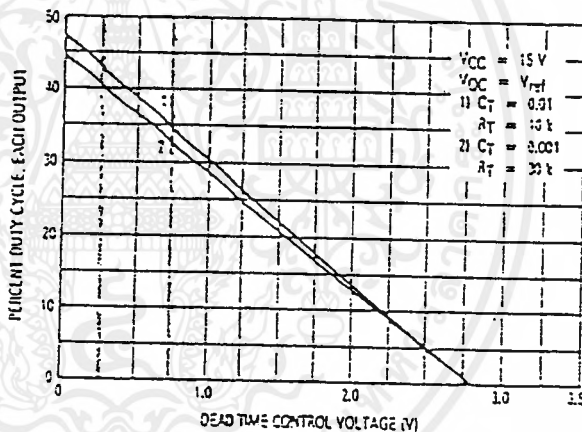


FIGURE 8 — EMITTER-FOLLOWER CONFIGURATION, OUTPUT-SATURATION VOLTAGE versus EMITTER CURRENT

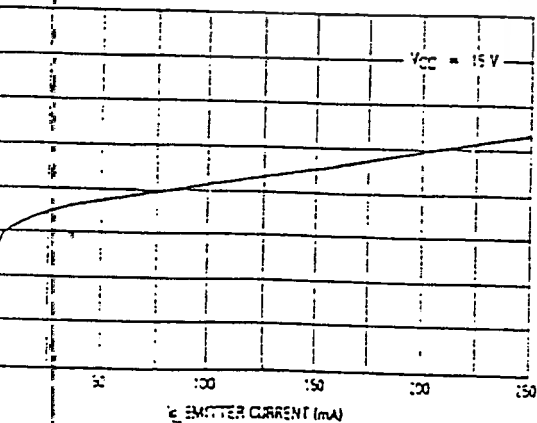
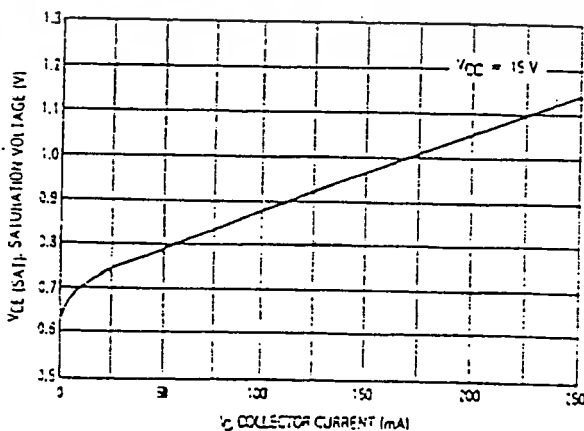


FIGURE 9 — COMMON-EMITTER CONFIGURATION, OUTPUT-SATURATION VOLTAGE versus COLLECTOR CURRENT



ELECTRICAL CHARACTERISTICS ($V_{CC} = 15\text{ V}$, $f_{osc} = 10\text{ kHz}$ unless otherwise noted.)For typical values $T_A = 25^\circ\text{C}$, for min/max values T_A is the operating ambient temperature range that applies unless otherwise noted.

Characteristic	Symbol	TL494/TL495			Unit
		Min	Typ	Max	
PWM COMPARATOR SECTION (Test Circuit Figure 12)					
Input Threshold Voltage (Zero duty cycle)	V_{TH}	—	3.5	4.5	V
Input Sink Current ($V_{Pin\ 3} = 0.7\text{ V}$)	I_{I-}	0.3	0.7	—	mA
DEAD-TIME CONTROL SECTION (Test Circuit Figure 12)					
Input Bias Current (Pin 4) ($V_{IH} = 0\text{ to }5.25\text{ V}$)	$I_{IB}\ (DT)$	—	-2.0	-7.0	μA
Maximum Duty Cycle, Each Output, Push-Pull Mode ($V_{IH} = 0\text{ V}$, $C_T = 0.1\ \mu\text{F}$, $R_T = 12\ \text{k}\Omega$) ($V_{IH} = 0\text{ V}$, $C_T = 0.001\ \mu\text{F}$, $R_T = 30\ \text{k}\Omega$)	DC_{max}	45	48	50	%
Input Threshold Voltage (Pin 4) (Zero Duty Cycle) (Maximum Duty Cycle)	V_{TH}	— 0	2.8 —	3.3 —	V
OSCILLATOR SECTION					
Frequency ($C_T = 0.001\ \mu\text{F}$, $R_T = 30\ \text{k}\Omega$)	f_{osc}	—	4.0	—	kHz
Standard Deviation of Frequency* ($C_T = 0.001\ \mu\text{F}$, $R_T = 30\ \text{k}\Omega$)	$\sigma_{f_{osc}}$	—	3.0	—	%
Frequency Change with Voltage ($V_{CC} = 7.0\text{ V to }40\text{ V}$, $T_A = 25^\circ\text{C}$)	$\Delta f_{osc}\ (\Delta V)$	—	0.1	—	%
Frequency Change with Temperature ($\Delta T_A = T_{A\ low}\ \text{to }T_{A\ high}$)	$\Delta f_{osc}\ (\Delta T)$	—	± 1.0	± 2.0	%

Characteristic	Symbol	TL495			Unit
		Min	Typ	Max	
STEERING CONTROL					
Input Current Low ($V_{Pin\ 13} = 0.4\text{ V}$)	I_{STL}	—	-25	-20	μA
Input Current High ($V_{Pin\ 13} = 2.4\text{ V}$) ($V_{Pin\ 13} = V_{ref}$)	I_{STH}	— —	25 75	20 —	μA
GENERATOR CHARACTERISTICS					
Generator Breakdown Voltage ($I_Z = 2.0\ \text{mA}$)	V_Z	—	39	—	V
Generator Sink Current ($V_{Pin\ 15} = 1.0\text{ V}$)	I_{RZ}	—	0.3	—	mA
TOTAL DEVICE					
Standby Supply Current (Pin 6 at V_{ref} , All Other Inputs and Outputs Open) ($V_{CC} = 15\text{ V}$) ($V_{CC} = 40\text{ V}$)	I_{CC}	— —	5.5 7.0	10 15	mA
Average Supply Current ($V_{Pin\ 4} = 2.0\text{ V}$) (See Figure 12.) ($C_T = 0.001$, $R_T = 12\ \text{k}\Omega$, $V_{CC} = 15\text{ V}$)	—	—	7.0	—	mA

Standard deviation is a measure of the statistical distribution about the mean as derived from the formula, $\sigma =$

$$\sigma = \sqrt{\frac{\sum_{n=1}^N (X_n - \bar{X})^2}{N - 1}}$$

เอกสารนี้เป็นเอกสารที่สงวนไว้สำหรับการใช้งานเพื่อการศึกษาเท่านั้น ไม่อนุญาตให้นำไปใช้ประโยชน์ด้านการค้า

ไม่ว่ากรณีใดๆทั้งสิ้น MOTOROLA LINEAR/INTERFACE DEVICES ของเอกสารทุกครั้งที่มีการนำไปใช้

ELECTRICAL CHARACTERISTICS (VCC = 15 V, fosc = 10 kHz unless otherwise noted)
 For typical values TA = 25°C, for min/max values TA is the operating ambient temperature range that applies unless otherwise noted

Characteristic	Symbol	TL494M			TL494C, 1/TL495C, 1			Unit
		Min	Typ	Max	Min	Typ	Max	
OUTPUT SECTION								
Collector Off-State Current (V _{CE} = 40 V, V _{CE} = 40 V)	I _{C(off)}	—	2.0	100	—	2.0	100	μA
Emitter Off-State Current (V _{CE} = 40 V, V _C = 40 V, V _E = 0 V)	I _{E(off)}	—	—	-150	—	—	-100	μA
Collector-Emitter Saturation Voltage Common-Emitter (V _{CE} = 6 V, I _C = 200 mA)	V _{sat(C)}	—	1.1	1.5	—	1.1	1.3	V
Emitter-Follower (V _{CE} = 15 V, I _E = -200 mA)	V _{sat(E)}	—	1.5	2.5	—	1.5	2.5	V
Output Control Pin Current Low State (V _{OC} = 0.4 V)	I _{OCL}	—	10	—	—	10	—	μA
High State (V _{OC} = V _{sat})	I _{OCH}	—	0.2	3.5	—	0.2	3.5	mA
Output Voltage Rise Time (TA = 25°C) Common-Emitter (See Figure 13) Emitter-Follower (See Figure 14)	t _r	—	100	200	—	100	200	ns
Output Voltage Fall Time (TA = 25°C) Common-Emitter (See Figure 13) Emitter-Follower (See Figure 14)	t _f	—	25	100	—	25	100	ns

Characteristic	Symbol	TL494-TL495			Unit
		Min	Typ	Max	
RROR AMPLIFIER SECTIONS					
Input Offset Voltage (V _{CE} = 2.5 V)	V _{IO}	—	2.0	10	mV
Input Offset Current (V _{CE} = 2.5 V)	I _{IO}	—	5.0	250	nA
Input Bias Current (V _{CE} = 2.5 V)	I _{ig}	—	0.1	1.0	μA
Common-Mode Voltage Range (V _{CE} = 7.0 V to 40 V)	V _{ICR}	-0.3	—	V _{CC} - 2.0	V
Common-Mode Voltage Gain (V _{CE} = 3.0 V, V _O = 0.5 to 3.5 V, R _L = 2.0 kΩ)	A _{VOL}	70	35	—	dB
Common-Mode Crossover Frequency (V _{CE} = 0.5 to 25 V, R _L = 2.0 kΩ)	f _C	—	350	—	kHz
Phase Margin at Unity-Gain (V _{CE} = 0.5 to 25 V, R _L = 2.0 kΩ)	φ _m	—	35	—	deg.
Common-Mode Rejection Ratio (V _{CE} = 40 V)	CMRR	55	30	—	dB
Power Supply Rejection Ratio (V _{CE} = 35 V, V _O = 2.5 V, R _L = 2.0 kΩ)	PSRR	—	100	—	dB
Output Sink Current (V _{CE} = 27 V)	I _{O-}	0.3	0.7	—	mA
Output Source Current (V _{CE} = 40 V)	I _{O+}	-2.9	-4.0	—	mA

เอกสารนี้เป็นเอกสารที่สงวนไว้สำหรับการใช้เฉพาะเพื่อการศึกษาเท่านั้น ไม่อนุญาตให้นำไปใช้ประโยชน์ด้านการค้า
 MOTOROLA LINEAR INTERFACE DEVICES
 ไม่ว่ากรณีใดๆ ทั้งสิ้น อีกทั้งห้ามมิให้ดัดแปลงเนื้อหาและต้องอ้างอิงถึงเจ้าของเอกสารทุกครั้งที่มีการนำไปใช้

MAXIMUM RATINGS (Full operating ambient temperature range applies unless otherwise noted.)

Rating	Symbol	TL494M	TL494M/TL495I	TL494C, TL495C	Unit
Power Supply Voltage	V _{CC}	42	42	42	V
Collector Output Voltage	V _{C1} , V _{C2}	42	42	42	V
Collector Output Current (each transistor)	I _{C1} , I _{C2}	250	250	250	mA
Amplifier Input Voltage	V _{in}	V _{CC} + .23	V _{CC} - .03	V _{CC} - .03	V
Power Dissipation @ T _A ≤ 45°C	P _D	1000	1000	1000	mW
Operating Junction Temperature	T _J	150	150	150	°C
Operating Ambient Temperature Range	T _A	-55 to 125	-25 to 85	0 to 70	°C
Storage Temperature Range	T _{stg}	-55 to +150	-65 to +150	-65 to +150	°C

THERMAL CHARACTERISTICS

Characteristics	Symbol	J Suffix Ceramic Package	N Suffix Plastic Package	Unit
Thermal Resistance, Junction to Ambient	R _{θJA}	700	20	°C/W
Power Derating Factor	1/R _{θJA}	0.0	12.5	mW/°C
Derating Ambient Temperature	T _A	50	45	°C

RECOMMENDED OPERATING CONDITIONS

Condition/Value	Symbol	TL494/TL495			Unit
		Min	Typ	Max	
Power Supply Voltage	V _{CC}	7.0	15	40	V
Collector Output Voltage	V _{C1} , V _{C2}	—	30	40	V
Collector Output Current (each transistor)	I _{C1} , I _{C2}	—	—	200	mA
Amplifier Input Voltage	V _{in}	-0.3	—	V _{CC} - 2.0	V
Current Into Feedback Terminal	I _{f.b.}	—	—	0.3	mA
Reference Output Current	I _{ref}	—	—	10	mA
Timing Resistor	R _T	1.8	30	500	kΩ
Timing Capacitor	C _T	3.47	1.0	10,000	nF
Oscillator Frequency	f _{osc}	1.0	40	200	kHz

ELECTRICAL CHARACTERISTICS (V_{CC} = 15 V, f_{osc} = 10 kHz unless otherwise noted.)

For typical values T_A = 25°C, for min-max values T_A is the operating ambient temperature range that applies unless otherwise noted.

Characteristic	Symbol	TL494M			TL494C, TL495C			Unit
		Min	Typ	Max	Min	Typ	Max	
REFERENCE SECTION								
Reference Voltage (I _O = 1.0 mA)	V _{ref}	4.75	5.0	5.25	4.75	5.0	5.25	V
Reference Voltage Change with Temperature (ΔT _A = Min to Max)	ΔV _{ref} (ΔT)	—	0.2	2.0	—	1.3	2.5	%
Input Regulation (V _{CC} = 7.5 V to 40 V)	Reg _{line}	—	2.0	25	—	2.0	25	mV
Output Regulation (I _O = 1.0 mA to 10 mA)	Reg _{load}	—	3.0	15	—	3.0	15	mV
Short-Circuit Output Current (V _{ref} = 0 V, T _A = 25°C)	I _{SC}	10	25	50	—	35	—	mA

Description

The TL494/495 are fixed-frequency pulse width modulation control circuit, incorporating the primary building blocks required for the control of a switching power supply. (See Figure 1.) An internal-linear sawtooth oscillator is frequency-programmable by two external components, R_T and C_T . The oscillator frequency is determined by:

$$f_{osc} = \frac{1.1}{R_T \cdot C_T}$$

Output pulse width modulation is accomplished by comparison of the positive sawtooth waveform across capacitor C_T to either of two control signals. The NOR gates, which drive output transistors Q1 and Q2, are enabled only when the flip-flop clock-input line is in its low state. This happens only during that portion of time when the sawtooth voltage is greater than the control signals. Therefore, an increase in control-signal amplitude causes a corresponding linear decrease of output pulse width. (Refer to the timing diagram shown in Figure 2.)

The control signals are external inputs that can be fed to the dead-time control, the error amplifier inputs, the feedback input. The dead-time control comparator has an effective 120 mV input offset which limits the minimum output dead time to approximately the 4% of the sawtooth-cycle time. This would result in a maximum duty cycle on a given output of 96% with output control grounded, and 48% with it connected to the reference line. Additional dead time may be imposed on the output by setting the dead time-control input to a fixed voltage, ranging between 0 to 3.3 V. The pulse width modulator comparator provides a means for the error amplifiers to adjust the output pulse width from the maximum percent on-time, established by the dead time control input, down to zero, as the

voltage at the feedback pin varies from 0.5 to 3.5 V. Both error amplifiers have a common-mode input range from -0.3 V to $(V_{CC} - 2 V)$, and may be used to sense power-supply output voltage and current. The error-amplifier outputs are active high and are ORed together at the non-inverting input of the pulse-width modulator comparator. With this configuration, the amplifier that demands minimum output on time, dominates control of the loop.

When capacitor C_T is discharged, a positive pulse is generated on the output of the dead-time comparator, which clocks the pulse-steering flip-flop and inhibits the output transistors, Q1 and Q2. With the output-control connected to the reference line, the pulse-steering flip-flop directs the modulated pulses to each of the two output transistors alternately for push-pull operation. The output frequency is equal to half that of the oscillator. Output drive can also be taken from Q1 or Q2, when single-ended operation with a maximum on-time of less than 50% is required. This is desirable when the output transformer has a ringback winding with a catch diode used for snubbing. When higher output-drive currents are required for single-ended operation, Q1 and Q2 may be connected in parallel, and the output-mode pin must be tied to ground to disable the flip-flop. The output frequency will now be equal to that of the oscillator.

The TL494/495 has an internal 5.0 V reference capable of sourcing up to 10 mA of load current for external bias circuits. The reference has an accuracy of $\pm 5\%$ with a thermal drift of less than 50 mV over an operating temperature range of 0 to 70°C.

The TL495 contains an on-chip 39 volt zener diode for high voltage applications where V_{CC} is greater than 40 volts, and an output steering control that overrides the internal control of the pulse-steering flip-flop. (Refer to the functional table shown in Figure 3.)

FIGURE 3 — FUNCTIONAL TABLE

Inputs		Output Function	$\frac{f_{out}}{f_{osc}} =$
Output Control	Steering Control		
Grounded	Oopen	Single-ended P.W.M. at Q1 and Q2	1
At V_{ref}	Oopen	Push-pull operation	0.5
At V_{ref}	$V1 < 0.4 V$	Single-ended P.W.M. at Q1 only	1
At V_{ref}	$V1 > 2.4 V$	Single-ended P.W.M. at Q2 only	1

FIGURE 1 — BLOCK DIAGRAM

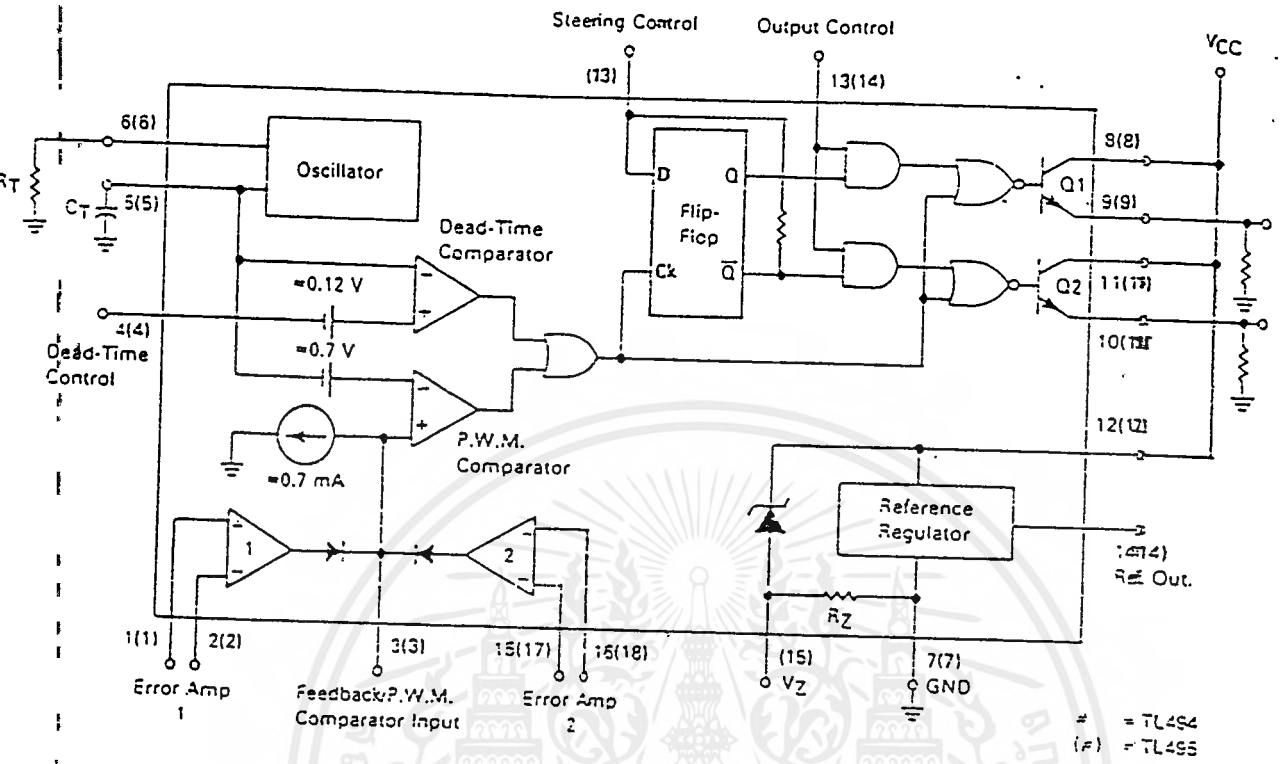


FIGURE 2 — TIMING DIAGRAM

